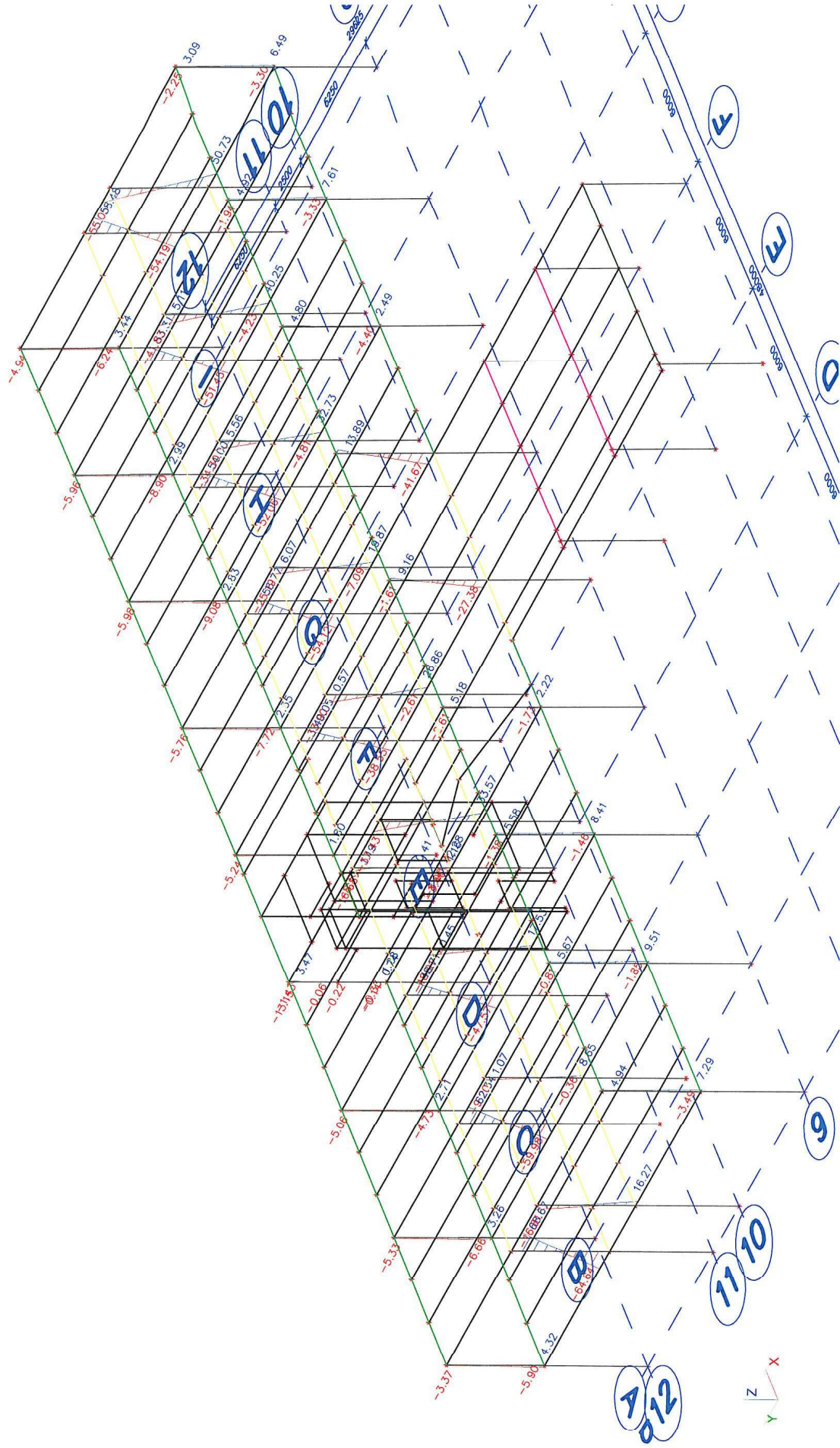
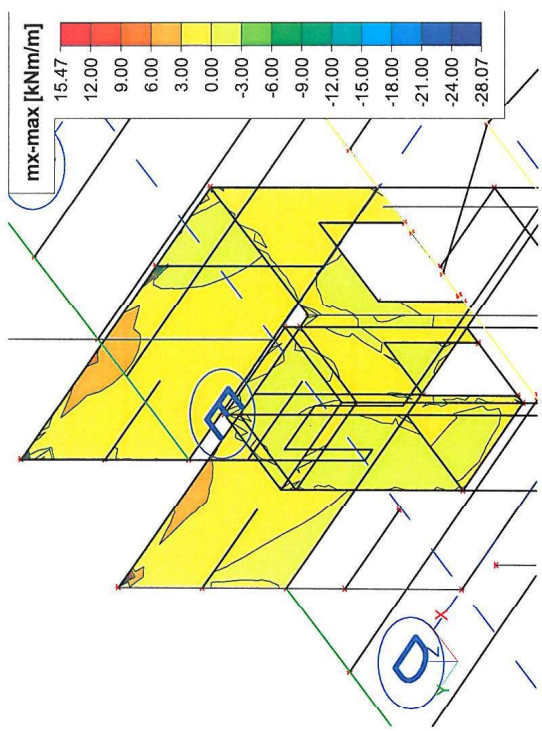


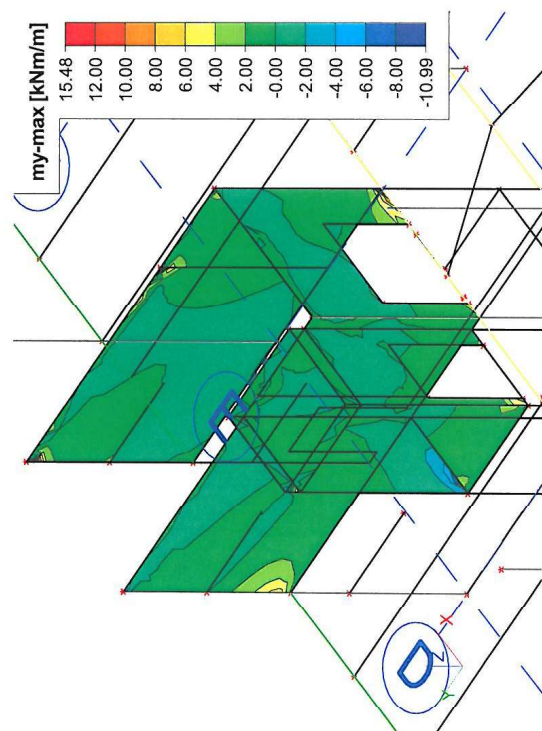
7.4.7.3. Vnitřní síly ve sloupech 2.NP - Mz



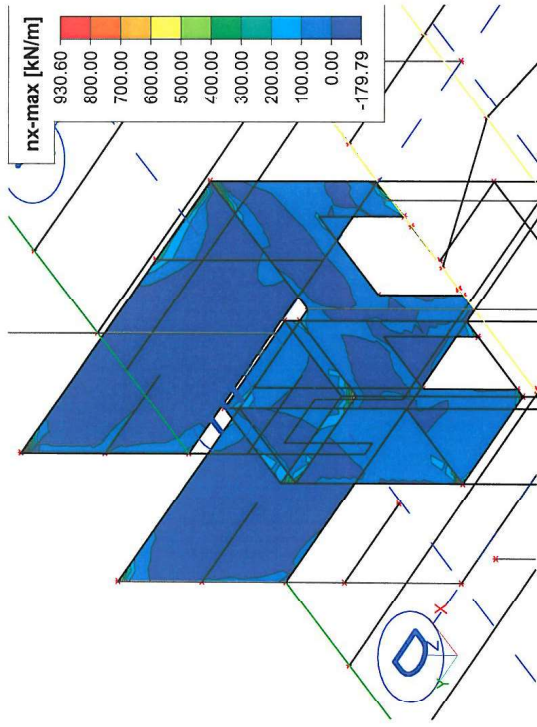
7.4.7.4. Vnitřní síly ve stěnách 2.NP -mx max



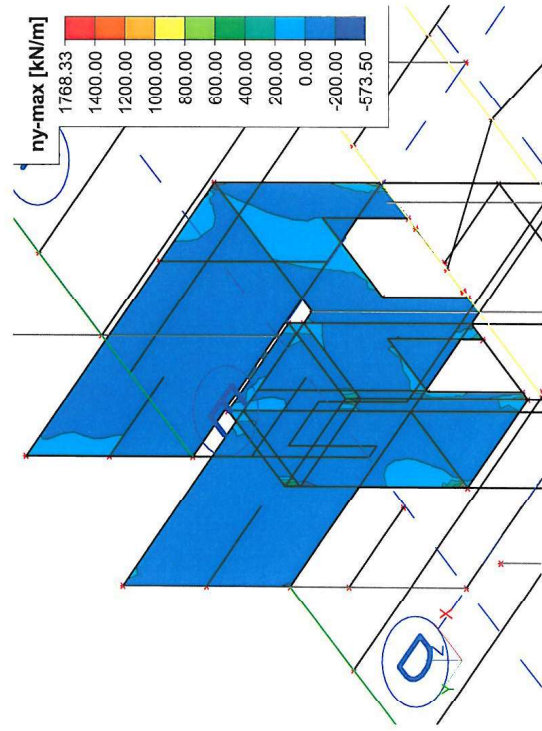
7.4.7.5. Vnitřní síly ve stěnách 2.NP -my max



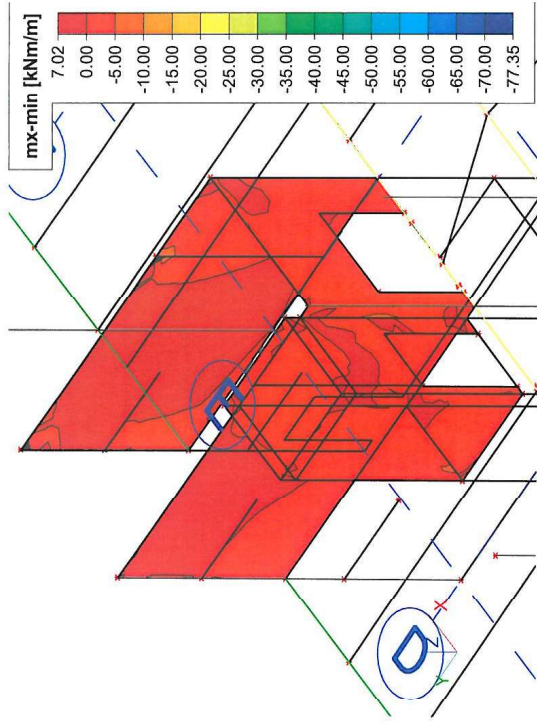
7.4.7.6. Vnitřní síly ve stěnách 2.NP -nx max



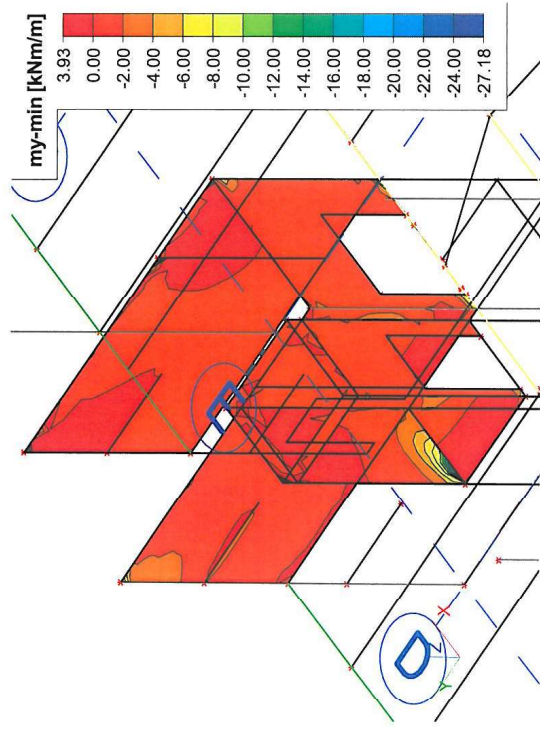
7.4.7.7. Vnitřní síly ve stěnách 2.NP -ny max



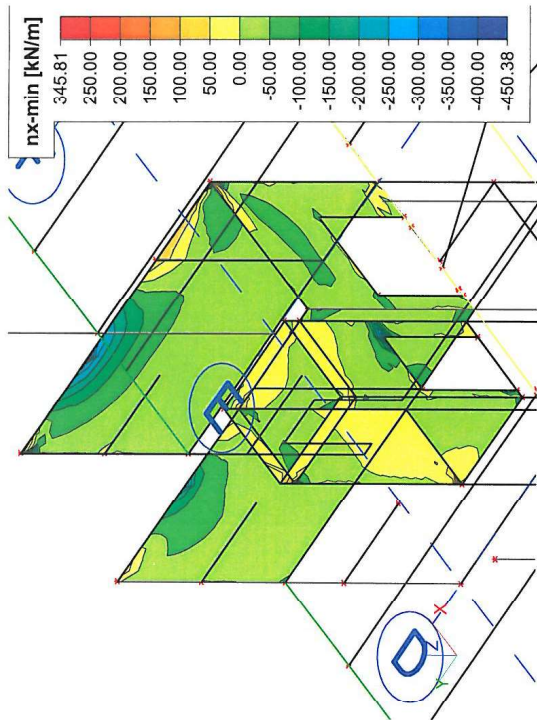
7.4.7.8. Vnitřní síly ve stěnách 2.NP -mx min



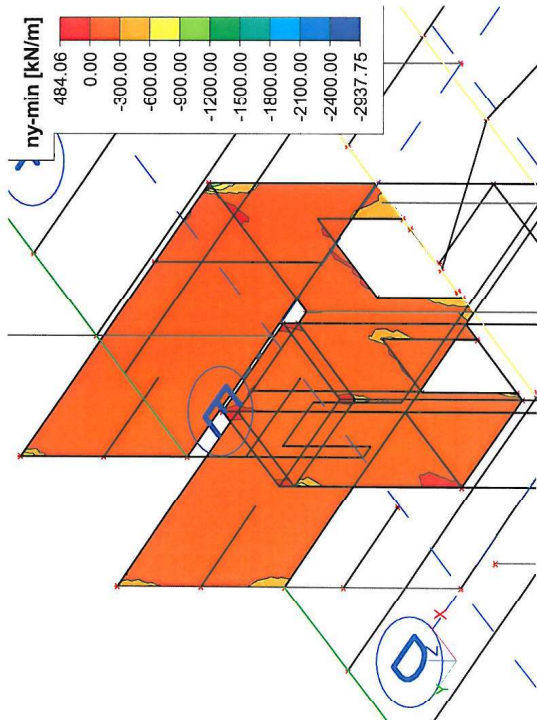
7.4.7.9. Vnitřní síly ve stěnách 2.NP -my min



7.4.7.10. Vnitřní síly ve stěnách 2.NP -nx min

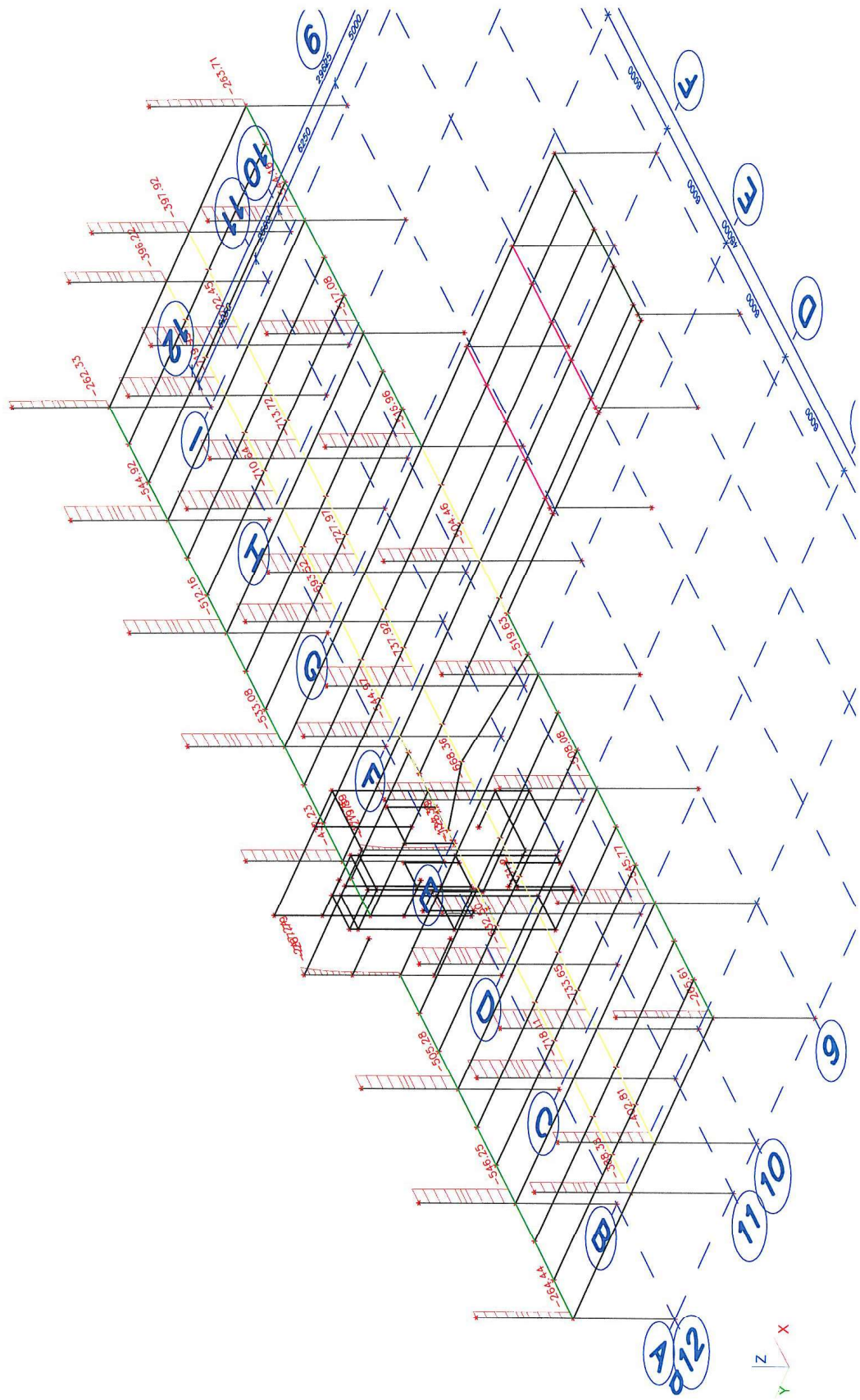


7.4.7.11. Vnitřní síly ve stěnách 2.NP -ny min

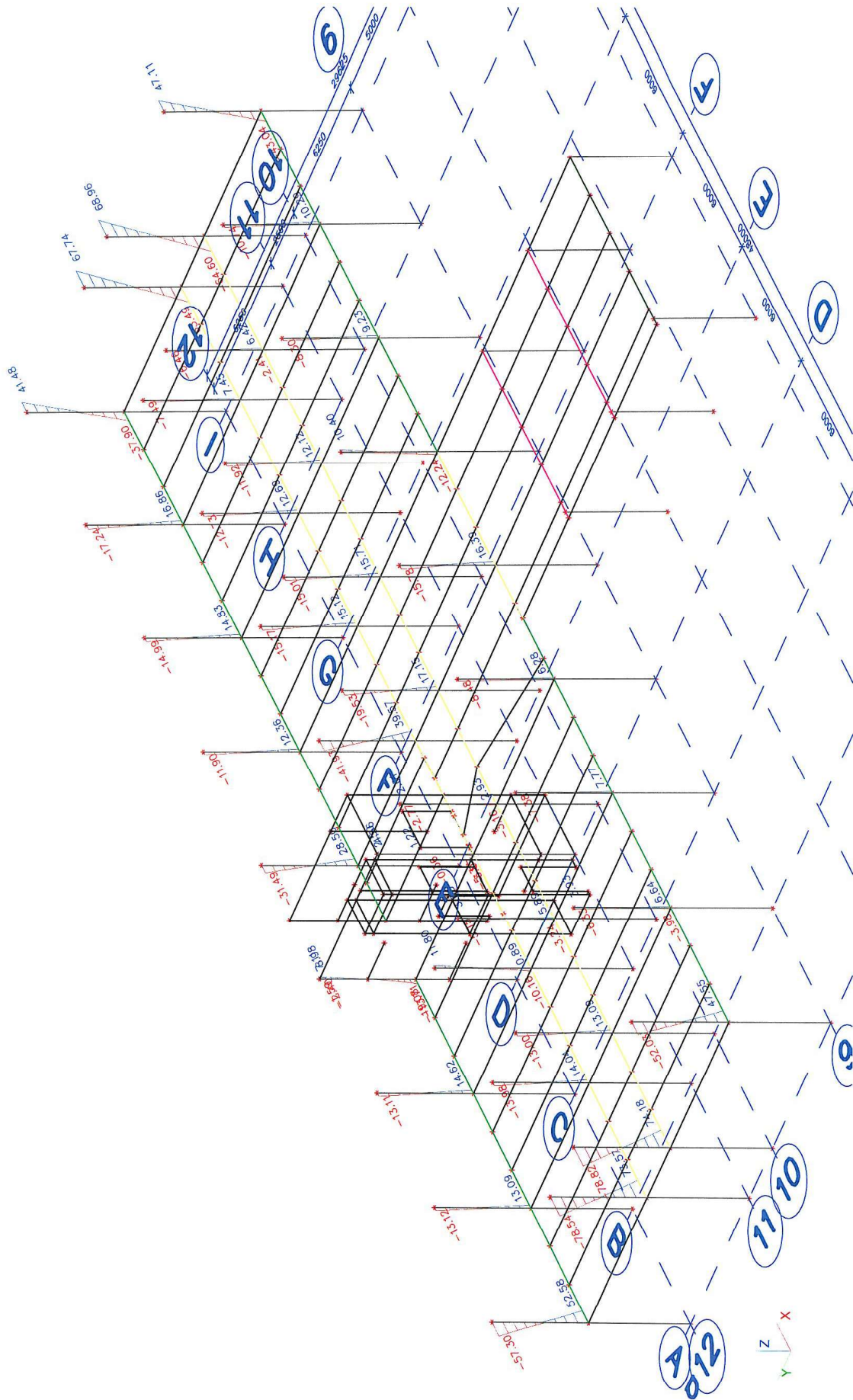


7.4.8. Sloupy a stěny ve 2.NP kombinace charakteristická

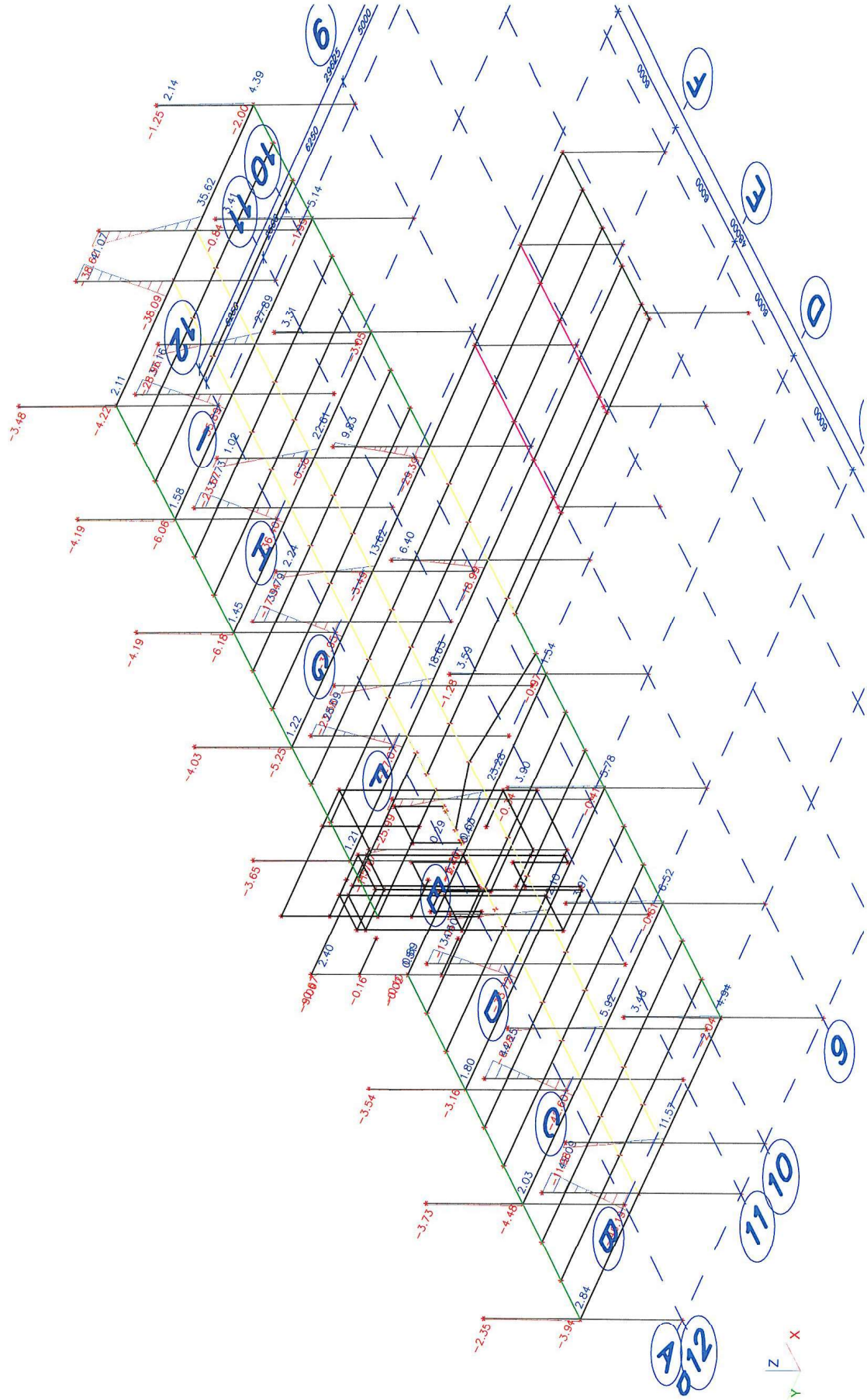
7.4.8.1. Vnitřní síly ve sloupech 2.NP - N char.



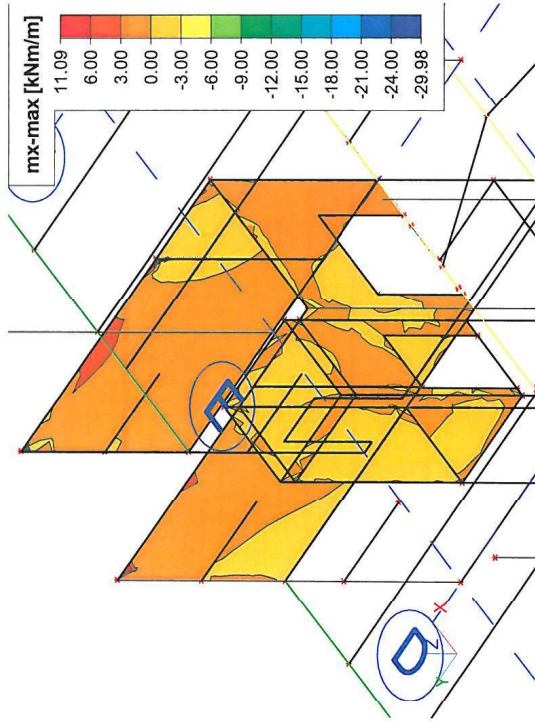
7.4.8.2. Vnitřní síly ve sloupech 2.NP - My char.



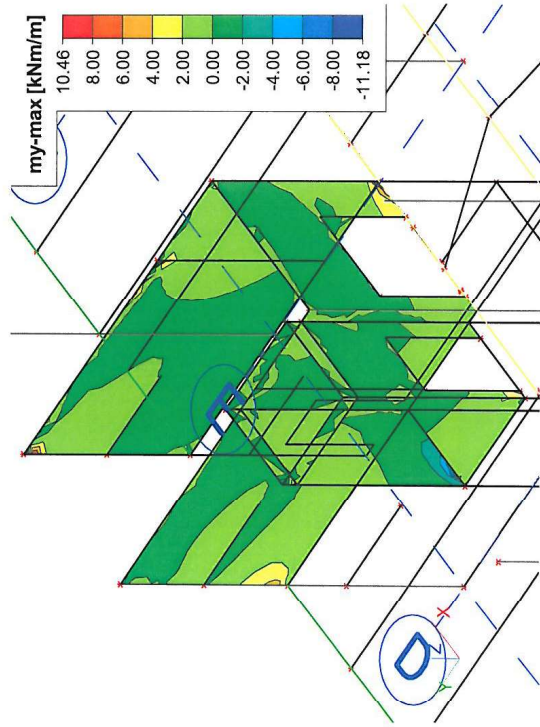
7.4.8.3. Vnitřní síly ve sloupech 2.NP - Mz char.



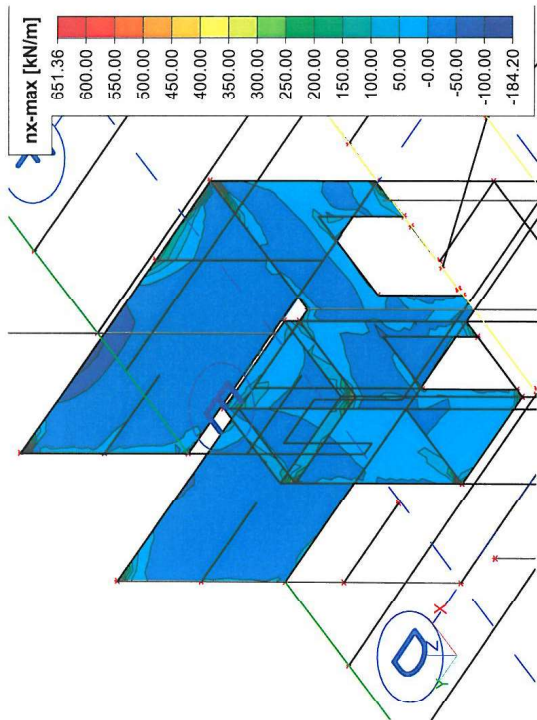
7.4.8.4. Vnitřní síly ve stěnách 2.NP -mx max char.



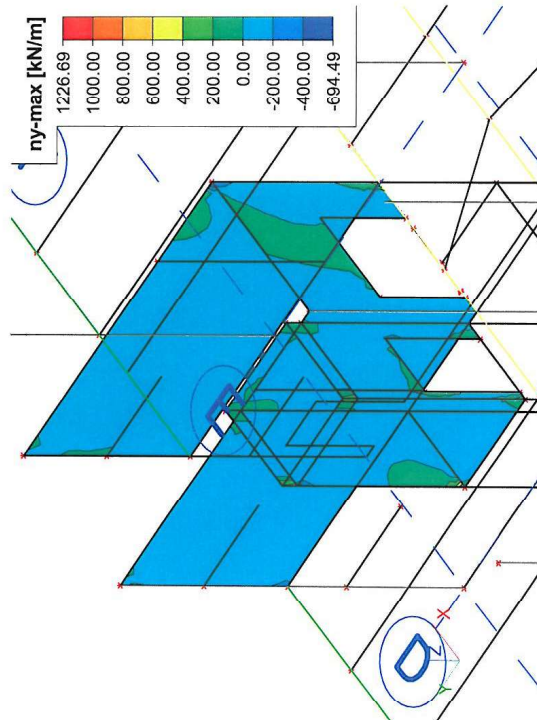
7.4.8.5. Vnitřní síly ve stěnách 2.NP -my max char.



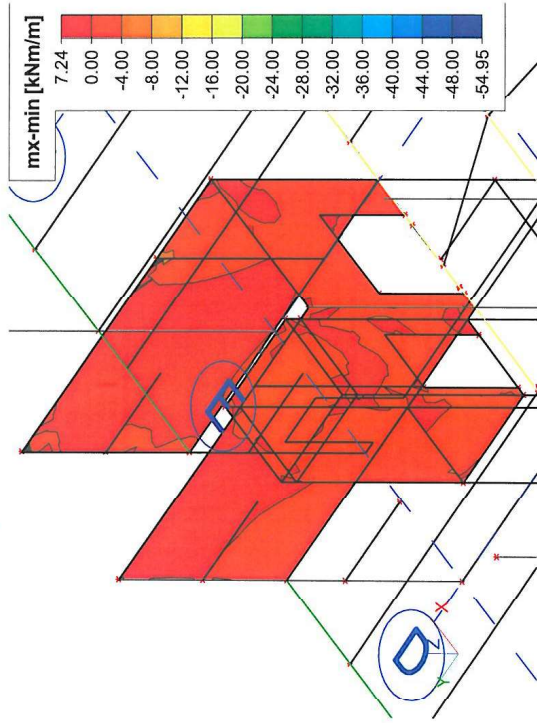
7.4.8.6. Vnitřní síly ve stěnách 2.NP -nx max char.



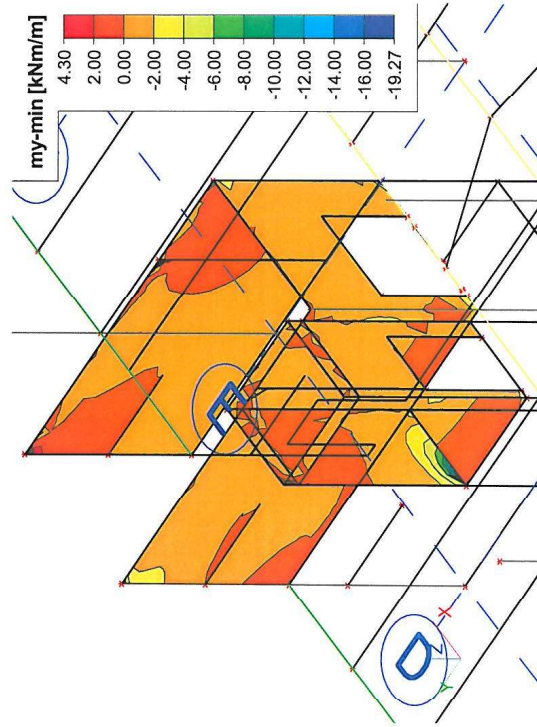
7.4.8.7. Vnitřní síly ve stěnách 2.NP -ny max char.



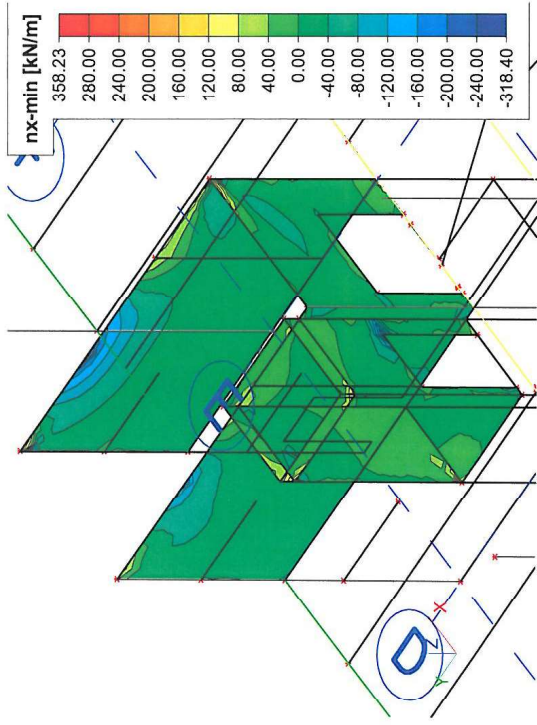
7.4.8.8. Vnitřní síly ve stěnách 2.NP -mx min char.



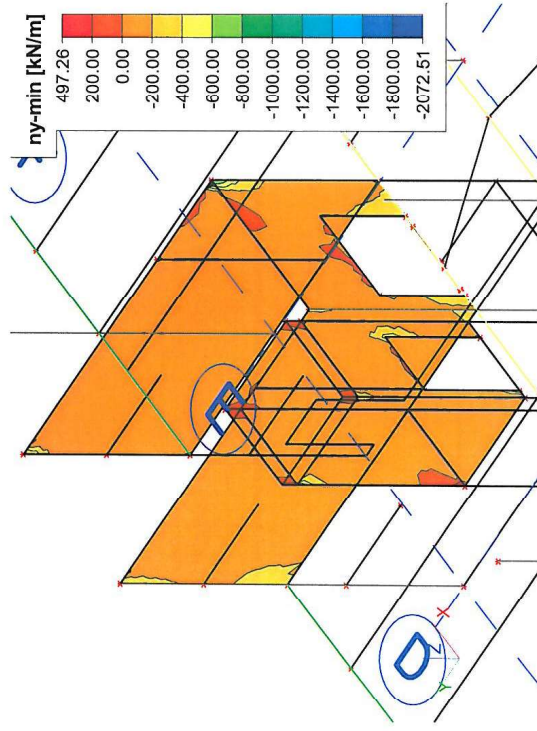
7.4.8.9. Vnitřní síly ve stěnách 2.NP -my min char.



7.4.8.10. Vnitřní síly ve stěnách 2.NP -nx min char.

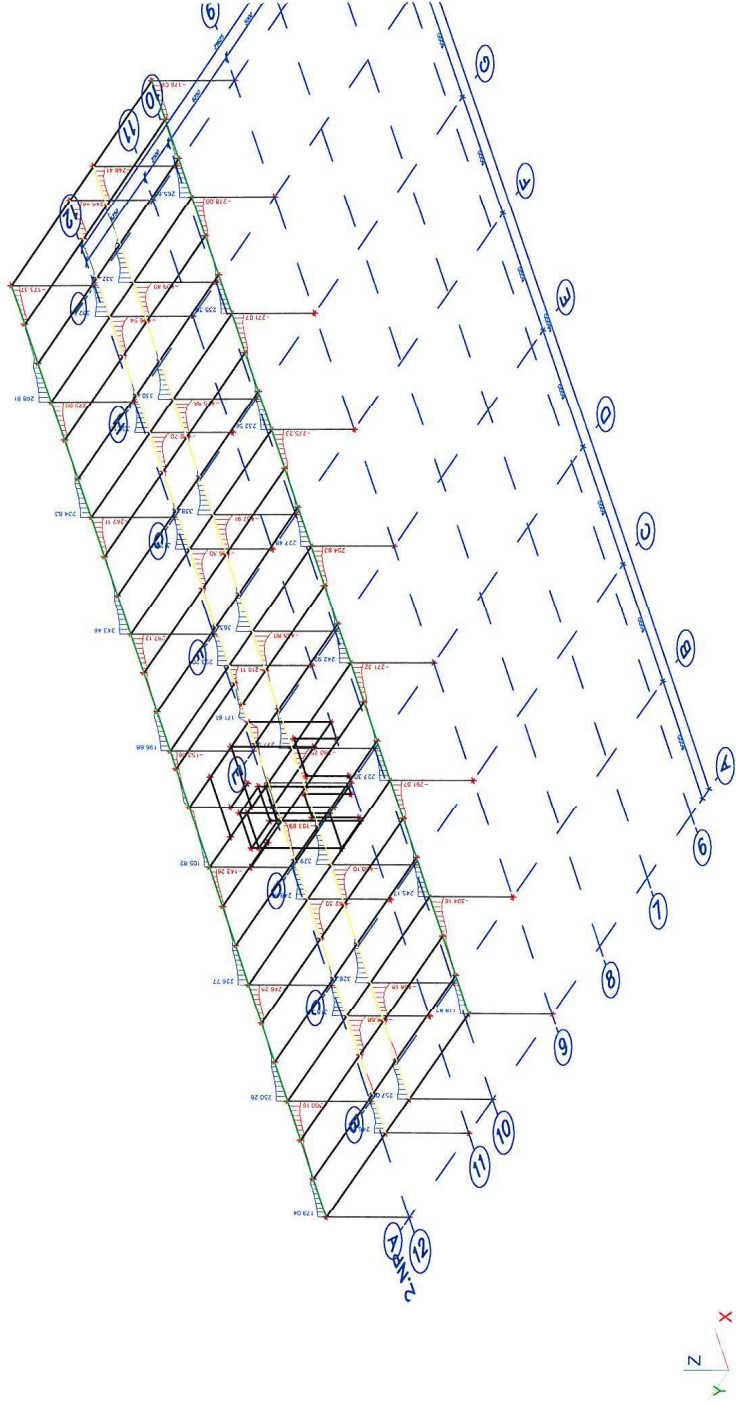


7.4.8.11. Vnitřní síly ve stěnách 2.NP -ny min char.

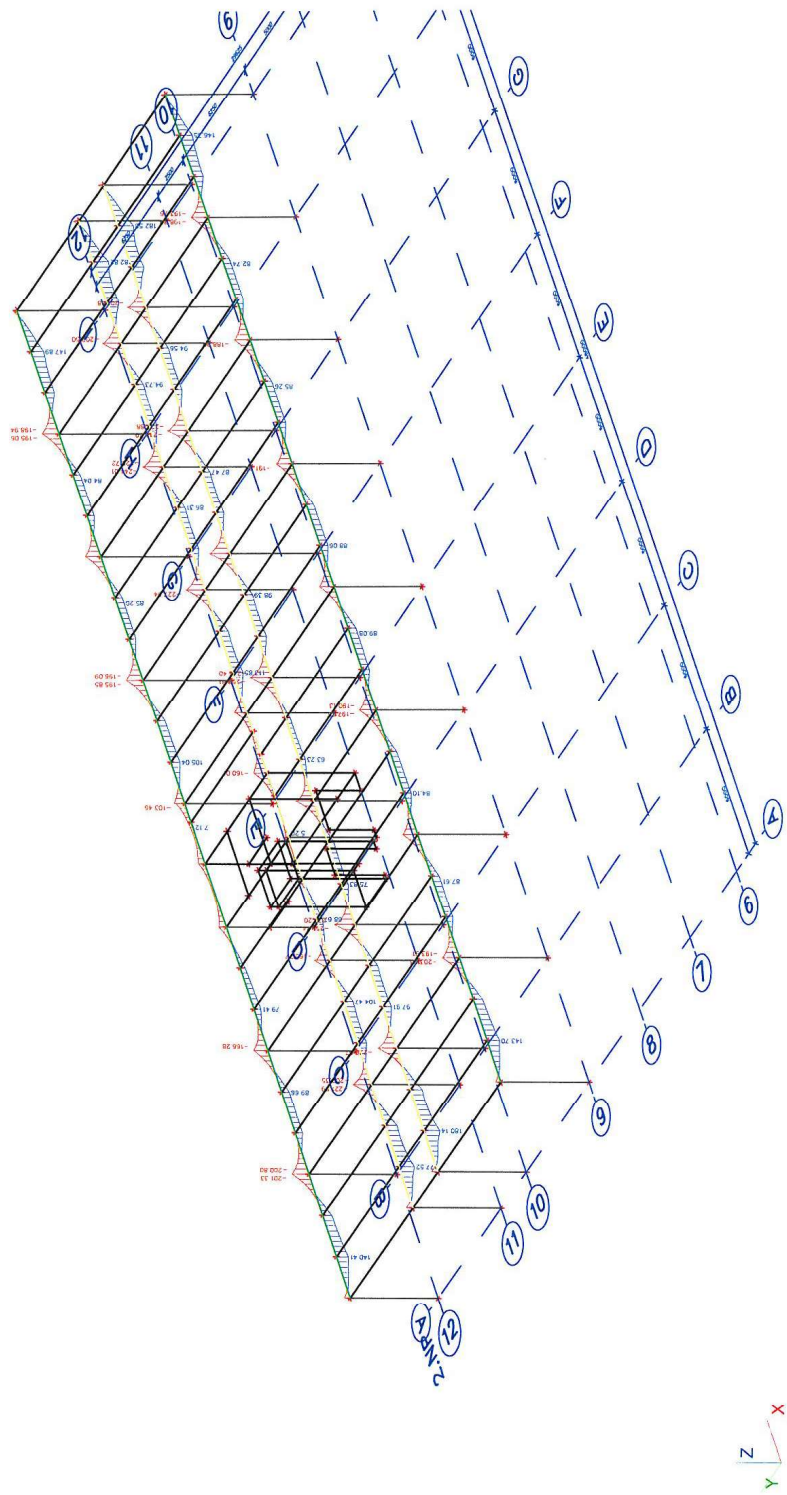


7.4.9. Průvlaky a deska stropu nad 2.NP kombinace 6.10 (STR/GEO)

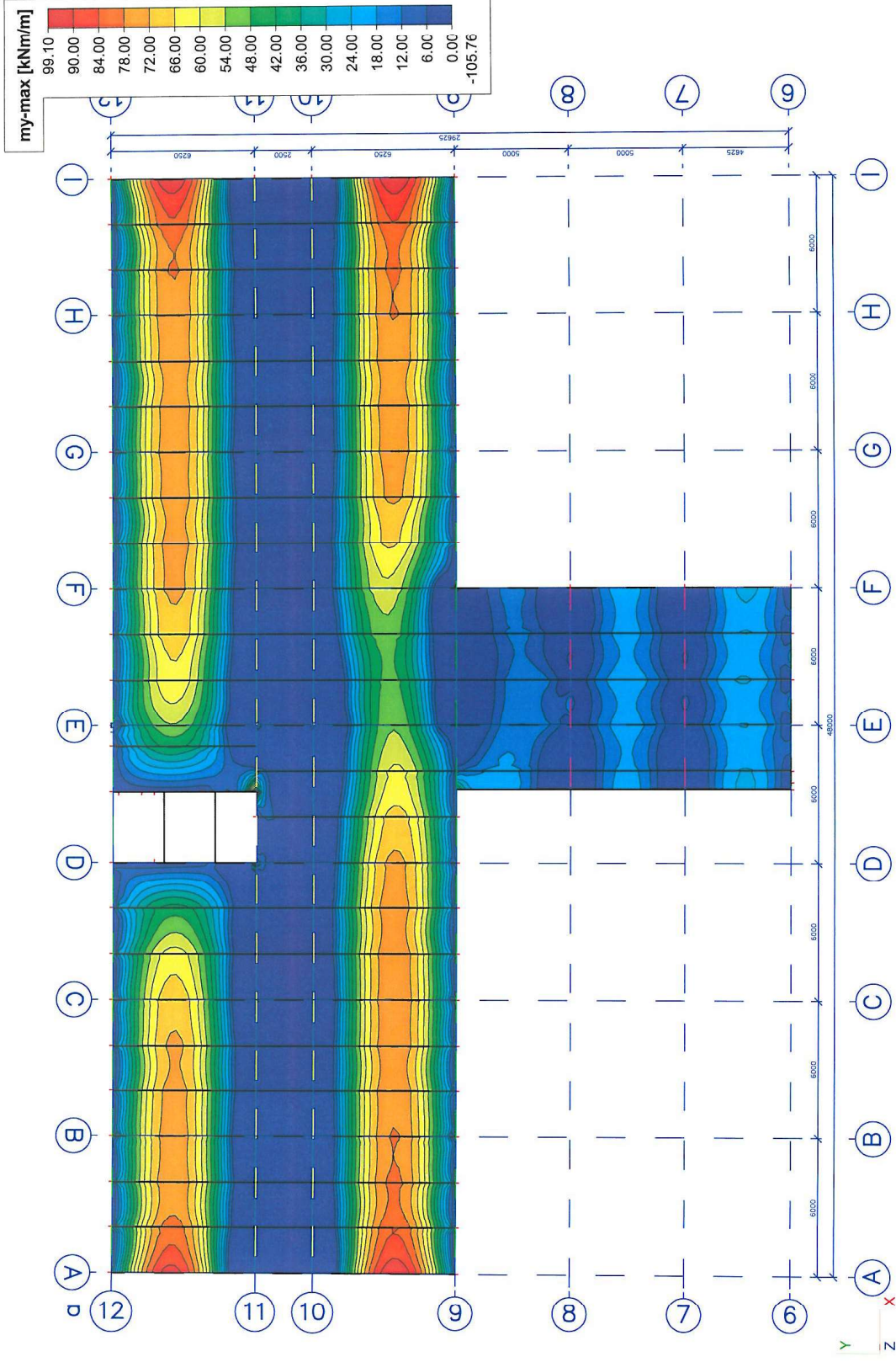
7.4.9.1. Vnitřní síly v průvlacích stropu nad 2.NP - Vz



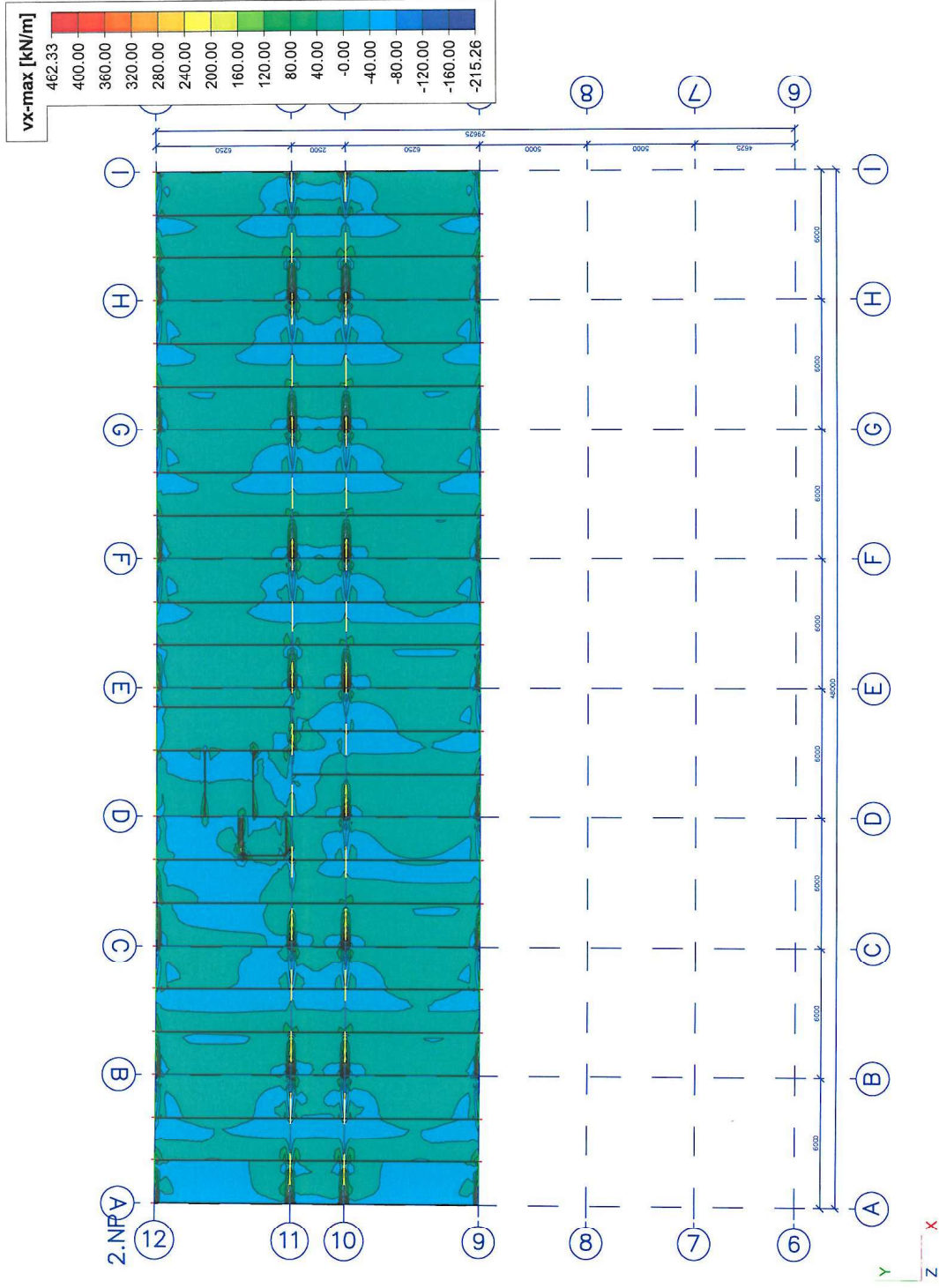
7.4.9.2. Vnitřní síly v průvliacích stropu nad 2.NP - My



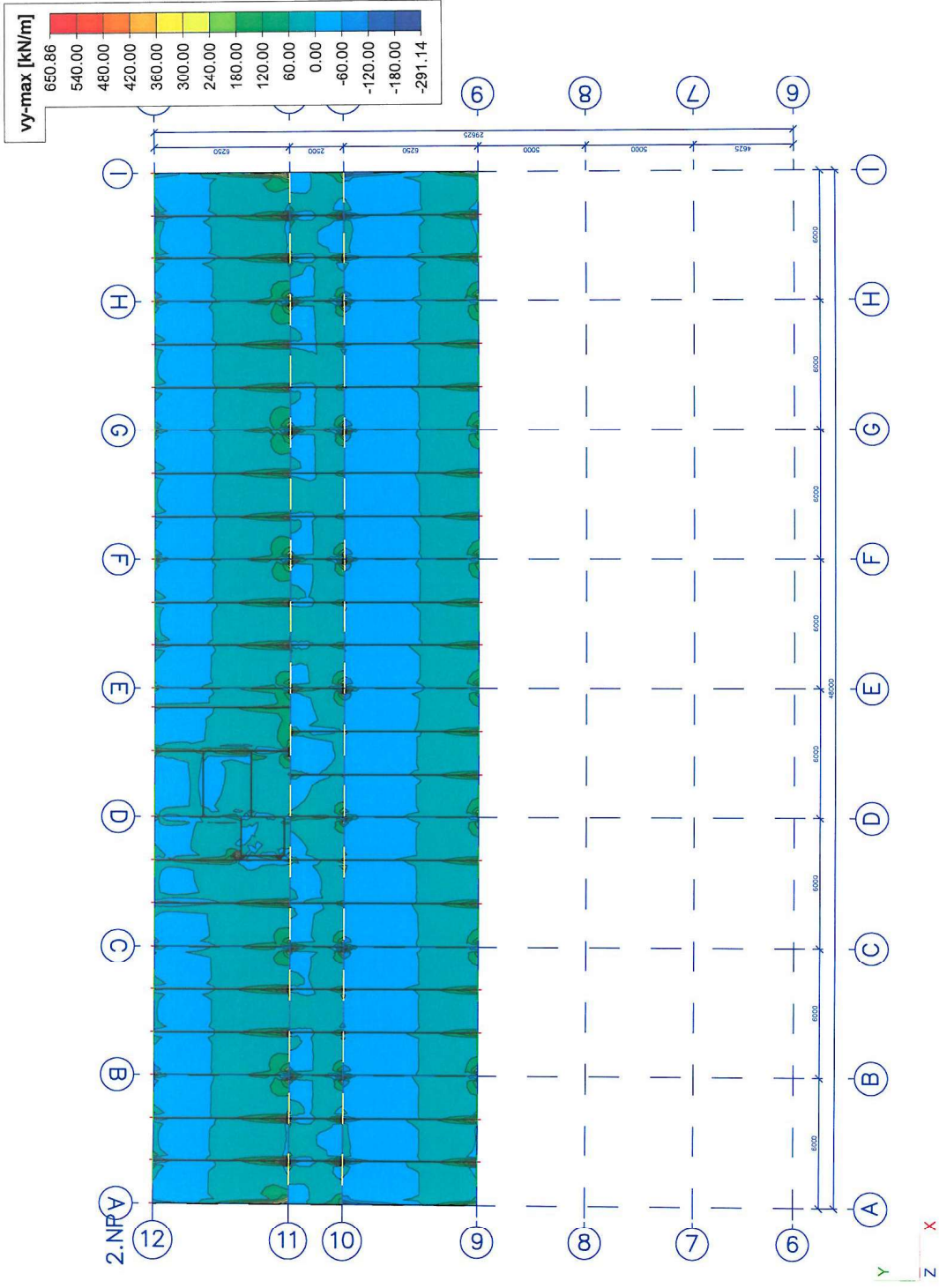
7.4.9.4. Vnitřní síly ve stropní desce nad 2.NP - my max



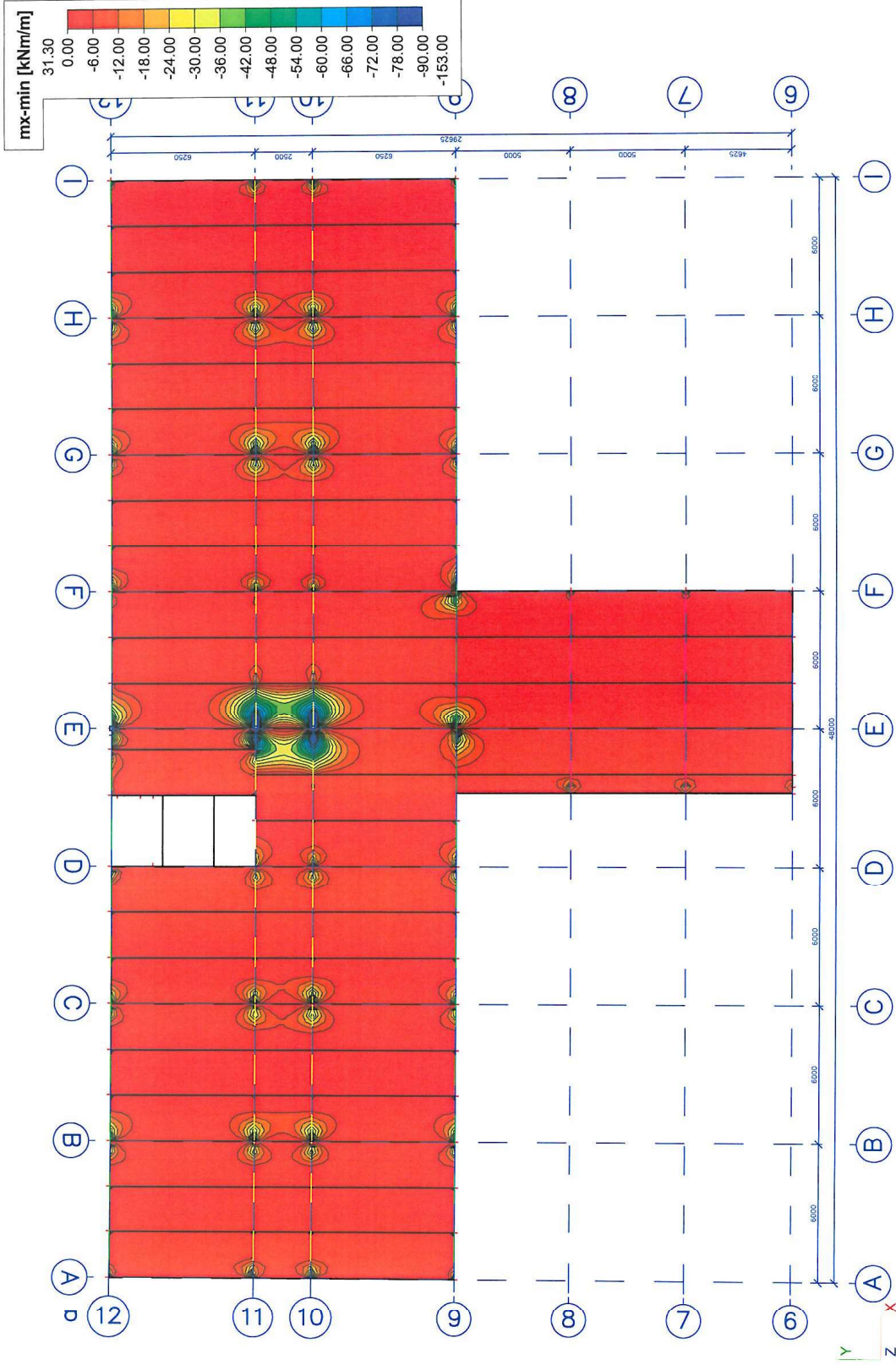
7.4.9.5. Vnitřní síly ve stropní desce nad 2.NP - vx max



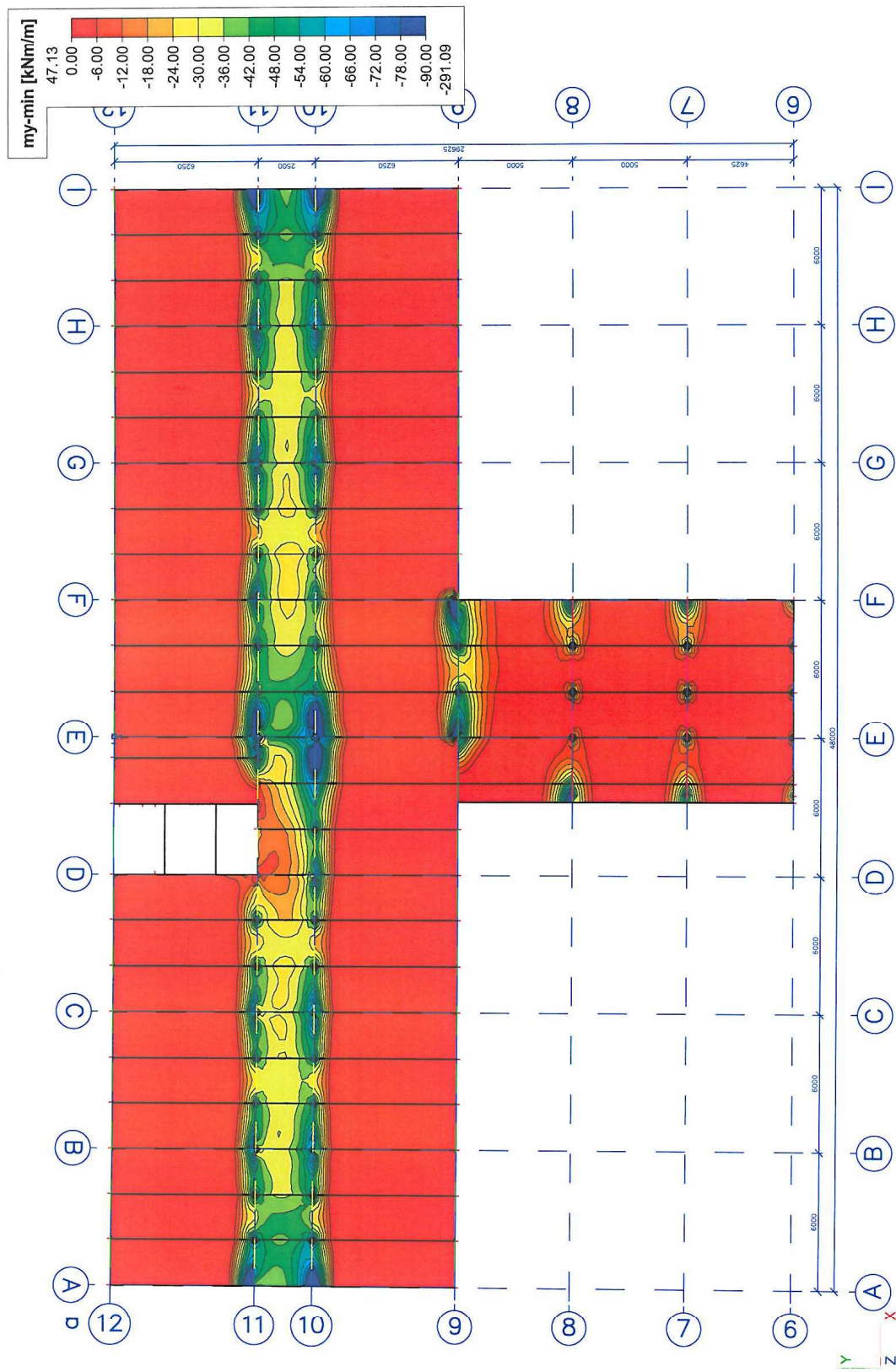
7.4.9.6. Vnitřní síly ve stropní desce nad 2.NP - vy max



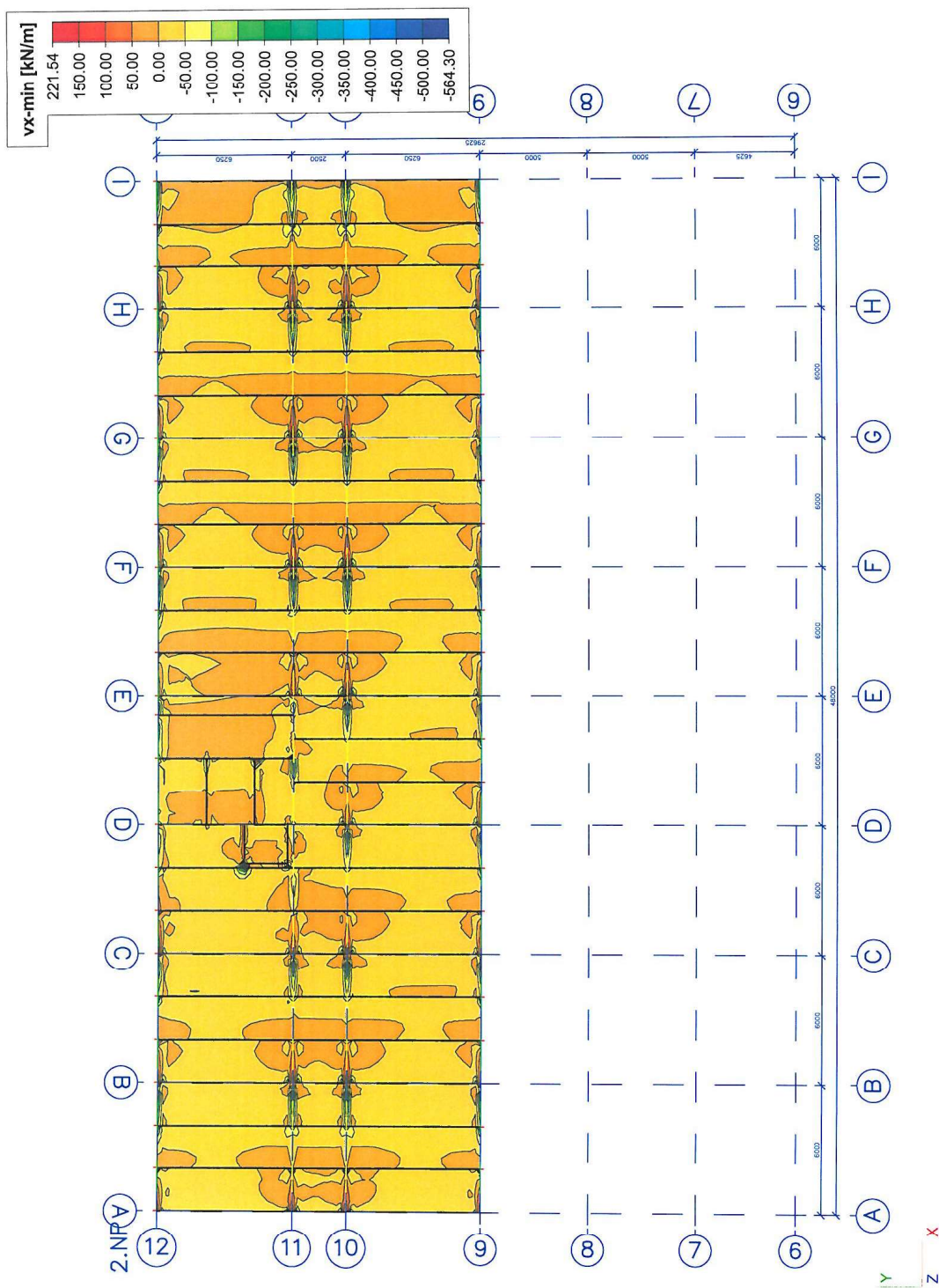
7.4.9.7. Vnitřní síly ve stropní desce nad 2.NP - mx min



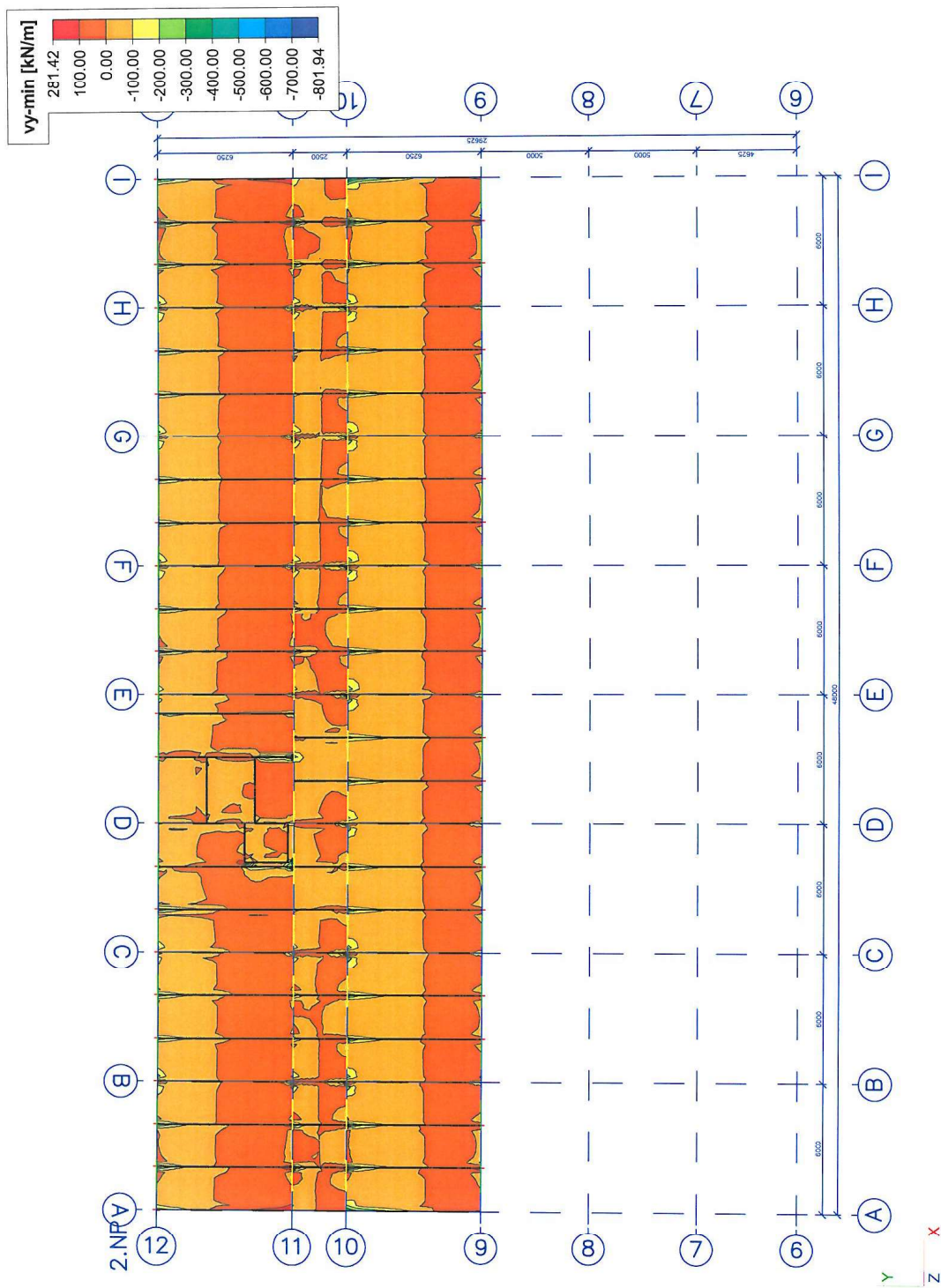
7.4.9.8. Vnitřní síly ve stropní desce nad 2.NP - my min



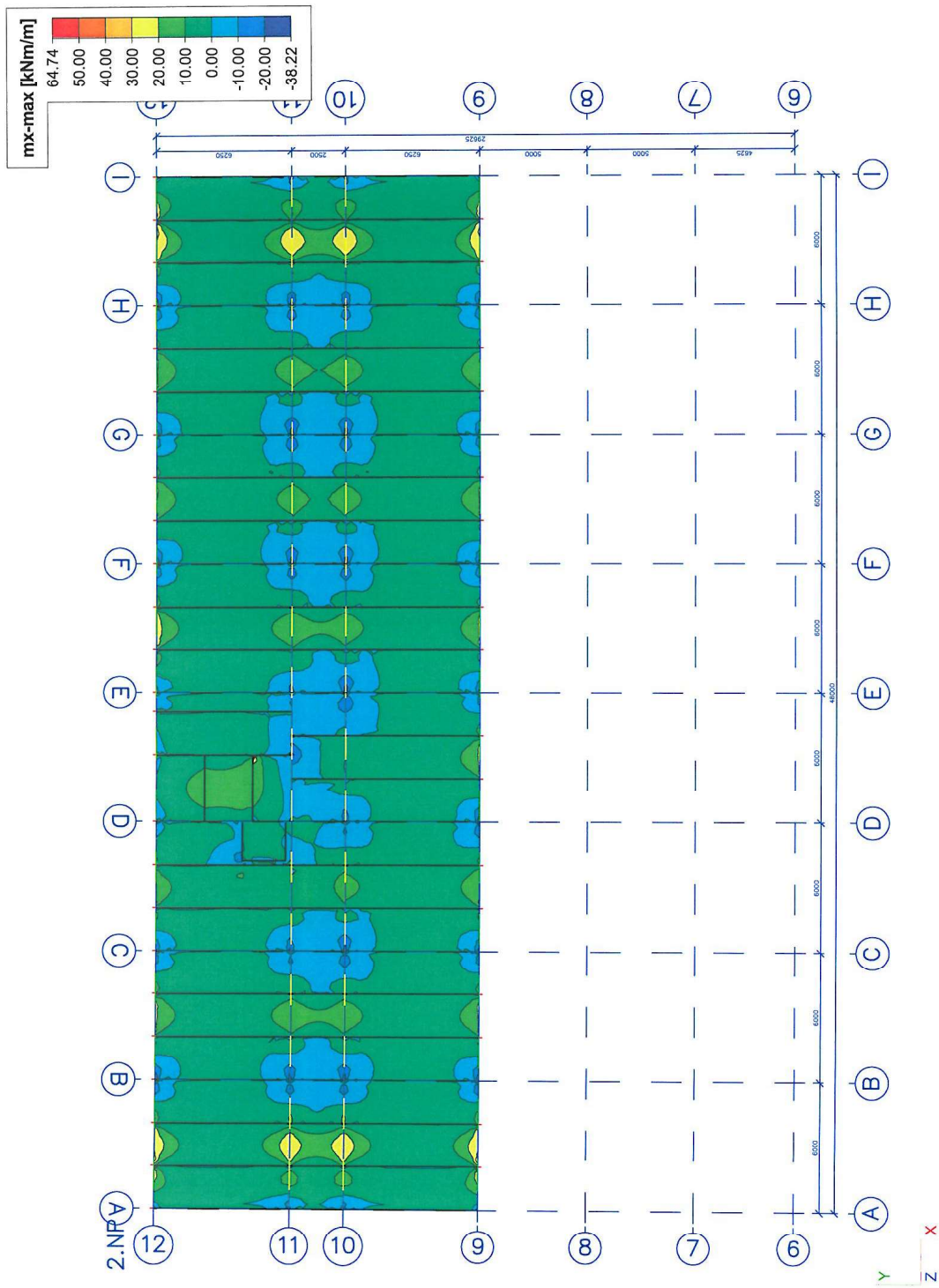
7.4.9. Vnitřní síly ve stropní desce nad 2.NP - vx min



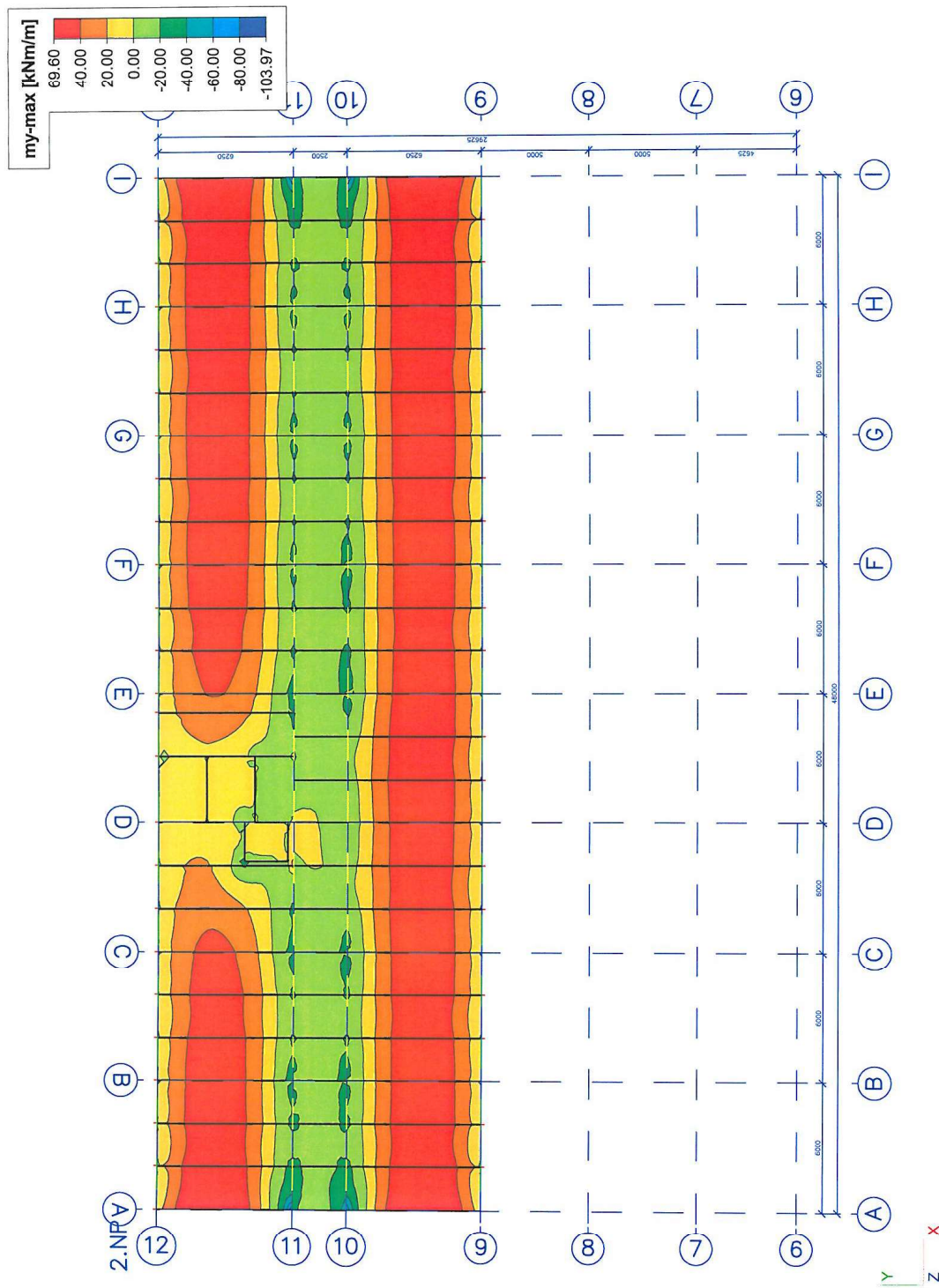
7.4.9.10. Vnitřní síly ve stropní desce nad 2.NP - vy min



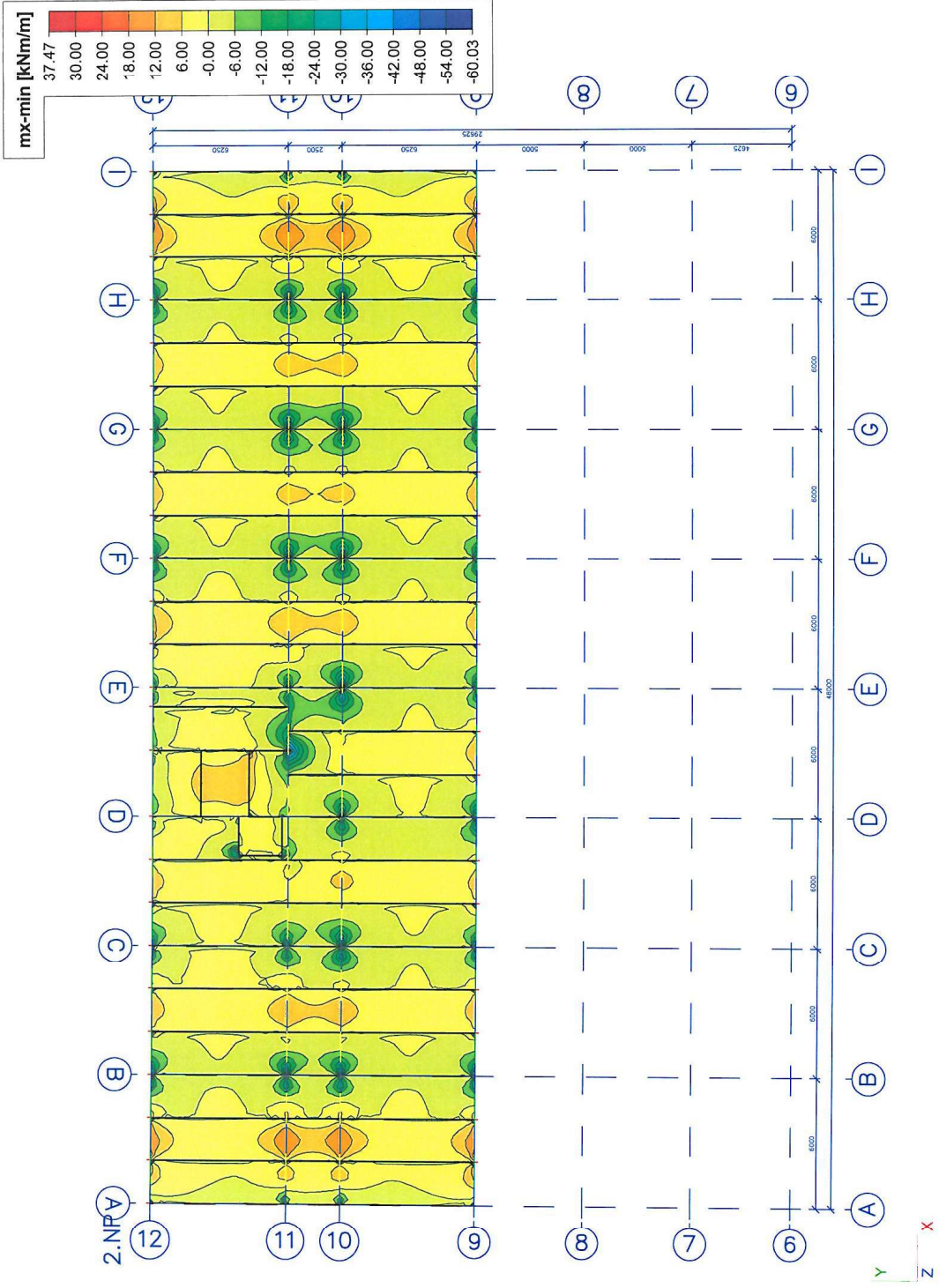
7.4.10.2. Vnitřní síly ve stropní desce nad 2.NP - mx max char.



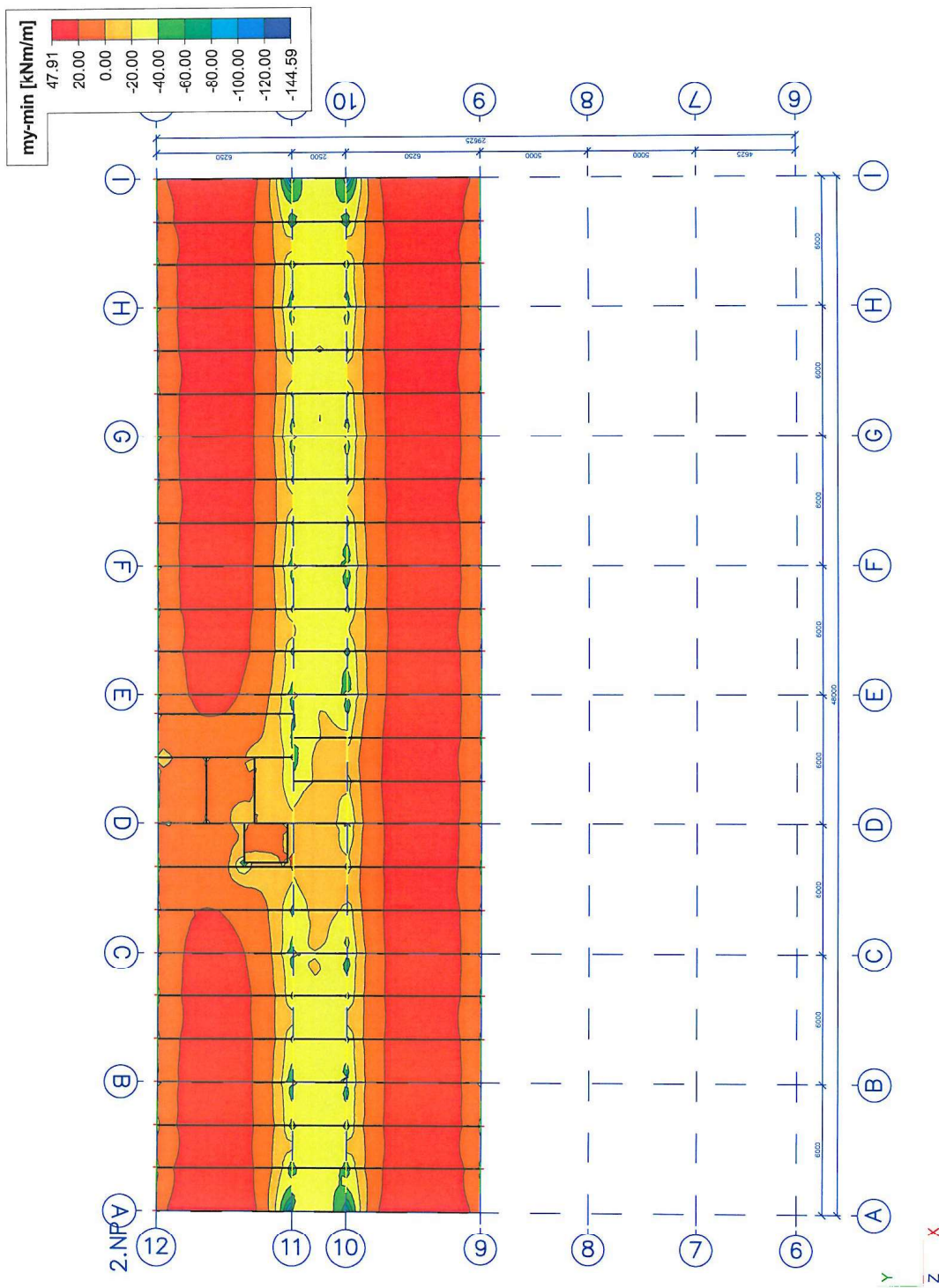
7.4.10.3. Vnitřní síly ve stropní desce nad 2.NP - my max char.



7.4.10.4. Vnitřní síly ve stropní desce nad 2.NP - mx min char.

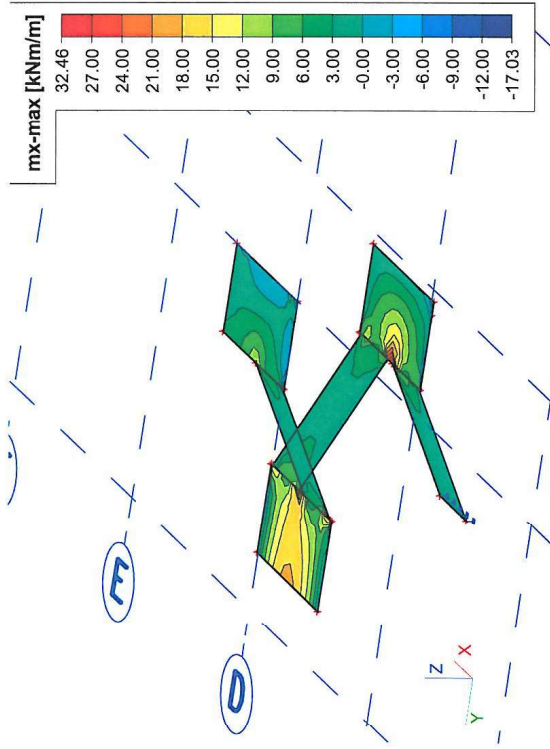


7.4.10.5. Vnitřní síly ve stropní desce nad 2.NP - my min char.

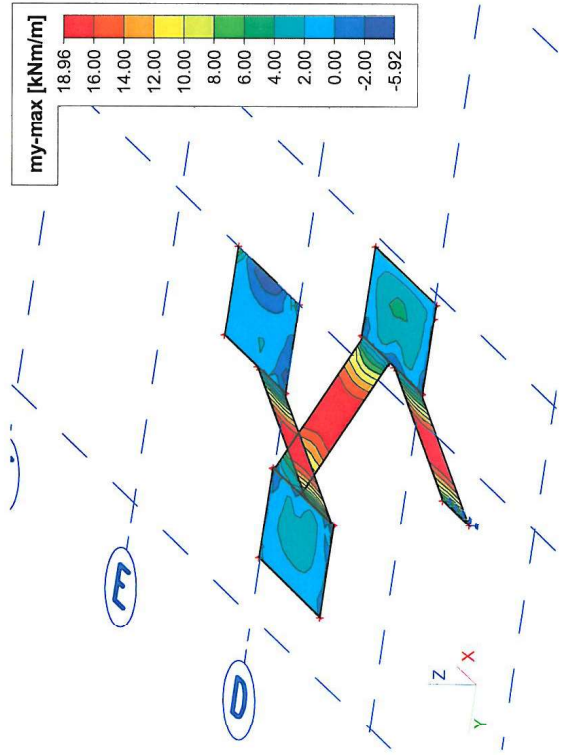


7.4.11. Schodiště kombinace 6.10 (STR/GEO)

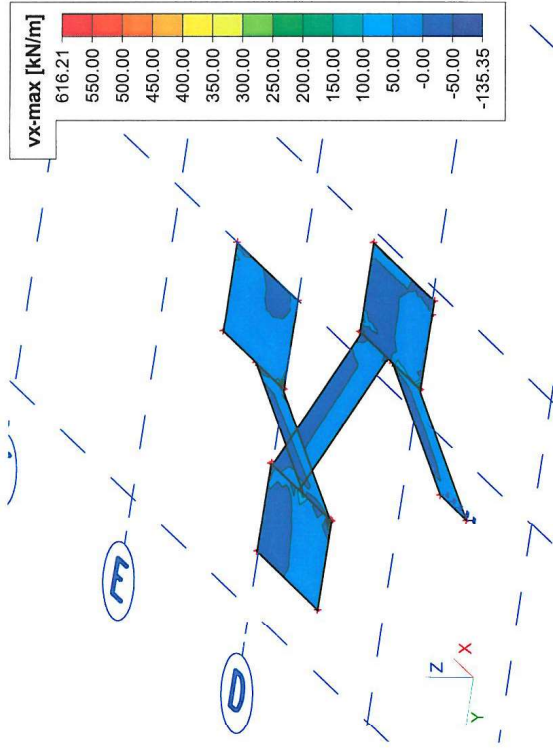
7.4.11.1. Schodiště mx max



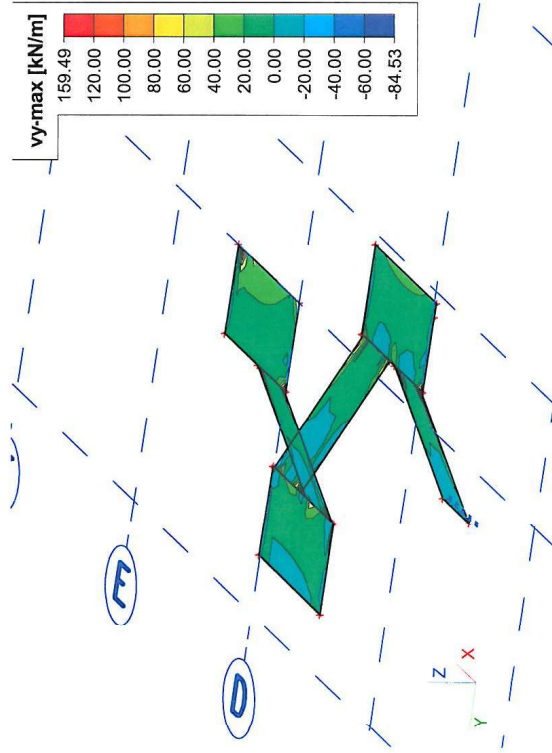
7.4.11.2. Schodiště my max



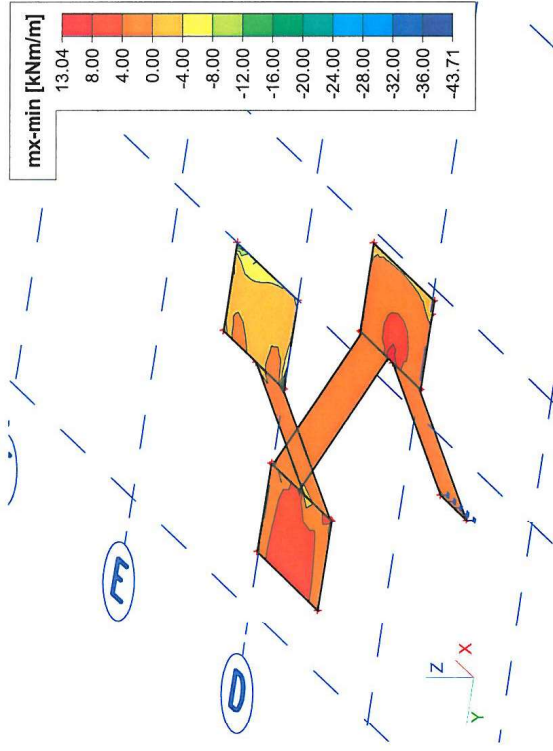
7.4.11.3. Schodiště vx max



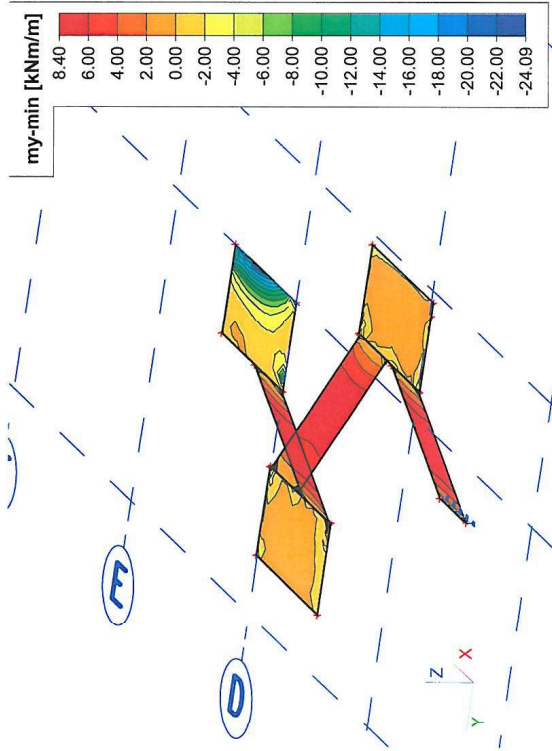
7.4.11.4. Schodiště vy max



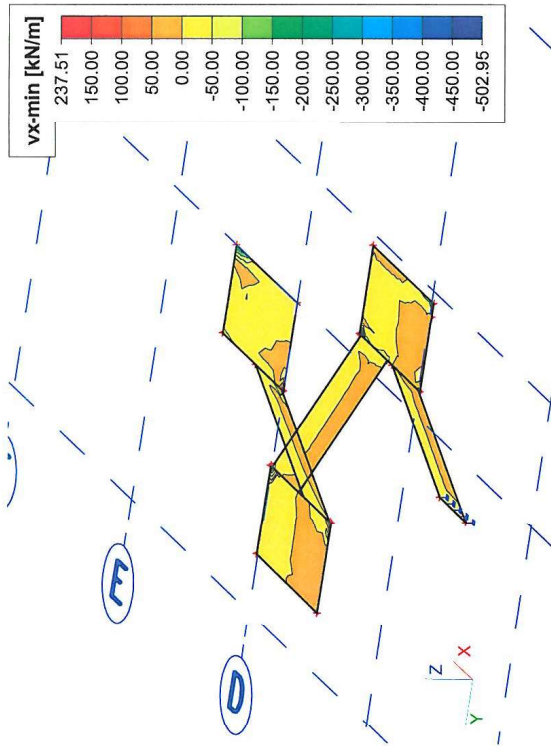
7.4.11.5. Schodiště mx min



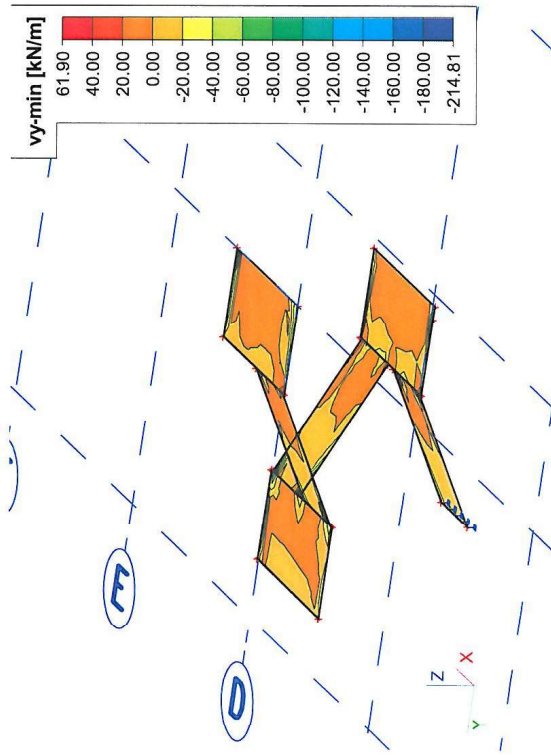
7.4.11.6. Schodiště my min



7.4.11.7. Schodiště vx min

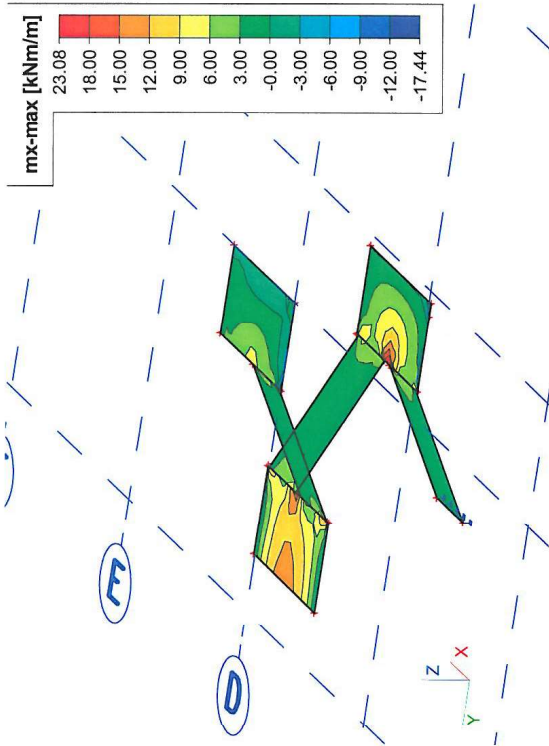


7.4.11.8. Schodiště vy min

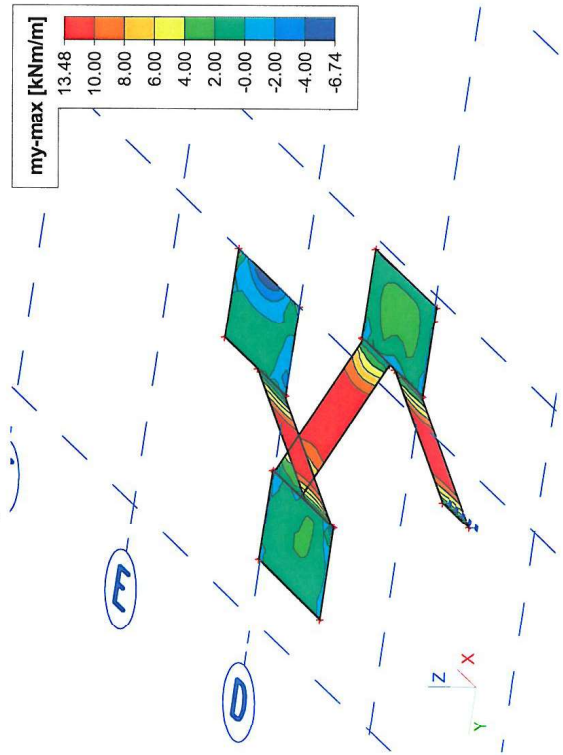


7.4.12. Schodiště kombinace charakteristická

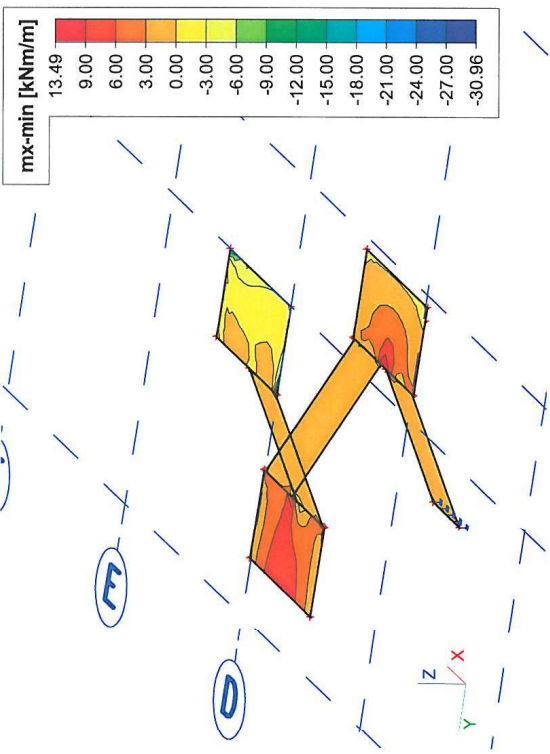
7.4.12.1. Schodiště mx max char.



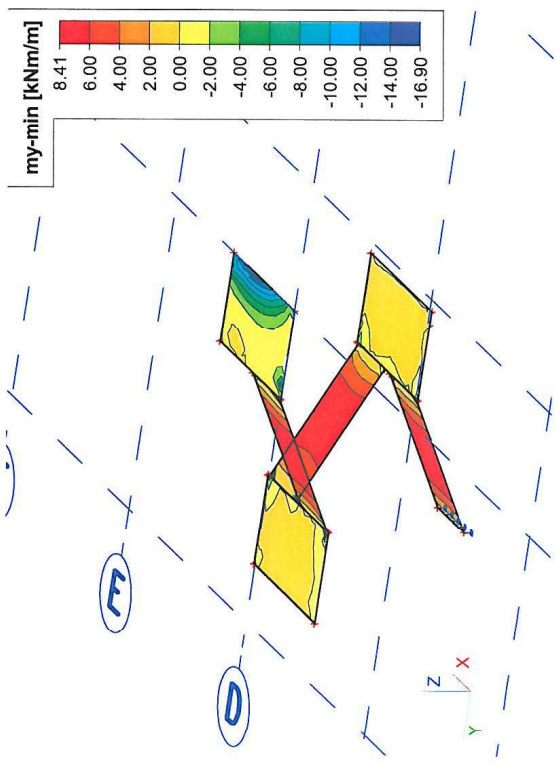
7.4.12.2. Schodiště my max char.



7.4.12.3. Schodiště mx min char.



7.4.12.4. Schodiště my min char.



Projekt
Část
Popis
Autor

Technologický park Kar. kraje
Objekt II
Nosná konstrukce objektu laboratoří
Ing. Martin Šafařík

8. Posouzení konstrukcí

Akce: K. Vary; Vědeckotechnický park
 Zpracoval: Ing. M. Šafařík
 Datum: 8.10.2012
 Objekt: Objekt II. a III.
 Prvek: Základový pas
 Druh zeminy: Jíl plastický tuhý až pevný

VÝPOČET ÚNOSNOSTI ZÁKLADOVÉ PŮDY
 pod obdélníkovým plošným základem
 podle ČSN 731001

Vstupní údaje:

	úroveň přízemí (±0) =	386,00	[m n.n.]
	úroveň základové spáry relativní	-1,60	[m]
	úroveň základové spáry absolutní	384,40	[m n.n.]
Vd	výslednice sil (v těžišti základu)	6592	[kN]
Mdx	moment ve směru šířky základu	0	[kNm]
Mdy	moment ve směru délky základu	0	[kNm]
b	šířka základu (menší rozměr)	1,80	[m]
l	délka základu	17,00	[m]
d	hloubka založení	1,20	[m]
fi	úhel vnitřního tření zeminy	0	[°]
c	normová soudržnost zeminy	77	[kPa]
gama 1	objem. tíha zeminy nad základ. sparou	19,00	[kN/m ²]
gama 2	objem. tíha zeminy pod základ. sparou	21,00	[kN/m ²]
delta	úhel odklonu sil od vvislice	0	[°]

Výpočet:

Rd	výpočtová únosnost základové půdy	241	[kPa]
ex	exc. výslednice ve směru šířky základu	0,00	[m]
ey	exc. výslednice ve směru délky základu	0,00	[m]
sigma d	namáhání základové půdy	215	[kPa]

Posouzení:

	namáhání základové půdy	1
	excentricita ve směru šířky základu	1
	excentricita ve směru délky základu	1
max Vd	možné zatížení při dané excentricitě	7388

Prvek: Základový pasoslabený dojezdem výtahu

Posouzení obdélníku

Rozpětí stropní kce L = 2 m

Vstupní údaje

Stupeň vlivu prostředí

XC4

Návrhová životnost

80 let

Požární odolnost

REI

Materiály:

Zadání vnitřních sil

$m_{Ed} = 831$ kNm

$m_{Ed,q} = 439,00$ $m_{Ed,ch} = 590,00$ kNm

$V_{Ed} = 578$ kN

Zadání geometrie

h = 600 mm

b = 900 mm

Třída betonu :	C30/37	Výztuž :	10 505 R
$f_{ck} = 30$ Mpa		$f_{yk} = 500$ Mpa	
$\alpha_{cc} = 1$	v ČR se uvažuje hodnotou 1	$\gamma_s = 1,15$	součinitel spolehlivosti materiálu
$\gamma_c = 1,50$	součinitel spolehlivosti materiálu	$E_s = 200,00$ Gpa	
$f_{ctm} = 2,9$ Mpa		$f_{yd} = 434,78$ Mpa	
$E_{cm} = 32,8$ Gpa		$\epsilon_{yd} = 2,17$ [‰]	
$\epsilon_{cu3} = 3,5$ [‰]			

Rovnoměrné rozdělení napětí betonu v tlaku
po výšce λx
 $\eta = 1$
 $\lambda = 0,8$
 $\xi_{bal,1} = \frac{\epsilon_{cu3}}{\epsilon_{cu3} + \epsilon_{cu3}} = 0,617$

- bilineární pracovní diagram s vodorovnou horní větví bez omezeného přetvoření

Zadání plochy výztuže

Vrstva

Profil ve vrstvě

Počet prutů

Krytí profilu

Plocha na 1 mb

Celková plocha

Teoretická osa plochy výztuže

Účinná výška průřezu

Vzdálenost mezi pruty

Min světlost mezi pruty

	37 mm	37 mm	37 mm	37 mm
i =	1	2	3	4
ϕ i =	25	0	0	0
ks =	8	0	0	0
ci =	50	0	0	0
ai =	3927	0	0	0

$a_{s1} = 3927$ mm²

$d_1 = 63$ mm

$d = 538$ mm

$s_1 = 86$ mm

$s \leq s_{s1,max}$

Ok

min. vzdálenosti prutů

$s_{min} = \max(k_1 \cdot \phi, d_g + k_2 \cdot 20mm)$

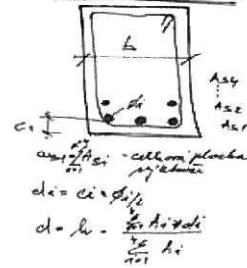
$= s_{min} = 37$ mm

$k_1 = 1,2$

$k_2 = 5$

$d_g = 32$ mm

TRAM - OBDELNIK



Posouzení

$x = \frac{a_{s1} \cdot f_{yd}}{b \cdot \lambda \cdot \eta \cdot f_{cd}} = 118,6$ mm

$\xi = \frac{x}{d} = 0,2206 < \xi_{bal,1} = 0,617$

Vyhovuje

$m_{Rd} = a_{s1} \cdot f_{yd} \cdot (d - 0,5 \lambda x) = 836,74$ kNm/m

$m_{Ed} = 831 < m_{Rd} = 836,74$ kNm/m

$m_{Ed} < m_{Rd}$ Vyhovuje

Kontrola vyztužení

$a_{s,min} = \max \left\{ \frac{0,26 \cdot f_{ctm} \cdot b_i \cdot d}{f_{yk}}; 0,0013 \cdot b_i \cdot d \right\}$

$a_{s1} = 3927 > a_{s,min} = 728,6$ mm²

$a_{s1} > a_{s,min}$ Vyhovuje

$a_{s1} \leq 0,04 A_c = 24000$ mm²

$> a_{s1} = 3927$ mm²

Vyhovuje

$a_{s,min} \geq \frac{0,26 \cdot f_{ctm} \cdot b_i \cdot d}{f_{yk}} = 728,61$ mm²

$a_{s,min} \geq 0,0013 \cdot b_i \cdot d = 628,88$ mm²

Smyk

$\min(V_{Rd,max}) = v \cdot f_{cd} \cdot b_w \cdot z \cdot \left(\frac{\cot \Theta}{1 + \cot^2 \Theta} \right) = 1606,086$ kN

$\cot \Theta = 2,5$ - volime

$v = 0,6 \left[1 - \frac{f_{ck}}{250} \right] = 0,528$

$z = d - 0,5 \cdot \lambda \cdot x = 490$ mm

$|V_{Ed}| \leq \min(V_{Rd,max}) \rightarrow$ Lze navrhnout smykovou výztuž za předpokladu $\cot \Theta = 2,5$

Třmínky

$n = 4$ počet stříhů na třmínku

ϕ i = 10 mm - profil třmínku

a = 250 mm - osová vzdálenost třmínků

$A_{sw} = 314$ mm² - plocha třmínků

$a \leq s_{min}$

Osová vzdálenost třmínků je OK

Návrh konstrukční smykové výztuže

- vzdálenost třmínků

$s \leq 0,75 \cdot d = 403,1$ mm

$s \leq 400$ mm $s_{vr,min} = 400$

- omezení stupně vyztužení

$\rho_v = \frac{A_{sw}}{b_w \cdot s} \geq \rho_{v,min} = 0,08 \cdot \frac{\sqrt{f_{ck}}}{f_{yk}}$

$\rho_{v,min} = 0,08 \cdot \frac{\sqrt{f_{ck}}}{f_{yk}} = 0,00088$

$s_w = \frac{A_{sw}}{b_w \cdot \rho_{v,min}} = 398,32$ mm

$s_{min} = \min(s_{vr,min}, s_w) = 398,32$ mm

$V_{Rd,s} = \frac{A_{sw} \cdot f_{yd}}{s} \cdot z \cdot \cot \Theta = 669,39$ kN

$|V_{Ed}| = 578$ kN $\leq V_{Rd,s} = 669,39$ kN

Navrhnutý třmínek vyhovuje

2) Kontrola trhlin

Výpočet hodnoty

$$\varepsilon_{sm} - \varepsilon_{cm} = \frac{\sigma_s - k_t \cdot \frac{f_{ct,eff}}{\rho_{p,eff}} (1 + \alpha_e \cdot \rho_{p,eff})}{E_s} \geq 0,6 \frac{\sigma_s}{E_s}$$

Šířku trhlin posuzujeme při kvazistálé kombinaci zatížení napětí ve výztuži

napětí v tažené výztuži vypočtené na průřezu porušeném trhlinou

$$\sigma_s = 228,5 \text{ Mpa} \quad \sigma_s = \alpha_e \frac{m_{k,d,q} \cdot (d - x_r)}{I_r}$$

$\alpha_e = E_s / E_{cm} = 6,091$ poměr modulu pružnosti výztuže a betonu

$\rho_{p,eff} = (a_s + \xi_1^2 \cdot A_p) / A_{c,eff}$ je účinný stupeň vyztužení efektivní tažené oblasti betonu $A_{c,eff}$

$A_{c,eff} = b \cdot h_{c,ef} = 0,1366 \text{ m}^2$

$h_{c,ef} = \min \{ 2,5(h-d), (h-x)/3, h/2 \}; \min \{ 156,25 ; 151,83 ; 300 \} h_{c,ef} = 151,83 \text{ mm}$

Vliv doby trvání zatížení

- Krátkodobé zatížení, 0,6
 Dlouhodobé zatížení, 0,4

$k_t = 0,4$

$a_s = 3927 \text{ mm}^2$
 $a_r =$ předpřítlačení výztuž

$\rho_{p,eff} = (a_s) / A_{c,eff} = 0,02874$

$f_{ct,eff} = 2,9 \text{ Mpa}$ - trhliny jsou očekávány po 28 dnech $f_{ct,eff} = f_{cm}$

$\varepsilon_{sm} - \varepsilon_{cm} = 0,000905 \geq 0,6 \frac{\sigma_s}{E_s} = 0,0006854$

$\varepsilon_{sm} - \varepsilon_{cm} = 0,0009054$

Výpočet $s_{r,max}$

Případ $s \leq 5(c + \phi/2)$

$s_{r,max} = k_3 c + k_1 k_2 k_4 \phi / \rho_{p,eff} = 317,882 \text{ mm}$

Případ $s > 5(c + \phi/2)$

$s_{r,max} = 1,3 \cdot (h - x) = 625,86 \text{ mm}$

$c = 50$	krytí podélné výztuže
$k_1 = 0,8$	pruty s velkou soudružností
$k_2 = 0,5$	pro ohyb
$k_3 = 3,4$	doporučená hodnota
$k_4 = 0,425$	doporučená hodnota
$\phi = 25$	profil prutů

Rozhodnutí podle kterého případu se bude počítat $s_{r,max}$

$5(c + \phi/2) = 312,5 \text{ mm}$

vzdálenost výztuže $85,71 \text{ mm}$

Případ $s \leq 5(c + \phi/2)$

$s_{r,max} = 317,88 \text{ mm}$

Kontrola trhlin

$w_k = s_{r,max} (\varepsilon_{sm} - \varepsilon_{cm}) \leq w_{max}$

$w_k = 0,2878 \text{ mm} \leq w_{max} = 0,3 \text{ mm}$

Šířka trhlin pro dané prostředí vyhovuje

Prvek Základový pas pod schodišťovou stěnou

Posouzení obdélníku

Rozpětí stropní kce L = 6 m

Vstupní údaje

Stupeň vlivu prostředí

XC4

Návrhová životnost

80 let

Požární odolnost

REI

Materiály:

Zadání vnitřních sil

$m_{Ed} = 265$ kNm
 $m_{Ed,q} = 104,00$ $m_{Ed,ch} = 185,40$ kNm
 $V_{Ed} = 225$ kN

Zadání geometrie

h = 1200 mm
b = 800 mm

Třída betonu :	C30/37	Výztuž :	10 505 R
$f_{ck} = 30$ Mpa		$f_{yk} = 500$ Mpa	
$\alpha_{cc} = 1$ v ČR se uvažuje hodnotou 1		$\gamma_s = 1,15$ součinitel spolehlivosti materiálu	
$\gamma_c = 1,50$ součinitel spolehlivosti materiálu		$E_s = 200,00$ Gpa	
$f_{ctm} = 2,9$ Mpa		$f_{yk} = 434,78$ Mpa	
$E_{cm} = 32,8$ Gpa		$\epsilon_{yd} = \frac{f_{yd}}{E_s} = 2,17$ [‰]	
$\epsilon_{cu3} = 3,5$ [‰]			

Rovnoměrné rozdělení napětí betonu v tlaku po výšce $\lambda \cdot x$
 $\eta = 1$
 $\lambda = 0,8$
 $\xi_{bal,1} = \frac{\epsilon_{cu,3}}{\epsilon_{cu,3} + \epsilon_{cu,3}} = 0,617$

- bilineární pracovní diagram s vodorovnou horní větví bez omezeného přetvoření

Zadání plochy výztuže

Vrstva

Profil ve vrstvě

Počet prutů

Krytí profilu

Plocha na 1 mb

Celková plocha

Teoretická osa plochy výztuže

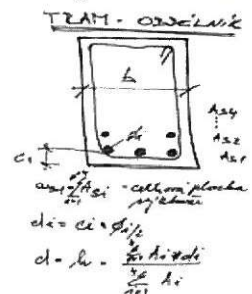
Účinná výška průřezu

Vzdálenost mezi pruty

Min světlost mezi pruty

	37 mm	37 mm	37 mm	37 mm	
i =	1	2	3	4	
ϕ_i =	22	0	0	0	mm
ks =	4	0	0	0	mm
ci =	50	0	0	0	mm
ai =	1521	0	0	0	mm ²
$a_{s1} =$	1521				mm ²
$d_1 =$	61				mm
$d =$	1139				mm

min. vzdálenosti prutů
 $s_{min} = \max(k_1 \cdot \phi, d_g + k_2, 20mm)$
 $= s_{min} = 37$ mm
 $k_1 = 1,2$
 $k_2 = 5$
 $d_g = 32$ mm



Posouzení

$x = \frac{a_{s1} \cdot f_{yd}}{b \cdot \lambda \cdot \eta \cdot f_{cd}} = 51,6$ mm
 $\xi = \frac{x}{d} = 0,0453 < \xi_{bal,1} = 0,617$
Vyhovuje

$m_{rd} = a_{s1} \cdot f_{yd} \cdot (d - 0,5 \lambda x) = 739,34$ kNm/m
 $m_{Ed} = 265 < m_{rd} = 739,34$ kNm/m
 $m_{Ed} < m_{rd}$ **Vyhovuje**

Kontrola vyztužení

$a_{s,min} = \max \left\{ \frac{0,26 \cdot f_{ctm} \cdot b_t \cdot d}{f_{yk}}; 0,0013 \cdot b_t \cdot d \right\}$
 $a_{s1} = 1521 > a_{s,min} = 1372,4$ mm²
 $a_{s1} > a_{s,min}$ **Vyhovuje**
 $a_{s1} \leq 0,04 A_c = 48000$ mm² $> a_{s1} = 1521$ mm²
Vyhovuje

Smyk

$\min(V_{Rd,max}) = v \cdot f_{cd} \cdot b_w \cdot z \cdot \left(\frac{\cot \Theta}{1 + \cot^2 \Theta} \right) = 3257,842$ kN
 $v = 0,6 \left[1 - \frac{f_{ck}}{250} \right] = 0,528$
 $\cot \Theta = 2,5 - \text{volime}$
 $z = d - 0,5 \cdot \lambda \cdot x = 1118$ mm
 $|V_{ed}| \leq \min(V_{Rd,max}) \rightarrow$ **Lze navrhnout smykovou výztuž za předpokladu $\cot \Theta = 2,5$**

Třminky

n = 4 počet stříhů na třmínku
 $\phi_i = 10$ mm - profil třmínku
a = 250 mm - osová vzdálenost třmínků
 $A_{sw} = 314$ mm² - plocha třmínků
 $a \leq s_{min}$
Osová vzdálenost třmínků je OK

Návrh konstrukční smykové výztuže

- vzdálenost třmínků
 $s \leq 0,75 \cdot d = 854,3$ mm
 $s \leq 400$ mm $s_{sv,min} = 400$

- omezení stupně vyztužení

$\rho_w = \frac{A_{sw}}{b_w \cdot s} \geq \rho_{w,min} = 0,08 \cdot \frac{\sqrt{f_{ck}}}{f_{yk}}$
 $\rho_{w,min} = 0,08 \cdot \frac{\sqrt{f_{ck}}}{f_{yk}} = 0,00088$

$V_{rd,s} = \frac{A_{sw} \cdot f_{yd}}{s} \cdot z \cdot \cot \Theta = 1527,55$ kN

$s_w = \frac{A_{sw}}{b_w \cdot \rho_{w,min}} = 448,10$ mm
 $s_{min} = \min(s_{sv,min}, s_w) = 400,00$ mm

$|V_{ed}| = 225$ kN $\leq V_{rd,s} = 1527,55$ kN

Navrhnutý třmínek vyhovuje

Prvek Základový pas pod schodišťovou stěnou

Posouzení obdélníku

Rozpětí stropní kce L = 6 m

Vstupní údaje

Stupeň vlivu prostředí XC4
Návrhová životnost 80 let
Požární odolnost REI
Materiály:

Zadání vnitřních sil

$m_{Ed} = 265$ kNm
 $m_{Ed,q} = 104,00$ $m_{Ed,ch} = 185,40$ kNm
 $V_{Ed} = 225$ kN

Zadání geometrie

h 1200 mm
b 800 mm

Třída betonu :	C30/37	Výztuž :	10 505 R
$f_{ck} = 30$ Mpa		$f_{yk} = 500$ Mpa	
$\alpha_{cc} = 1$	v ČR se uvažuje hodnotou 1	$\gamma_s = 1,15$	součinitel spolehlivosti materiálu
$\gamma_c = 1,50$	součinitel spolehlivosti materiálu	$E_s = 200,00$ Gpa	
$f_{ctm} = 2,9$ Mpa		$f_{yk} = \frac{f_{yk}}{\gamma_s} = 434,78$ Mpa	
$E_{cm} = 32,8$ Gpa		$\epsilon_{yd} = \frac{f_{yk}}{E_s} = 2,17$ [%]	
$\epsilon_{cu3} = 3,5$ [%]			

Rovnoměrné rozdělení napětí betonu v tlaku ηf_{cd}
po výšce λx
 $\eta = 1$
 $\lambda = 0,8$
 $\xi_{bal,1} = \frac{\epsilon_{cu3}}{\epsilon_{cu3} + \epsilon_{cu3}} = 0,617$

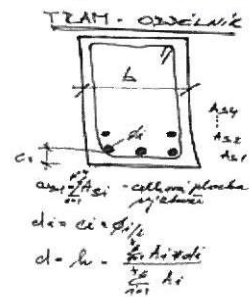
- bilineární pracovní diagram s vodorovnou horní větví bez omezeného přetvoření

Zadání plochy výztuže

Vrstva
Profil ve vrstvě
Počet prutů
Krytí profilu
Plocha na 1 mb
Celková plocha
Teoretická osa plochy výztuže
Účinná výška průřezu
Vzdálenost mezi pruty
Min světlost mezi pruty

	37 mm	37 mm	37 mm	37 mm
i =	1	2	3	4
$\phi_i =$	22	0	0	0
ks =	4	0	0	0
ci =	50	0	0	0
ai =	1521	0	0	0
	$a_{s1} = 1521$ mm ²			
	$d_1 = 61$ mm			
	$d = 1139$ mm			

min. vzdálenosti prutů
 $s_{min} = \max(k_1 \cdot \phi, d_g + k_2, 20mm)$
 $= s_{min} = 37$ mm
 $k_1 = 1,2$
 $k_2 = 5$
 $d_g = 32$ mm



Posouzení

$x = \frac{a_{s1} \cdot f_{yd}}{b \cdot \lambda \cdot \eta \cdot f_{cd}} = 51,6$ mm
 $\xi = \frac{x}{d} = 0,0453 < \xi_{bal,1} = 0,617$
Vyhovuje

$m_{rd} = a_{s1} \cdot f_{yd} \cdot (d - 0,5 \lambda x) = 739,34$ kNm/m
 $m_{Ed} = 265 < m_{rd} = 739,34$ kNm/m
Vyhovuje

Kontrola vyztužení

$a_{s,min} = \max \left\{ \frac{0,26 \cdot f_{ctm} \cdot b_i \cdot d}{f_{yk}}; 0,0013 \cdot b_i \cdot d \right\}$
 $a_{s1} = 1521 > a_{s,min} = 1372,4$ mm²
Vyhovuje
 $a_{s1} \leq 0,04 A_c = 48000$ mm² $> a_{s1} = 1521$ mm²
Vyhovuje

$a_{s,min} \geq \frac{0,26 \cdot f_{ctm} \cdot b_i \cdot d}{f_{yk}} = 1372,42$ mm²
 $a_{s,min} \geq 0,0013 \cdot b_i \cdot d = 1184,56$ mm²

Smyk

$\min(V_{Rd,max}) = v \cdot f_{cd} \cdot b_w \cdot z \cdot \left(\frac{\cot \Theta}{1 + \cot^2 \Theta} \right) = 3257,842$ kN
 $\cot \Theta = 2,5 - volime$
 $v = 0,6 \left[1 - \frac{f_{ck}}{250} \right] = 0,528$
 $z = d - 0,5 \cdot \lambda \cdot x = 1118$ mm
 $|V_{Ed}| \leq \min(V_{Rd,max}) \rightarrow$ **Lze navrhnout smykovou výztuž za předpokladu cot=2,5**

Třmínky

n = 4 počet stříhů na třmínku
 $\phi_i = 10$ mm - profil třmínku
a = 250 mm - osová vzdálenost třmínků
 $A_{sw} = 314$ mm² - plocha třmínků
 $a \leq s_{min}$
Osová vzdálenost třmínků je OK

Návrh konstrukční smykové výztuže

- vzdálenost třmínků
 $s \leq 0,75 \cdot d = 854,3$ mm
 $s \leq 400$ mm $s_{v,min} = 400$

- omezení stupně vyztužení
 $\rho_w = \frac{A_{sw}}{b_w \cdot s} \geq \rho_{w,min} = 0,08 \cdot \frac{\sqrt{f_{ck}}}{f_{yk}}$
 $\rho_{w,min} = 0,08 \cdot \frac{\sqrt{f_{ck}}}{f_{yk}} = 0,00088$

$V_{rd,s} = \frac{A_{sw} \cdot f_{yd}}{s} \cdot z \cdot \cot \Theta = 1527,55$ kN

$s_w = \frac{A_{sw}}{b_w \cdot \rho_{w,min}} = 448,10$ mm
 $s_{min} = \min(s_{v,min}, s_w) = 400,00$ mm

$|V_{Ed}| = 225$ kN $\leq V_{rd,s} = 1527,55$ kN

Navrhnutý třmínek vyhovuje

2) Kontrola trhlin

Výpočet hodnoty $\varepsilon_{sm} - \varepsilon_{cm}$

$$\varepsilon_{sm} - \varepsilon_{cm} = \frac{\sigma_s - k_t \cdot \frac{f_{ct,eff}}{\rho_{p,eff}} (1 + \alpha_e \cdot \rho_{p,eff})}{E_s} \geq 0,6 \frac{\sigma_s}{E_s}$$

Šířku trhlin posuzujeme při kvazistálé kombinaci zatížení napětí ve výztuži

$\sigma_s =$ napětí v tažené výztuži vypočtené na průřezu porušeném trhlinou $\sigma_s = \alpha_e \frac{m_{t,d,eq} \cdot (d - x_r)}{I_r}$
 $\sigma_s = 62,8$ Mpa

$\alpha_e = E_s / E_{cm} = 6,091$ poměr modulu pružnosti výztuže a betonu
 $\rho_{p,eff} = (a_s + \xi_1^2 \cdot A_p) / A_{c,eff}$ je účinný stupeň vyztužení efektivní tažené oblasti betonu $A_{c,eff}$

$A_{c,eff} = b \cdot h_{c,ef} = 0,1220$ m²

$h_{c,ef} = \min\{ 2,5(h-d), (h-x)/3, h/2; \min\{ 152,50 ; 349,59 ; 600 \} h_{c,ef} = 152,50$ mm

Vliv doby trvání zatížení

- Krátkodobé zatížení, 0,6
 Dlouhodobé zatížení, 0,4

$k_t = 0,4$

$a_s = 1521$ mm²
 $a_r =$ předupínací výztuž

$\rho_{p,eff} = (a_s) / A_{c,eff} = 0,01246$

$f_{ct,eff} = 2,9$ Mpa - trhliny jsou očekávány po 28 dnech $f_{ct,eff} = f_{ctm}$

$\varepsilon_{sm} - \varepsilon_{cm} = -0,000186 \geq 0,6 \frac{\sigma_s}{E_s} = 0,0001885$

$\varepsilon_{sm} - \varepsilon_{cm} = 0,0001885$

Výpočet $s_{r,max}$

Případ $s < 5(c + \phi/2)$

$s_{r,max} = k_3 c + k_1 k_2 k_4 \phi / \rho_{p,eff} = 470,079$ mm

Případ $s > 5(c + \phi/2)$

$s_{r,max} = 1,3 \cdot (h - x) = 1492,86$ mm

$c =$	50	krytí podélné výztuže
$k_1 =$	0,8	pruty s velkou soudružností
$k_2 =$	0,5	pro ohyb
$k_3 =$	3,4	doporučená hodnota
$k_4 =$	0,425	doporučená hodnota
$\phi =$	22	profil prutů

Rozhodnutí podle kterého případu se bude počítat $s_{r,max}$

$5(c + \phi/2) = 305$ mm

vzdálenost výztuže $204,00$ mm

Případ $s \leq 5(c + \phi/2)$

$s_{r,max} = 470,08$ mm

Kontrola trhlin

$w_k = s_{r,max} (\varepsilon_{sm} - \varepsilon_{cm}) \leq w_{max}$

$w_k = 0,0886$ mm $\leq w_{max} = 0,3$ mm

Šířka trhlin pro dané prostředí vyhovuje

Posouzení obdélníku

Rozpětí stropní kce L = 6 m

Vstupní údaje

Stupeň vlivu prostředí: XC4
 Návrhová životnost: 80 let
 Požární odolnost: REI
 Materiály:

Zadání vnitřních sil

$m_{Ed} = 2278$ kNm
 $m_{Ed,q} = 1500,00$ $m_{Ed,ch} = 1628,00$ kNm
 $V_{Ed} = 1106$ kN

Zadání geometrie

h = 1200 mm
 b = 500 mm

Třída betonu :	C30/37	Výztuž :	10 505 R
$f_{ck} = 30$ Mpa $\alpha_{cc} = 1$ $\gamma_c = 1,50$ $f_{ctm} = 2,9$ Mpa $E_{cm} = 32,8$ Gpa $\epsilon_{cu3} = 3,5$ [%]	ηf_{cd} v ČR se uvažuje hodnotou 1 součinitel spolehlivosti materiálu 20,00 Mpa 2,9 Mpa 32,8 Gpa 3,5 [%]	$f_{yk} = 500$ Mpa $\gamma_s = 1,15$ součinitel spolehlivosti materiálu $E_s = 200,00$ Gpa $f_{sd} = 434,78$ Mpa $\epsilon_{yd} = \frac{f_{sd}}{E_s} = 2,17$ [%]	10 505 R

Rovnoměrné rozdělení napětí betonu v tlaku po výšce λx
 $\eta = 1$
 $\lambda = 0,8$
 $\xi_{bal,1} = \frac{\epsilon_{cu3}}{\epsilon_{cu3} + \epsilon_{cu3}} = 0,617$

- bilineární pracovní diagram s vodorovnou horní větví bez omezeného přetožení

Zadání plochy výztuže

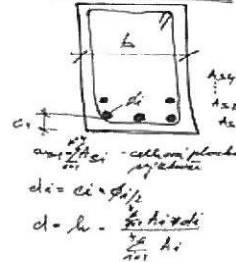
Vrstva
 Profil ve vrstvě
 Počet prutů
 Krytí profilu
 Plocha na 1 mb
 Celková plocha
 Teoretická osa plochy výztuže

	37 mm	37 mm	37 mm	37 mm	
i =	1	2	3	4	
ϕ i =	25	0	0	0	mm
ks =	12	0	0	0	mm
ci =	50	0	0	0	mm
ai =	5890	0	0	0	mm ²
$a_{s1} =$	5890				mm ²
$d_1 =$	63				mm
$d =$	1138				mm

min. vzdálenosti prutů
 $s_{min} = \max(k_1 \cdot \phi, d_g + k_2 \cdot 20mm)$
 $= s_{min} = 37$ mm

$k_1 = 1,2$
 $k_2 = 5$
 $d_g = 32$ mm

TRAM - ODEVLK



Účinná výška průřezu
 Vzdálenost mezi pruty
 Min světlost mezi pruty

$s_1 = 9$ mm
 $s \leq s_{s1,max}$ Error

Posouzení

PRUTY ŽUPOU ROZTAŽENY DO ROZŠÍŘENÉ ČÁSTI TĚLO

$$x = \frac{a_{s1} \cdot f_{yd}}{b \cdot \lambda \cdot \eta \cdot f_{cd}} = 320,1 \text{ mm}$$

$$\xi = \frac{x}{d} = 0,2814 < \xi_{bal,1} = 0,617$$

Vyhovuje

$$m_{Rd} = a_{s1} \cdot f_{yd} \cdot (d - 0,5 \lambda x) = 2585,27 \text{ kNm/m}$$

$$m_{Ed} = 2278 < m_{Rd} = 2585,27 \text{ kNm/m}$$

Vyhovuje

Kontrola vyztužení

$$a_{s,min} = \max \left\{ \frac{0,26 \cdot f_{ctm} \cdot b_i \cdot d}{f_{yk}}; 0,0013 \cdot b_i \cdot d \right\}$$

$$a_{s1} = 5890 > a_{s,min} = 856,6 \text{ mm}^2$$

Vyhovuje

$$a_{s,min} \geq \frac{0,26 \cdot f_{ctm} \cdot b_i \cdot d}{f_{yk}} = 856,63 \text{ mm}^2$$

$$a_{s,min} \geq 0,0013 \cdot b_i \cdot d = 739,38 \text{ mm}^2$$

$$a_{s1} \leq 0,04 A_c = 48000 \text{ mm}^2 > a_{s1} = 5890 \text{ mm}^2$$

Vyhovuje

Smyk

$$\min(V_{Rd,max}) = v \cdot f_{cd} \cdot b_w \cdot z \cdot \left(\frac{\cot \Theta}{1 + \cot^2 \Theta} \right) = 1837,888 \text{ kN}$$

$\cot \Theta = 2,5 - \text{volime}$

$$v = 0,6 \left[1 - \frac{f_{ck}}{250} \right] = 0,528$$

$$z = d - 0,5 \cdot \lambda \cdot x = 1009 \text{ mm}$$

$|V_{ed}| \leq \min(V_{Rd,max}) \rightarrow$ **Lze navrhnout smykovou výztuž za předpokladu $\cot \Theta = 2,5$**

Třmínky

n = 4 počet stříhů na třmínku
 ϕ i = 10 mm - profil třmínku
 a = 250 mm - osová vzdálenost třmínků
 $A_{sw} = 314$ mm² - plocha třmínků
 $a \leq s_{min}$

Osová vzdálenost třmínků je OK

$$V_{rd,s} = \frac{A_{sw} \cdot f_{yd}}{s} \cdot z \cdot \cot \Theta = 1378,81 \text{ kN}$$

Návrh konstrukční smykové výztuže

- vzdálenost třmínků
 $s \leq 0,75 \cdot d = 853,1$ mm
 $s \leq 400$ mm $s_{v,min} = 400$

- omezení stupně vyztužení

$$\rho_w = \frac{A_{sw}}{b_w \cdot s} \geq \rho_{w,min} = 0,08 \cdot \frac{\sqrt{f_{ck}}}{f_{yk}}$$

$$\rho_{w,min} = 0,08 \cdot \frac{\sqrt{f_{ck}}}{f_{yk}} = 0,00088$$

$$s_w = \frac{A_{sw}}{b_w \cdot \rho_{w,min}} = 716,97 \text{ mm}$$

$$s_{min} = \min(s_{v,min}, s_w) = 400,00 \text{ mm}$$

$$|V_{ed}| = 1106 \text{ kN} \leq V_{rd,s} = 1378,81 \text{ kN}$$

Navrhnutý třmínek vyhovuje

2) Kontrola trhlin

Výpočet hodnoty $\varepsilon_{sm} - \varepsilon_{cm}$

$$\varepsilon_{sm} - \varepsilon_{cm} = \frac{\sigma_s - k_t \cdot \frac{f_{ct,eff}}{\rho_{p,eff}} (1 + \alpha_e \cdot \rho_{p,eff})}{E_s} \geq 0,6 \frac{\sigma_s}{E_s}$$

Šířku trhlin posuzujeme při kvazistálé kombinaci zatížení napětí ve výztuži

$\sigma_s =$ napětí v tažené výztuži vypočtené na průřezu porušeném trhlinou $\sigma_s = \alpha_e \frac{m_{fd,eq} \cdot (d - x_r)}{I_r}$
 $\sigma_s = 248,5$ Mpa

$\alpha'_e = E_s / E_{cm} = 6,091$ poměr modulu pružnosti výztuže a betonu

$\rho_{p,eff} = (a_s + \xi_1^2 \cdot A_p) / A_{c,eff}$ je účinný stupeň vyztužení efektivní tažené oblasti betonu $A_{c,eff}$

$A_{c,eff} = b \cdot h_{c,ef} = 0,0781$ m²

$h_{c,ef} = \min\{ 2,5(h-d), (h-x)/3, h/2 \}; \min\{ 156,25 ; 287,13 ; 600 \} h_{c,ef} = 156,25$ mm

Vliv doby trvání zatížení

- Krátkodobé zatížení, 0,6
 Dlouhodobé zatížení, 0,4

$k_t = 0,4$

$a_s = 5890$ mm²
 $a_p =$ plocha výztuže

$\rho_{p,eff} = (a_s) / A_{c,eff} = 0,07540$

$f_{ct,eff} = 2,9$ Mpa - trhliny jsou očekávány po 28 dnech $f_{ct,eff} = f_{ctm}$

$\varepsilon_{sm} - \varepsilon_{cm} = 0,001131 \geq 0,6 \frac{\sigma_s}{E_s} = 0,0007456$

$\varepsilon_{sm} - \varepsilon_{cm} = 0,0011305$

Výpočet $s_{r,max}$

Případ $s \leq 5(c+\phi/2)$

$s_{r,max} = k_3 c + k_1 k_2 k_4 \phi / \rho_{p,eff} = 226,367$ mm

Případ $s > 5(c+\phi/2)$

$s_{r,max} = 1,3 \cdot (h-x) = 1143,82$ mm

$c =$	50	krytí podélné výztuže
$k_1 =$	0,8	pruty s velkou soudružností
$k_2 =$	0,5	pro ohyb
$k_3 =$	3,4	doporučená hodnota
$k_4 =$	0,425	doporučená hodnota
$\phi =$	25	profil prutů

Rozhodnutí podle kterého případu se bude počítat $s_{r,max}$

$5(c+\phi/2) = 312,5$ mm

vzdálenost výztuže $9,09$ mm

Případ $s \leq 5(c+\phi/2)$

$s_{r,max} = 226,37$ mm

Kontrola trhlin

$w_k = s_{r,max} (\varepsilon_{sm} - \varepsilon_{cm}) \leq w_{max}$

$w_k = 0,2559$ mm $\leq w_{max} = 0,3$ mm

Šířka trhlin pro dané prostředí vyhovuje

Posouzení obdélníku

Rozpětí stropní kce L = 6 m

Vstupní údaje

Stupeň vlivu prostředí XC4
 Návrhová životnost 80 let
 Požární odolnost REI
 Materiály:

Zadání vnitřních sil

$m_{Ed} = 1897$ kNm
 $m_{Ed,q} = 1248,00$ $m_{Ed,ch} = 1356,00$ kNm
 $V_{Ed} = 1060$ kN

Zadání geometrie

h = 1000 mm
 b = 500 mm

Třída betonu :	C30/37	Výztuž :	10 505 R
$f_{ck} = 30$ Mpa	$\alpha_{cc} = 1$	$f_{yk} = 500$ Mpa	$\gamma_s = 1,15$
$\gamma_c = 1,50$	$f_{ctm} = 2,9$ Mpa	$E_s = 200,00$ Gpa	$f_{yd} = \frac{f_{yk}}{\gamma_s} = 434,78$ Mpa
$f_{ctd} = 20,00$ Mpa	$E_{cm} = 32,8$ Gpa	$\epsilon_{yd} = \frac{f_{yd}}{E_s} = 2,17$ [%]	
$\epsilon_{cu3} = 3,5$ [%]			

Rovnoměrné rozdělení napětí betonu v tlaku po výšce $\lambda \cdot x$

$$\eta = 1 \quad \xi_{bal,1} = \frac{\epsilon_{cu3}}{\epsilon_{cu3} + \epsilon_{cu3}} = 0,617$$

$$\lambda = 0,8$$

- bilineární pracovní diagram s vodorovnou horní větví bez omezeného přetvoření

Zadání plochy výztuže

Vrstva
 Profil ve vrstvě
 Počet prutů
 Krytí profilu
 Plocha na 1 mb
 Celková plocha
 Teoretická osa plochy výztuže
 Účinná výška průřezu
 Vzdálenost mezi pruty
 Min světlost mezi pruty

	37 mm	37 mm	37 mm	37 mm
i =	1	2	3	4
$\phi_i =$	25	0	0	0
ks =	12	0	0	0
ci =	50	0	0	0
ai =	5890	0	0	0

$a_{s1} = 5890$ mm²
 $d_1 = 63$ mm
 $d = 938$ mm

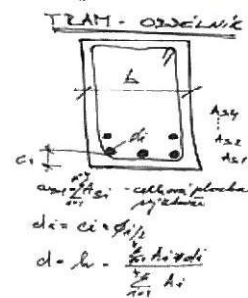
s1 = 9 mm

s ≤ s_{s1,max} **Error**

min. vzdálenosti prutů

$s_{min} = \max(k_1 \cdot \phi, d_g + k_2 \cdot 20mm)$
 = 37 mm

$k_1 = 1,2$
 $k_2 = 5$
 $d_g = 32$ mm



PRUTY BUJOU POKRYTENY DO POZSÍDEKÉ ČÁSTI PRAMU

Posouzení

$x = \frac{a_{s1} \cdot f_{yd}}{b \cdot \lambda \cdot \eta \cdot f_{cd}} = 320,1$ mm
 $\xi = \frac{x}{d} = 0,3415 < \xi_{bal,1} = 0,617$
Vyhovuje

$m_{Rd} = a_{s1} \cdot f_{yd} \cdot (d - 0,5 \lambda \cdot x) = 2073,06$ kNm/m
 $m_{Ed} = 1897 < m_{Rd} = 2073,06$ kNm/m
Vyhovuje

Kontrola vyztužení

$a_{s,min} = \max\left\{\frac{0,26 \cdot f_{ctm} \cdot b_t \cdot d}{f_{yk}}; 0,0013 \cdot b_t \cdot d\right\}$
 $a_{s1} = 5890 > a_{s,min} = 706,0$ mm²
Vyhovuje

$a_{s,min} \geq \frac{0,26 \cdot f_{ctm} \cdot b_t \cdot d}{f_{yk}} = 706,01$ mm²
 $a_{s,min} \geq 0,0013 \cdot b_t \cdot d = 609,38$ mm²

$a_{s1} \leq 0,04 A_c = 40000$ mm² $> a_{s1} = 5890$ mm²
Vyhovuje

Smyk

$\min(V_{Rd,max}) = v \cdot f_{cd} \cdot b_w \cdot z \cdot \left(\frac{\cot \Theta}{1 + \cot^2 \Theta}\right) = 1473,75$ kN
 $\cot \Theta = 2,5$ - volíme

$v = 0,6 \left[1 - \frac{f_{ck}}{250}\right] = 0,528$
 $z = d - 0,5 \cdot \lambda \cdot x = 809$ mm

$|V_{Ed}| \leq \min(V_{Rd,max}) \rightarrow$ **Lze navrhnout smykovou výztuž za předpokladu cot=2,5**

Třminky

n = 4 počet stříhů na třmínku
 $\phi_i = 10$ mm - profil třmínku
 a = 250 mm - osová vzdálenost třmínků
 $A_{sw} = 314$ mm² - plocha třmínků
 $a \leq s_{min}$

Osová vzdálenost třmínků je OK

$V_{rd,s} = \frac{A_{sw} \cdot f_{ywd}}{s} \cdot z \cdot \cot \Theta = 1105,63$ kN

Návrh konstrukční smykové výztuže

- vzdálenost třmínků
 $s \leq 0,75 \cdot d = 703,1$ mm
 $s \leq 400$ mm $s_{vz,min} = 400$

- omezení stupně vyztužení

$\rho_w = \frac{A_{sw}}{b_w \cdot s} \geq \rho_{w,min} = 0,08 \cdot \frac{\sqrt{f_{ck}}}{f_{yk}}$
 $\rho_{w,min} = 0,08 \cdot \frac{\sqrt{f_{ck}}}{f_{yk}} = 0,00088$

$s_w = \frac{A_{sw}}{b_w \cdot \rho_{w,min}} = 716,97$ mm

$s_{min} = \min(s_{vz,min}, s_w) = 400,00$ mm

$|V_{Ed}| = 1060$ kN $\leq V_{rd,s} = 1105,63$ kN

Navrhnutý třmínek vyhovuje

2) Kontrola trhlin

Výpočet hodnoty $\varepsilon_{sm} - \varepsilon_{cm}$

$$\varepsilon_{sm} - \varepsilon_{cm} = \frac{\sigma_s - k_t \cdot \frac{f_{ct,eff}}{\rho_{p,eff}} (1 + \alpha_e \cdot \rho_{p,eff})}{E_s} \geq 0,6 \frac{\sigma_s}{E_s}$$

Šířku trhlin posuzujeme při kvazistálé kombinaci zatížení napětí ve výztuži

$\sigma_s =$ napětí v tažené výztuži vypočtené na průřezu porušeném trhlinou $\sigma_s = \alpha_e \frac{m_{Ed,sg} \cdot (d - x_r)}{I_r}$
 $\sigma_s = 253,2 \text{ Mpa}$

$\alpha_e = E_s / E_{cm} = 6,091$ poměr modulu pružnosti výztuže a betonu

$\rho_{p,eff} = (a_s + \xi_1^2 \cdot A_p) / A_{c,eff}$ je účinný stupeň vyztužení efektivní tažené oblasti betonu $A_{c,eff}$

$A_{c,eff} = b \cdot h_{c,ef} = 0,0781 \text{ m}^2$

$h_{c,ef} = \min\{ 2,5(h - d), (h - x) / 3, h / 2 \}; \min\{ 156,25 ; 232,67 ; 500 \} h_{c,ef} = 156,25 \text{ mm}$

Vliv doby trvání zatížení

- Krátkodobé zatížení, 0.6
 Dlouhodobé zatížení, 0.4

$k_t = 0,4$

$a_s = 5890 \text{ mm}^2$
 $a_s =$ předpínací výztuž

$\rho_{p,eff} = (a_s) / A_{c,eff} = 0,07540$

$f_{ct,eff} = 2,9 \text{ Mpa}$ - trhliny jsou očekávány po 28 dnech $f_{ct,eff} = f_{ctm}$

$\varepsilon_{sm} - \varepsilon_{cm} = 0,001154 \geq 0,6 \frac{\sigma_s}{E_s} = 0,0007595$

$\varepsilon_{sm} - \varepsilon_{cm} = 0,0011538$

Výpočet $s_{r,max}$

Případ $s < 5(c + \phi/2)$

$s_{r,max} = k_3 c + k_1 k_2 k_4 \phi / \rho_{p,eff} = 226,367 \text{ mm}$

Případ $s > 5(c + \phi/2)$

$s_{r,max} = 1,3 \cdot (h - x) = 883,82 \text{ mm}$

$c =$	50	krytí podélné výztuže
$k_1 =$	0,8	pruty s velkou soudružností
$k_2 =$	0,5	pro ohyb
$k_3 =$	3,4	doporučená hodnota
$k_4 =$	0,425	doporučená hodnota
$\phi =$	25	profil prutů

Rozhodnutí podle kterého případu se bude počítat $s_{r,max}$

$5(c + \phi/2) = 312,5 \text{ mm}$

vzdálenost výztuže $9,09 \text{ mm}$

Případ $s \leq 5(c + \phi/2)$

$s_{r,max} = 226,37 \text{ mm}$

Kontrola trhlin

$w_k = s_{r,max} (\varepsilon_{sm} - \varepsilon_{cm}) \leq w_{max}$

$w_k = 0,2612 \text{ mm} \leq w_{max} = 0,3 \text{ mm}$

Šířka trhlin pro dané prostředí vyhovuje

Prvek Základový pas-horní výztuž

Posouzení obdélníku

Rozpětí stropní kce L = 6 m

Vstupní údaje

Stupeň vlivu prostředí XC4
Návrhová životnost 80 let
Požární odolnost REI
Materiály:

Zadání vnitřních sil

$m_{Ed} = 505$ kNm
 $m_{Ed,q} = 339,00$ $m_{Ed,ch} = 362,00$ kNm
 $V_{Ed} = 1052$ kN

Zadání geometrie

h = 1000 mm
b = 500 mm

Třída betonu :	C30/37	Výztuž :	10 505 R
$f_{ck} = 30$ Mpa	$\alpha_{cc} = 1$	$f_{yk} = 500$ Mpa	$\gamma_s = 1,15$ součinitel spolehlivosti materiálu
$\gamma_c = 1,50$ součinitel spolehlivosti materiálu	$f_{ctm} = 2,9$ Mpa	$E_s = 200,00$ Gpa	$f_{sd} = \frac{f_{yk}}{\gamma_s} = 434,78$ Mpa
$E_{cm} = 32,8$ Gpa	$\epsilon_{cu3} = 3,5$ [‰]	$\epsilon_{sd} = \frac{f_{sd}}{E_s} = 2,17$ [‰]	

Rovnoměrné rozdělení napětí betonu v tlaku ηf_{cd}
po výšce λx
 $\eta = \frac{1}{\lambda} = 0,8$
 $\xi_{bal,1} = \frac{\epsilon_{cu3}}{\epsilon_{cu3} + \epsilon_{sd}} = 0,617$

- bilineární pracovní diagram s vodorovnou horní větví bez omezeného přetožení

Zadání plochy výztuže

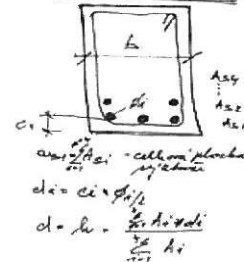
Vrstva
Profil ve vrstvě
Počet prutů
Krytí profilu
Plocha na 1 mb
Celková plocha
Teoretická osa plochy výztuže
Účinná výška průřezu
Vzdálenost mezi pruty
Min světlost mezi pruty

	37 mm	37 mm	37 mm	37 mm
i =	1	2	3	4
ϕ i =	25	0	0	0
ks =	4	0	0	0
ci =	50	0	0	0
ai =	1963	0	0	0
$a_{s1} =$	1963			
$d_1 =$	63			
$d =$	938			

min. vzdálenosti prutů
 $s_{min} = \max(k_1 \cdot \phi, d_g + k_2 \cdot 20mm)$
 $= s_{min} = 37$ mm

$k_1 = 1,2$
 $k_2 = 5$
 $d_g = 32$ mm

TRAM - ODESLIK



Posouzení

$$x = \frac{a_{s1} \cdot f_{sd}}{b \cdot \lambda \cdot \eta \cdot f_{cd}} = 106,7 \text{ mm}$$

$$\xi = \frac{x}{d} = 0,1138 < \xi_{bal,1} = 0,617$$

Vyhovuje

$$m_{Rd} = a_{s1} \cdot f_{sd} \cdot (d - 0,5 \lambda x) = 763,90 \text{ kNm/m}$$

$$m_{Ed} = 505 < m_{Rd} = 763,90 \text{ kNm/m}$$

$m_{Ed} < m_{Rd}$ Vyhovuje

Kontrola vyztužení

$$a_{s,min} = \max \left\{ \frac{0,26 \cdot f_{ctm} \cdot b_t \cdot d}{f_{yk}}; 0,0013 \cdot b_t \cdot d \right\}$$

$$a_{s1} = 1963 > a_{s,min} = 706,0 \text{ mm}^2$$

$a_{s1} > a_{s,min}$ Vyhovuje

$$a_{s,min} \geq \frac{0,26 \cdot f_{ctm} \cdot b_t \cdot d}{f_{yk}} = 706,01 \text{ mm}^2$$

$$a_{s,min} \geq 0,0013 \cdot b_t \cdot d = 609,38 \text{ mm}^2$$

$$a_{s1} \leq 0,04 A_c = 40000 \text{ mm}^2 > a_{s1} = 1963 \text{ mm}^2$$

Vyhovuje

Smyk

$$\min(V_{Rd,max}) = v \cdot f_{ctd} \cdot b_w \cdot z \cdot \left(\frac{\cot \Theta}{1 + \cot^2 \Theta} \right) = 1629,181 \text{ kN}$$

$\cot \Theta = 2,5$ - volíme

$$v = 0,6 \left[1 - \frac{f_{ck}}{250} \right] = 0,528$$

$$z = d - 0,5 \cdot \lambda \cdot x = 895 \text{ mm}$$

$|V_{Ed}| \leq \min(V_{Rd,max}) \rightarrow$ Lze navrhnout smykovou výztuž za předpokladu $\cot \Theta = 2,5$

Třmínky

n = 4 počet stříhů na třmínku
 ϕ i = 10 mm - profil třmínku
a = 250 mm - osová vzdálenost třmínků
 $A_{sw} = 314$ mm² - plocha třmínků
 $a \leq s_{min}$

Osová vzdálenost třmínků je OK

$$V_{Rd,s} = \frac{A_{sw} \cdot f_{ywd}}{s} \cdot z \cdot \cot \Theta = 1222,24 \text{ kN}$$

$$|V_{Ed}| = 1052 \text{ kN} \leq V_{Rd,s} = 1222,24 \text{ kN}$$

Navrhnutý třmínek vyhovuje

Návrh konstrukční smykové výztuže

- vzdálenost třmínků
 $s \leq 0,75 \cdot d = 703,1$ mm
 $s \leq 400$ mm $s_{v,min} = 400$

- omezení stupně vyztužení
 $\rho_w = \frac{A_{sw}}{b_w \cdot s} \geq \rho_{w,min} = 0,08 \cdot \frac{\sqrt{f_{ck}}}{f_{yk}}$
 $\rho_{w,min} = 0,08 \cdot \frac{\sqrt{f_{ck}}}{f_{yk}} = 0,00088$

$$s_w = \frac{A_{sw}}{b_w \cdot \rho_{w,min}} = 716,97 \text{ mm}$$

$$s_{min} = \min(s_{v,min}, s_w) = 400,00 \text{ mm}$$

2) Kontrola trhlin

Výpočet hodnoty $\varepsilon_{sm} - \varepsilon_{cm}$

$$\varepsilon_{sm} - \varepsilon_{cm} = \frac{\sigma_s - k_f \cdot \frac{f_{ct,eff}}{\rho_{p,eff}} (1 + \alpha_e \cdot \rho_{p,eff})}{E_s} \geq 0,6 \frac{\sigma_s}{E_s}$$

Šířku trhlin posuzujeme při kvazistálé kombinaci zatížení napětí ve výztuži

$\sigma_s =$ napětí v lažené výztuži vypočtené na průřezu porušeném trhlinou $\sigma_s = \alpha_e \frac{m_{Ed,q} \cdot (d - x_r)}{I_r}$

$\sigma_s = 197,4$ Mpa

$\alpha_e = E_s / E_{cm} = 6,091$ poměr modulu pružnosti výztuže a betonu

$\rho_{p,eff} = (a_s + \xi_1^2 \cdot A_p) / A_{c,eff}$ je účinný stupeň vyztužení efektivní lažené oblasti betonu $A_{c,eff}$

$A_{c,eff} = b \cdot h_{c,ef} = 0,0781$ m²

$h_{c,ef} = \min\{2,5(h-d), (h-x)/3, h/2\}; \min\{156,25; 270,27; 500\} h_{c,ef} = 156,25$ mm

Vliv doby trvání zatížení

- Krátkodobé zatížení, 0.6
- Dlouhodobé zatížení, 0.4

$k_f = 0,4$

$a_s = 1963$ mm² předpřítlačí výztuž

$\rho_{p,eff} = (a_s) / A_{c,eff} = 0,02513$

$f_{ct,eff} = 2,9$ Mpa - trhliny jsou očekávány po 28 dnech $f_{ct,eff} = f_{cm}$

$\varepsilon_{sm} - \varepsilon_{cm} = 0,000721 \geq 0,6 \frac{\sigma_s}{E_s} = 0,0005923$

$\varepsilon_{sm} - \varepsilon_{cm} = 0,0007214$

Výpočet $s_{r,max}$

Případ $s < 5(c+\phi/2)$

$s_{r,max} = k_3 c + k_1 k_2 k_4 \phi / \rho_{p,eff} = 339,102$ mm

Případ $s > 5(c+\phi/2)$

$s_{r,max} = 1,3 \cdot (h-x) = 1161,27$ mm

$c =$	50	krytí podélné výztuže
$k_1 =$	0,8	pruty s velkou soudržností
$k_2 =$	0,5	pro ohyb
$k_3 =$	3,4	doporučená hodnota
$k_4 =$	0,425	doporučená hodnota
$\phi =$	25	profil prutů

Rozhodnutí podle kterého případu se bude počítat $s_{r,max}$

$5(c+\phi/2) = 312,5$ mm

vzdálenost výztuže 100,00 mm

Případ $s \leq 5(c+\phi/2)$

$s_{r,max} = 339,10$ mm

Kontrola trhlin

$w_k = s_{r,max} (\varepsilon_{sm} - \varepsilon_{cm}) \leq w_{max}$

$w_k = 0,2446$ mm $\leq w_{max} = 0,3$ mm

Šířka trhlin pro dané prostředí vyhovuje

Prvek Základový pas v místě nejnepriznivějšího prostupu

Posouzení obdélníku

Rozpětí stropní kce L = 6 m

Vstupní údaje

Stupeň vlivu prostředí XC4
Návrhová životnost 80 let
Požární odolnost REI
Materiály:

Zadání vnitřních sil

$m_{Ed} = 2197$ kNm
 $m_{Ed,q} = 1465,00$ $m_{Ed,ch} = 1570,00$ kNm
 $V_{Ed} = 1052$ kN

Zadání geometrie

h = 870 mm
b = 500 mm

Třída betonu :	C30/37	Výztuž :	B500B
$f_{ck} = 30$ Mpa $\alpha_{cc} = 1$ $\gamma_c = 1,50$ $f_{ctm} = 2,9$ Mpa $E_{cm} = 32,8$ Gpa $\epsilon_{cu3} = 3,5$ [%]	C30/37 v ČR se uvažuje hodnotou 1 součinitel spolehlivosti materiálu Mpa Gpa [%]	$f_{yk} = 500$ Mpa $\gamma_s = 1,15$ $E_s = 200,00$ Gpa $f_{yk} = \frac{f_{yk}}{\gamma_s} = 434,78$ Mpa $\epsilon_{yd} = \frac{f_{yd}}{E_s} = 2,17$ [%]	B500B součinitel spolehlivosti materiálu

Rovnoměrné rozdělení napětí betonu v tlaku po výšce λx

$$\eta = \frac{1}{0,8} \quad \xi_{bal,1} = \frac{\epsilon_{cu3}}{\epsilon_{cu3} + \epsilon_{cu3}} = 0,617$$

- bilineární pracovní diagram s vodorovnou horní větví bez omezeného přetvoření

Zadání plochy výztuže

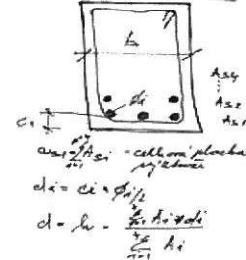
Vrstva
Profil ve vrstvě
Počet prutů
Krytí profilu
Plocha na 1 mb
Celková plocha
Teoretická osa plochy výztuže
Účinná výška průřezu
Vzdálenost mezi pruty
Min světlost mezi pruty

	37 mm	37 mm	37 mm	37 mm
i =	1	2	3	4
ϕ i =	25	25	0	0
ks =	10	6	0	0
ci =	9	100	0	0
ai =	4909	2945	0	0
$a_{s1} =$	7854 mm ²			
$d_1 =$	56 mm			
$d =$	814 mm			
s1 =	26 mm	30 mm		
$s \leq s_{s1,max}$	Error	Error		

min. vzdálenosti prutů
 $s_{min} = \max(k_1 \cdot \phi, d_g + k_2 \cdot 20mm)$

$k_1 = 1,2$
 $k_2 = 5$
 $d_g = 32$ mm

TRAM. OBDELNÍK



Posouzení

$$x = \frac{a_{s1} \cdot f_{yd}}{b \cdot \lambda \cdot \eta \cdot f_{cd}} = 426,8 \text{ mm}$$

$$\xi = \frac{x}{d} = 0,5241 < \xi_{bal,1} = 0,617$$

Vyhovuje

$$m_{Rd} = a_{s1} \cdot f_{yk} \cdot (d - 0,5 \cdot \lambda \cdot x) = 2197,87 \text{ kNm/m}$$

$$m_{Ed} = 2197 < m_{Rd} = 2197,87 \text{ kNm/m}$$

$m_{Ed} < m_{Rd}$ Vyhovuje

Kontrola vyztužení

$$a_{s,min} = \max \left\{ \frac{0,26 \cdot f_{ctm} \cdot b_t \cdot d}{f_{yk}}; 0,0013 \cdot b_t \cdot d \right\}$$

$$a_{s1} = 7854 > a_{s,min} = 613,3 \text{ mm}^2$$

$a_{s1} > a_{s,min}$ Vyhovuje

$$a_{s,min} \geq \frac{0,26 \cdot f_{ctm} \cdot b_t \cdot d}{f_{yk}} = 613,29 \text{ mm}^2$$

$$a_{s,min} \geq 0,0013 \cdot b_t \cdot d = 529,34 \text{ mm}^2$$

$$a_{s1} \leq 0,04 A_c = 34800 \text{ mm}^2 > a_{s1} = 7854 \text{ mm}^2$$

Vyhovuje

Smyk

$$\min(V_{Rd,max}) = v \cdot f_{cd} \cdot b_w \cdot z \cdot \left(\frac{\cot \Theta}{1 + \cot^2 \Theta} \right) = 1171,862 \text{ kN}$$

$\cot \Theta = 2,5$ - volíme

$$v = 0,6 \left[1 - \frac{f_{ck}}{250} \right] = 0,528$$

$$z = d - 0,5 \cdot \lambda \cdot x = 644 \text{ mm}$$

$|V_{Ed}| \leq \min(V_{Rd,max}) \rightarrow$ Lze navrhnout smykovou výztuž za předpokladu $\cot \Theta = 2,5$

Třmínky

n = 4 počet stříhů na třmínku
 ϕ i = 10 mm - profil třmínku
a = 200 mm - osová vzdálenost třmínků
 $A_{sw} = 314$ mm² - plocha třmínků
 $a \leq s_{min}$

Osová vzdálenost třmínků je OK

$$V_{rd,s} = \frac{A_{sw} \cdot f_{yd}}{s} \cdot z \cdot \cot \Theta = 1098,94 \text{ kN}$$

$$|V_{Ed}| = 1052 \text{ kN} \leq V_{rd,s} = 1098,94 \text{ kN}$$

Navrhnutý třmínek vyhovuje

Návrh konstrukční smykové výztuže

- vzdálenost třmínků
 $s \leq 0,75 \cdot d = 610,8$ mm
 $s \leq 400$ mm $s_{v,min} = 400$

- omezení stupně vyztužení

$$\rho_w = \frac{A_{sw}}{b_w \cdot s} \geq \rho_{w,min} = 0,08 \cdot \frac{\sqrt{f_{ck}}}{f_{yk}}$$

$$\rho_{w,min} = 0,08 \cdot \frac{\sqrt{f_{ck}}}{f_{yk}} = 0,00088$$

$$s_w = \frac{A_{sw}}{b_w \cdot \rho_{w,min}} = 716,97 \text{ mm}$$

$$s_{min} = \min(s_{v,min}, s_w) = 400,00 \text{ mm}$$

Prvek: Základový pas v místě nejnepriznivějšího prostupu

Posouzení obdélníku

Rozpětí stropní kce L = 6 m

Vstupní údaje

Stupeň vlivu prostředí: XC4
Návrhová životnost: 80 let
Požární odolnost: REI
Materiály:

Zadání vnitřních sil

$m_{Ed} = 2197$ kNm
 $m_{Ed,s} = 1465,00$ $m_{Ed,ch} = 1570,00$ kNm
 $V_{Ed} = 1052$ kN

Zadání geometrie

h = 870 mm
b = 500 mm

Třída betonu :	C30/37	Výztuž :	B500B
$f_{ck} = 30$ Mpa $\alpha_{cc} = 1$ $\gamma_c = 1,50$ $f_{ctm} = 2,9$ Mpa $E_{cm} = 32,8$ Gpa $\epsilon_{cu3} = 3,5$ [%]	C30/37 v ČR se uvažuje hodnotou 1 součinitel spolehlivosti materiálu Mpa Gpa [%]	$f_{yk} = 500$ Mpa $\gamma_s = 1,15$ součinitel spolehlivosti materiálu $E_s = 200,00$ Gpa $f_{sd} = \frac{f_{yk}}{\gamma_s} = 434,78$ Mpa $\epsilon_{sd} = \frac{f_{sd}}{E_s} = 2,17$ [%]	B500B

Rovnoměrné rozdělení napětí betonu v tlaku po výšce λx
 $\eta = 1$
 $\lambda = 0,8$
 $\xi_{bal,1} = \frac{\epsilon_{cu3}}{\epsilon_{cu3} + \epsilon_{cu3}} = 0,617$

- bilineární pracovní diagram s vodorovnou horní větví bez omezeného přetvoření

Zadání plochy výztuže

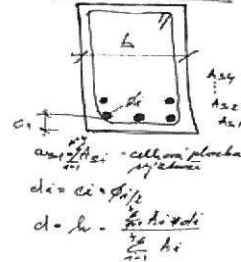
Vrstva
Profil ve vrstvě
Počet prutů
Krytí profilu
Plocha na 1 mb
Celková plocha
Teoretická osa plochy výztuže
Účinná výška průřezu
Vzdálenost mezi pruty
Min světlost mezi pruty

	37 mm	37 mm	37 mm	37 mm
i =	1	2	3	4
$\phi_i =$	25	25	0	0
ks =	10	6	0	0
ci =	9	100	0	0
ai =	4909	2945	0	0
$a_{s1} =$	7854 mm ²			
$d_1 =$	56 mm			
$d =$	814 mm			
s1 =	26 mm	30 mm		
$s \leq s_{s1,max}$	Error	Error		

min. vzdálenosti prutů
 $s_{min} = \max(k_1 \cdot \phi, d_g + k_2 \cdot 20mm)$
 $= s_{min} = 37$ mm

$k_1 = 1,2$
 $k_2 = 5$
 $d_g = 32$ mm

TRAM - OBDELNIK



Posouzení

$x = \frac{a_{s1} \cdot f_{yd}}{b \cdot \lambda \cdot \eta \cdot f_{cd}} = 426,8$ mm
 $\xi = \frac{x}{d} = 0,5241 < \xi_{bal,1} = 0,617$
Vyhovuje

$m_{Ed} = a_{s1} \cdot f_{yd} \cdot (d - 0,5 \cdot \lambda \cdot x) = 2197,87$ kNm/m
 $m_{Ed} = 2197 < m_{Ed} = 2197,87$ kNm/m
Vyhovuje

Kontrola vyztužení

$a_{s,min} = \max \left\{ \frac{0,26 \cdot f_{ctm} \cdot b_i \cdot d}{f_{yk}}; 0,0013 \cdot b_i \cdot d \right\}$
 $a_{s1} = 7854 > a_{s,min} = 613,3$ mm²
Vyhovuje
 $a_{s1} \leq 0,04 A_c = 34800$ mm² $> a_{s1} = 7854$ mm²
Vyhovuje

$a_{s,min} \geq \frac{0,26 \cdot f_{ctm} \cdot b_i \cdot d}{f_{yk}} = 613,29$ mm²
 $a_{s,min} \geq 0,0013 \cdot b_i \cdot d = 529,34$ mm²

Smyk

$\min(V'_{Rd,max}) = v \cdot f_{cd} \cdot b_w \cdot z \cdot \left(\frac{\cot \Theta}{1 + \cot^2 \Theta} \right) = 1171,862$ kN
 $\cot \Theta = 2,5 - volíme$
 $v = 0,6 \left[1 - \frac{f_{ck}}{250} \right] = 0,528$
 $z = d - 0,5 \cdot \lambda \cdot x = 644$ mm
 $|V'_{ed}| \leq \min(V'_{Rd,max}) \rightarrow$ **Lze navrhnout smykovou výztuž za předpokladu $\cot \Theta = 2,5$**

Třmínky

n = 4 počet stříhů na třmínku
 $\phi_i = 10$ mm - profil třmínku
a = 200 mm - osová vzdálenost třmínků
 $A_{sw} = 314$ mm² - plocha třmínků
 $a \leq s_{min}$

Osová vzdálenost třmínků je OK

$V'_{rd,s} = \frac{A_{sw} \cdot f_{yd}}{s} \cdot z \cdot \cot \Theta = 1098,94$ kN

Návrh konstrukční smykové výztuže

- vzdálenost třmínků
 $s \leq 0,75 \cdot d = 610,8$ mm
 $s \leq 400$ mm
 $s_{v,min} = 400$

- omezení stupně vyztužení
 $\rho_w = \frac{A_{sw}}{b_w \cdot s} \geq \rho_{w,min} = 0,08 \cdot \frac{\sqrt{f_{ck}}}{f_{yk}}$
 $\rho_{w,min} = 0,08 \cdot \frac{\sqrt{f_{ck}}}{f_{yk}} = 0,00088$

$|V'_{ed}| = 1052$ kN $\leq V'_{rd,s} = 1098,94$ kN

$s_w = \frac{A_{sw}}{b_w \cdot \rho_{w,min}} = 716,97$ mm
 $s_{min} = \min(s_{v,min}, s_w) = 400,00$ mm

Navrhnutý třmínek vyhovuje

Prvek Obvodový základový práh

Posouzení obdélníku

Rozpětí stropní kce L = 6 m

Vstupní údaje

Stupeň vlivu prostředí XC4
Návrhová životnost 80 let
Požární odolnost REI
Materiály:

Zadání vnitřních sil

$m_{Ed} = 473,21$ kNm
 $m_{Ed,q} = 321,00$ $m_{Ed,ch} = 341,40$ kNm
 $V_{Ed} = 519$ kN

Zadání geometrie

h = 1200 mm
b = 400 mm

Třída betonu :	C30/37	C30/37	Výztuž :	B500B	B500B
$f_{ck} = 30$ Mpa $\alpha_{cc} = 1$ $\gamma_c = 1,50$ $f_{ctm} = 2,9$ Mpa $E_{cm} = 32,8$ Gpa $\epsilon_{cu3} = 3,5$ [%]	v ČR se uvažuje hodnotou 1 součinitel spolehlivosti materiálu		$f_{yk} = 500$ Mpa $\gamma_s = 1,15$ $E_s = 200,00$ Gpa $f_{yk} = 434,78$ Mpa $\epsilon_{yd} = 2,17$ [%]	součinitel spolehlivosti materiálu	

Rovnoměrné rozdělení napětí betonu v tlaku ηf_{cd}
po výšce λx

$$\eta = \frac{1}{\lambda} = 0,8 \quad \xi_{bal,1} = \frac{\epsilon_{cu3}}{\epsilon_{cu3} + \epsilon_{cu3}} = 0,617$$

- bilineární pracovní diagram s vodorovnou horní větví bez omezeného přetvoření

Zadání plochy výztuže

Vrstva
Profil ve vrstvě
Počet prutů
Krytí profilu
Plocha na 1 mb
Celková plocha
Teoretická osa plochy výztuže
Účinná výška průřezu
Vzdálenost mezi pruty
Min světlost mezi pruty

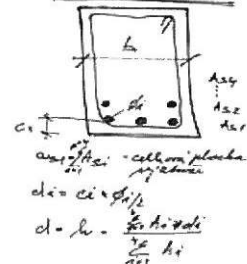
	37 mm	37 mm	37 mm	37 mm	
i =	1	2	3	4	
ϕ i =	16	16	0	0	mm
ks =	5	2	0	0	mm
ci =	50	100	0	0	mm
ai =	1005	402	0	0	mm ²
$a_{s1} =$	1407				mm ²
$d_1 =$	72				mm
$d =$	1128				mm
s1 =	55 mm	168 mm			
$s \leq s_{s1,max}$	Ok	Ok			

min. vzdálenosti prutů

$$s_{min} = \max(k_1 \cdot \phi \cdot d_g + k_2 \cdot 20mm) = s_{min}$$

$k_1 = 1,2$
 $k_2 = 5$
 $d_g = 32$ mm

TEAM - OSOVLIVK



Posouzení

$$x = \frac{a_{s1} \cdot f_{yd}}{b \cdot \lambda \cdot \eta \cdot f_{cd}} = 95,6 \text{ mm}$$

$$\xi = \frac{x}{d} = 0,0848 < \xi_{bal,1} = 0,617$$

Vyhovuje

$$m_{Rd} = a_{s1} \cdot f_{yk} \cdot (d - 0,5 \lambda x) = 666,68 \text{ kNm/m}$$

$$m_{Ed} = 473,21 < m_{Rd} = 666,68 \text{ kNm/m}$$

$m_{Ed} < m_{Rd}$ Vyhovuje

Kontrola vyztužení

$$a_{s,min} = \max \left\{ \frac{0,26 \cdot f_{ctm} \cdot b_t \cdot d}{f_{yk}}; 0,0013 \cdot b_t \cdot d \right\}$$

$$a_{s1} = 1407 > a_{s,min} = 679,4 \text{ mm}^2$$

$a_{s1} > a_{s,min}$ Vyhovuje

$$a_{s,min} \geq \frac{0,26 \cdot f_{ctm} \cdot b_t \cdot d}{f_{yk}} = 679,41 \text{ mm}^2$$

$$a_{s,min} \geq 0,0013 \cdot b_t \cdot d = 586,41 \text{ mm}^2$$

$$a_{s1} \leq 0,04 A_c = 48000 \text{ mm}^2 > a_{s1} = 1407 \text{ mm}^2$$

Vyhovuje

Smyk

$$\min(V_{Rd,max}) = v \cdot f_{cd} \cdot b_w \cdot z \cdot \left(\frac{\cot \Theta}{1 + \cot^2 \Theta} \right) = 1586,868 \text{ kN}$$

$\cot \Theta = 2,5$ - volíme

$$v = 0,6 \left[1 - \frac{f_{ck}}{250} \right] = 0,528$$

$$z = d - 0,5 \cdot \lambda \cdot x = 1089 \text{ mm}$$

$|V_{Ed}| \leq \min(V_{Rd,max}) \rightarrow$ Lze navrhnout smykovou výztuž za předpokladu $\cot \Theta = 2,5$

Tříminky

n = 2 počet stříhů na třímínku
 ϕ i = 8 mm - profil třímínku
a = 200 mm - osová vzdálenost třímínků
 $A_{sw} = 101$ mm² - plocha třímínků
 $a \leq s_{min}$

Osová vzdálenost třímínků je OK

$$V_{rd,s} = \frac{A_{sw} \cdot f_{yk}}{s} \cdot z \cdot \cot \Theta = 595,25 \text{ kN}$$

$$|V_{Ed}| = 519 \text{ kN} \leq V_{rd,s} = 595,25 \text{ kN}$$

Navrhnutý třímínok vyhovuje

Návrh konstrukční smykové výztuže

- vzdálenost třímínků
 $s \leq 0,75 \cdot d = 845,8$ mm
 $s \leq 400$ mm $s_{vr,min} = 400$

- omezení stupně vyztužení

$$\rho_w = \frac{A_{sw}}{b_w \cdot s} \geq \rho_{w,min} = 0,08 \cdot \frac{\sqrt{f_{ck}}}{f_{yk}}$$

$$\rho_{w,min} = 0,08 \cdot \frac{\sqrt{f_{ck}}}{f_{yk}} = 0,00088$$

$$s_w = \frac{A_{sw}}{b_w \cdot \rho_{w,min}} = 286,79 \text{ mm}$$

$$s_{min} = \min(s_{vr,min}, s_w) = 286,79 \text{ mm}$$

2) Kontrola trhlin

Výpočet hodnoty $\varepsilon_{sm} - \varepsilon_{cm}$

$$\varepsilon_{sm} - \varepsilon_{cm} = \frac{\sigma_s - k_t \cdot \frac{f_{ct,eff}}{\rho_{p,eff}} (1 + \alpha_c \cdot \rho_{p,eff})}{E_s} \geq 0,6 \frac{\sigma_s}{E_s}$$

Šířku trhlin posuzujeme při kvazistálé kombinaci zatížení napětí ve výztuži

$\sigma_s =$ napětí v tažené výztuži vypočtené na průřezu porušeném trhlinou $\sigma_s = \alpha_c \frac{m_{td,sg} \cdot (d - x_r)}{I_r}$
 $\sigma_s = 214,9 \text{ Mpa}$

$\alpha_c = E_s / E_{cm} = 6,091$ poměr modulu pružnosti výztuže a betonu

$\rho_{p,eff} = (a_s + \xi_1^2 \cdot A_p) / A_{c,eff}$ je účinný stupeň výztužení efektivní tažené oblasti betonu $A_{c,eff}$

$A_{c,eff} = b \cdot h_{c,ef} = 0,0723 \text{ m}^2$

$h_{c,ef} = \min\{ 2,5(h-d), (h-x)/3, h/2 \}; \min\{ 180,71 ; 333,51 ; 600 \} h_{c,ef} = 180,71 \text{ mm}$

Vliv doby trvání zatížení

- Krátkodobé zatížení, 0.6
 Dlouhodobé zatížení, 0.4

$k_t = 0,4$

$a_s = 1407 \text{ mm}^2$
 $a_r =$ předpokládaná výztuž

$\rho_{p,eff} = (a_s) / A_{c,eff} = 0,01947$

$f_{ct,eff} = 2,9 \text{ Mpa}$ - trhliny jsou očekávány po 28 dnech $f_{ct,eff} = f_{cm}$

$\varepsilon_{sm} - \varepsilon_{cm} = 0,000742 \geq 0,6 \frac{\sigma_s}{E_s} = 0,0006447$

$\varepsilon_{sm} - \varepsilon_{cm} = 0,0007418$

Výpočet $s_{r,max}$

Případ $s < 5(c+\phi/2)$

$s_{r,max} = k_3 c + k_1 k_2 k_4 \phi / \rho_{p,eff} = 394,699 \text{ mm}$

Případ $s > 5(c+\phi/2)$

$s_{r,max} = 1,3 \cdot (h - x) = 1435,70 \text{ mm}$

$c = 75$	krytí podélné výztuže
$k_1 = 0,8$	pruty s velkou soudržností
$k_2 = 0,5$	pro ohyb
$k_3 = 3,4$	doporučená hodnota
$k_4 = 0,425$	doporučená hodnota
$\phi = 16$	profil prutů

Rozhodnutí podle kterého případu se bude počítat $s_{r,max}$

$5(c+\phi/2) = 361,428571 \text{ mm}$

vzdálenost výztuže $55,00 \text{ mm}$

Případ $s < 5(c+\phi/2)$

$s_{r,max} = 394,70 \text{ mm}$

Kontrola trhlin

$W_k = s_{r,max} (\varepsilon_{sm} - \varepsilon_{cm}) \leq W_{max}$

$W_k = 0,2928 \text{ mm} \leq W_{max} = 0,3 \text{ mm}$

Šířka trhlin pro dané prostředí vyhovuje

Prvek Obvodový základový práh

Posouzení obdélníku

Rozpětí stropní kce L = 6 m

Vstupní údaje

Stupeň vlivu prostředí XC4
Návrhová životnost 80 let
Požární odolnost REI
Materiály:

Zadání vnitřních sil

$m_{Ed} = 252$ kNm
 $m_{Ed,q} = 163,00$ $m_{Ed,ch} = 179,00$ kNm
 $V_{Ed} = 450$ kN

Zadání geometrie

h = 1000 mm
b = 400 mm

Třída betonu :	C30/37	C30/37	Výztuž :	B500B	B500B
$f_{ck} = 30$ Mpa			$f_{yk} = 500$ Mpa		
$\alpha_{cc} = 1$		v ČR se uvažuje hodnotou 1	$\gamma_s = 1,15$		součinitel spolehlivosti materiálu
$\gamma_c = 1,50$		součinitel spolehlivosti materiálu	$E_s = 200,00$ Gpa		
$f_{ctm} = 2,9$ Mpa			$f_{sd} = \frac{f_{yk}}{\gamma_s} = 434,78$ Mpa		
$E_{cm} = 32,8$ Gpa			$\epsilon_{yd} = \frac{f_{sd}}{E_s} = 2,17$ [‰]		
$\epsilon_{cu3} = 3,5$ [‰]					

Rovnoměrné rozdělení napětí betonu v tlaku ηf_{cd}
po výšce λx
 $\eta = 1$
 $\lambda = 0,8$
 $\xi_{bal,1} = \frac{\epsilon_{cu3}}{\epsilon_{cu3} + \epsilon_{cu3}} = 0,617$

- bilineární pracovní diagram s vodorovnou horní větví bez omezeného přetvoření

Zadání plochy výztuže

Vrstva
Profil ve vrstvě
Počet prutů
Krytí profilu
Plocha na 1 mb
Celková plocha
Teoretická osa plochy výztuže
Účinná výška průřezu
Vzdálenost mezi pruty
Min světlost mezi pruty

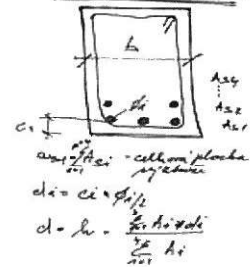
	37 mm	37 mm	37 mm	37 mm
i =	1	2	3	4
ϕ i =	16	0	0	0
ks =	4	0	0	0
ci =	60	0	0	0
ai =	804	0	0	0
	$a_{s1} = 804$ mm ²			
	$d_1 = 68$ mm			
	$d = 932$ mm			

min. vzdálenosti prutů

$s_{min} = \max(k_1 \cdot \phi_s + k_2, 20mm)$
 $= s_{min} = 37$ mm

$k_1 = 1,2$
 $k_2 = 5$
 $d_s = 32$ mm

TRAM - osvětlení



Posouzení

$x = \frac{a_{s1} \cdot f_{yd}}{b \cdot \lambda \cdot \eta \cdot f_{cd}} = 54,6$ mm
 $\xi = \frac{x}{d} = 0,0586 < \xi_{bal,1} = 0,617$
Vyhovuje

$m_{Rd} = a_{s1} \cdot f_{sd} \cdot (d - 0,5 \cdot \lambda \cdot x) = 318,25$ kNm/m
 $m_{Ed} = 252 < m_{Rd} = 318,25$ kNm/m
Vyhovuje

Kontrola vyztužení

$a_{s,min} = \max \left\{ \frac{0,26 \cdot f_{ctm} \cdot b_t \cdot d}{f_{yk}}, 0,0013 \cdot b_t \cdot d \right\}$
 $a_{s1} = 804 > a_{s,min} = 561,5$ mm²
Vyhovuje

$a_{s,min} \geq \frac{0,26 \cdot f_{ctm} \cdot b_t \cdot d}{f_{yk}} = 561,50$ mm²
 $a_{s,min} \geq 0,0013 \cdot b_t \cdot d = 484,64$ mm²

$a_{s1} \leq 0,04 A_c = 40000$ mm² $> a_{s1} = 804$ mm²
Vyhovuje

Smyk

$\min(V_{Rd,max}) = v \cdot f_{cd} \cdot b_w \cdot z \cdot \left(\frac{\cot \Theta}{1 + \cot^2 \Theta} \right) = 1325,674$ kN
 $\cot \Theta = 2,5 - volíme$

$v = 0,6 \left[1 - \frac{f_{ck}}{250} \right] = 0,528$
 $z = d - 0,5 \cdot \lambda \cdot x = 910$ mm

$|V_{Ed}| \leq \min(V_{Rd,max}) \rightarrow$ **Lze navrhnout smykovou výztuž za předpokladu $\cot \Theta = 2,5$**

Třmínky

n = 2 počet stříhů na třmínku
 ϕ i = 8 mm - profil třmínku
a = 250 mm - osová vzdálenost třmínků
 $A_{sv} = 101$ mm² - plocha třmínků
 $a \leq s_{min}$

Osová vzdálenost třmínků je OK

$V_{rd,s} = \frac{A_{sv} \cdot f_{yd}}{s} \cdot z \cdot \cot \Theta = 397,82$ kN

Návrh konstrukční smykové výztuže

- vzdálenost třmínků
 $s \leq 0,75 \cdot d = 699,0$ mm
 $s \leq 400$ mm $s_{sv,min} = 400$

- omezení stupně vyztužení
 $\rho_w = \frac{A_{sv}}{b_w \cdot s} \geq \rho_{w,min} = 0,08 \cdot \frac{\sqrt{f_{ck}}}{f_{yk}}$
 $\rho_{w,min} = 0,08 \cdot \frac{\sqrt{f_{ck}}}{f_{yk}} = 0,00088$

$s_w = \frac{A_{sv}}{b_w \cdot \rho_{w,min}} = 286,79$ mm

$s_{min} = \min(s_{sv,min}, s_w) = 286,79$ mm

$|V_{Ed}| = 450$ kN $\leq V_{rd,s} = 397,82$ kN

Třmínek nevyhovuje

2) Kontrola trhlin

Výpočet hodnoty $\frac{\varepsilon_{sm} - \varepsilon_{cm}}{E_s} = \frac{\sigma_s - k_t \cdot \frac{f_{ct,eff}}{\rho_{p,eff}} (1 + \alpha_c \cdot \rho_{p,eff})}{E_s} \geq 0,6 \frac{\sigma_s}{E_s}$

Šířku trhlin posuzujeme při kvazistálé kombinaci zatížení napětí ve výztuži

$\sigma_s =$ napětí v tažené výztuži vypočtené na průřezu porušeném trhlinou $\sigma_s = \alpha_c \frac{m_{td,y} \cdot (d - x_r)}{I_r}$
 $\sigma_s = 228,9 \text{ Mpa}$

$\alpha_c = E_s / E_{cm} = 6,091$ poměr modulu pružnosti výztuže a betonu

$\rho_{p,eff} = (a_s + \xi_1^2 \cdot A_p) / A_{c,eff}$ je účinný stupeň vyztužení efektivní tažené oblasti betonu $A_{c,eff}$

$A_{c,eff} = b \cdot h_{c,ef} = 0,0680 \text{ m}^2$

$h_{c,ef} = \min\{ 2,5(h - d), (h - x) / 3, h / 2; \min\{ 170,00 ; 286,89 ; 500 \} \} h_{c,ef} = 170,00 \text{ mm}$

Vliv doby trvání zatížení

- Krátkodobé zatížení, 0.6
 Dlouhodobé zatížení, 0.4

$k_t = 0,4$

$a_s = 804 \text{ mm}^2$
 $a_r =$ předpoklad výztuže

$\rho_{p,eff} = (a_s) / A_{c,eff} = 0,01183$

$f_{ct,eff} = 2,9 \text{ Mpa}$ - trhliny jsou očekávány po 28 dnech $f_{ct,eff} = f_{ctm}$

$\varepsilon_{sm} - \varepsilon_{cm} = 0,000619 \geq 0,6 \frac{\sigma_s}{E_s} = 0,0006866$

$\varepsilon_{sm} - \varepsilon_{cm} = 0,0006866$

Výpočet $s_{r,max}$

Případ $s < 5(c + \phi/2)$

$s_{r,max} = k_3 c + k_1 k_2 k_4 \phi / \rho_{p,eff} = 433,979 \text{ mm}$

Případ $s > 5(c + \phi/2)$

$s_{r,max} = 1,3 \cdot (h - x) = 1228,97 \text{ mm}$

$c =$	60	krytí podélné výztuže
$k_1 =$	0,8	pruty s velkou soudružností
$k_2 =$	0,5	pro ohyb
$k_3 =$	3,4	doporučená hodnota
$k_4 =$	0,425	doporučená hodnota
$\phi =$	16	profil prutů

Rozhodnutí podle kterého případu se bude počítat $s_{r,max}$

$5(c + \phi/2) = 340 \text{ mm}$

vzdálenost výztuže $72,00 \text{ mm}$

Případ $s \leq 5(c + \phi/2)$

$s_{r,max} = 433,98 \text{ mm}$

Kontrola trhlin

$w_k = s_{r,max} (\varepsilon_{sm} - \varepsilon_{cm}) \leq w_{max}$

$w_k = 0,2980 \text{ mm} \leq w_{max} = 0,3 \text{ mm}$

Šířka trhlin pro dané prostředí vyhovuje

Prvek: Obvodový základový práh

Posouzení obdélníku

Rozpětí stropní kce L = 6 m

Vstupní údaje

Stupeň vlivu prostředí: XC4
Návrhová životnost: 80 let
Požární odolnost: REI
Materiály:

Zadání vnitřních sil

$m_{Ed} = 252$ kNm
 $m_{Ed,q} = 163,00$ kNm
 $m_{Ed,ch} = 179,00$ kNm
 $V_{Ed} = 450$ kN

Zadání geometrie

h = 1200 mm
b = 400 mm

Třída betonu:	C30/37	Výztuž:	B500B
$f_{ck} = 30$ Mpa		$f_{yk} = 500$ Mpa	
$\alpha_{cc} = 1$	v ČR se uvažuje hodnotou 1	$\gamma_s = 1,15$	součinitel spolehlivosti materiálu
$\gamma_c = 1,50$	součinitel spolehlivosti materiálu	$E_s = 200,00$ Gpa	
$f_{ctm} = 2,9$ Mpa		$f_{sd} = \frac{f_{yk}}{\gamma_s} = 434,78$ Mpa	
$E_{cm} = 32,8$ Gpa		$\epsilon_{yd} = \frac{f_{sd}}{E_s} = 2,17$ [%]	
$\epsilon_{cu3} = 3,5$ [%]			

Rovnoměrné rozdělení napětí betonu v tlaku ηf_{cd}
po výšce λx
 $\eta = 1$
 $\lambda = 0,8$
 $\xi_{bal,1} = \frac{\epsilon_{cu3}}{\epsilon_{cu3} + \epsilon_{cu3}} = 0,617$

- bilineární pracovní diagram s vodorovnou horní větví bez omezeného přetvoření

Zadání plochy výztuže

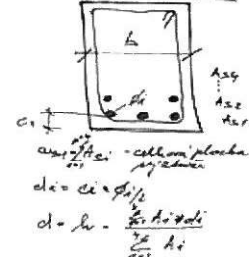
Vrstva
Profil ve vrstvě
Počet prutů
Krytí profilu
Plocha na 1 mb
Celková plocha
Teoretická osa plochy výztuže
Účinná výška průřezu
Vzdálenost mezi pruty
Min světlost mezi pruty

	37 mm	37 mm	37 mm	37 mm
i =	1	2	3	4
ϕ_i =	16	0	0	0
ks =	4	0	0	0
ci =	60	0	0	0
ai =	804	0	0	0
	$a_{s1} = 804$			
	$d_1 = 68$			
	$d = 1132$			

min. vzdálenosti prutů
 $s_{min} = \max(k_1 \cdot \phi, d_g + k_2 \cdot 20mm)$
 $= s_{min} = 37$ mm

$k_1 = 1,2$
 $k_2 = 5$
 $d_g = 32$ mm

TRAM - OSOVLIVK



Posouzení

$x = \frac{a_{s1} \cdot f_{yd}}{b \cdot \lambda \cdot \eta \cdot f_{cd}} = 54,6$ mm
 $\xi = \frac{x}{d} = 0,0483 < \xi_{bal,1} = 0,617$
Vyhovuje

$m_{Rd} = a_{s1} \cdot f_{yd} \cdot (d - 0,5 \lambda x) = 388,19$ kNm/m
 $m_{Ed} = 252 < m_{Rd} = 388,19$ kNm/m
Vyhovuje

Kontrola vyztužení

$a_{s,min} = \max \left\{ \frac{0,26 \cdot f_{ctm} \cdot b_t \cdot d}{f_{yk}}; 0,0013 \cdot b_t \cdot d \right\}$
 $a_{s1} = 804 > a_{s,min} = 682,0$ mm²
Vyhovuje
 $a_{s1} \leq 0,04 A_c = 48000$ mm² $> a_{s1} = 804$ mm²
Vyhovuje

$a_{s,min} \geq \frac{0,26 \cdot f_{ctm} \cdot b_t \cdot d}{f_{yk}} = 681,99$ mm²
 $a_{s,min} \geq 0,0013 \cdot b_t \cdot d = 588,64$ mm²

Smyk

$\min(V_{Rd,max}) = v \cdot f_{cd} \cdot b_w \cdot z \cdot \left(\frac{\cot \Theta}{1 + \cot^2 \Theta} \right) = 1616,984$ kN
 $v = 0,6 \left[1 - \frac{f_{ck}}{250} \right] = 0,528$
 $z = d - 0,5 \cdot \lambda \cdot x = 1110$ mm
 $|V_{Ed}| \leq \min(V_{Rd,max}) \rightarrow$ **Lze navrhnout smykovou výztuž za předpokladu cot0=2,5**

Třmínky

n = 2 počet stříhů na třmínku
 $\phi_i = 8$ mm - profil třmínku
a = 250 mm - osová vzdálenost třmínků
 $A_{sw} = 101$ mm² - plocha třmínků
 $a \leq s_{min}$

Osová vzdálenost třmínků je OK

$V_{rd,s} = \frac{A_{sw} \cdot f_{yd}}{s} \cdot z \cdot \cot \Theta = 485,23$ kN

$|V_{Ed}| = 450$ kN $\leq V_{rd,s} = 485,23$ kN

Navrhnutý třmínek vyhovuje

Návrh konstrukční smykové výztuže

- vzdálenost třmínků
 $s \leq 0,75 \cdot d = 849,0$ mm
 $s \leq 400$ mm
 $s_{w,min} = 400$

- omezení stupně vyztužení
 $\rho_w = \frac{A_{sw}}{b_w \cdot s} \geq \rho_{w,min} = 0,08 \cdot \frac{\sqrt{f_{ck}}}{f_{yk}}$
 $\rho_{w,min} = 0,08 \cdot \frac{\sqrt{f_{ck}}}{f_{yk}} = 0,00088$

$s_w = \frac{A_{sw}}{b_w \cdot \rho_{w,min}} = 286,79$ mm
 $s_{min} = \min(s_{w,min}, s_w) = 286,79$ mm

120

2) Kontrola trhlin

Výpočet hodnoty $\varepsilon_{sm} - \varepsilon_{cm}$

$$\varepsilon_{sm} - \varepsilon_{cm} = \frac{\sigma_s - k_t \cdot \frac{f_{ct,eff}}{\rho_{p,eff}} (1 + \alpha_c \cdot \rho_{p,eff})}{E_s} \geq 0,6 \frac{\sigma_s}{E_s}$$

Šířku trhlin posuzujeme při kvazistálé kombinaci zatížení napětí ve výztuži

$\sigma_s =$ napětí v tažené výztuži vypočtené na průřezu porušeném trhlinou $\sigma_s = \alpha_c \frac{m_{td,sg} \cdot (d - x_r)}{I_r}$
 $\sigma_s = 187,6$ Mpa

$\alpha_c = E_s / E_{cm} = 6,091$ poměr modulu pružnosti výztuže a betonu
 $\rho_{p,eff} = (a_s + \xi_1^2 \cdot A_p) / A_{c,eff}$ je účinný stupeň vyztužení efektivní tažené oblasti betonu $A_{c,eff}$

$A_{c,eff} = b \cdot h_{c,ef} = 0,0680$ m²

$h_{c,ef} = \min\{ 2,5(h - d), (h - x) / 3, h / 2; \min\{ 170,00 ; 348,43 ; 600 \} \}$ $h_{c,ef} = 170,00$ mm

Vliv doby trvání zatížení

- Krátkodobé zatížení, 0.6
 Dlouhodobé zatížení, 0.4

$k_t = 0,4$

$a_s = 804$ mm²
 $a_r =$ předpřítlačení výztuží

$\rho_{p,eff} = (a_s) / A_{c,eff} = 0,01183$

$f_{ct,eff} = 2,9$ Mpa - trhliny jsou očekávány po 28 dnech $f_{ct,eff} = f_{cm}$

$\varepsilon_{sm} - \varepsilon_{cm} = 0,000413 \geq 0,6 \frac{\sigma_s}{E_s} = 0,0005628$

$\varepsilon_{sm} - \varepsilon_{cm} = 0,0005628$

Výpočet $s_{r,max}$

Případ $s < 5(c + \phi/2)$

$s_{r,max} = k_3 c + k_1 k_2 k_4 \phi / \rho_{p,eff} = 433,979$ mm

Případ $s > 5(c + \phi/2)$

$s_{r,max} = 1,3 \cdot (h - x) = 1488,97$ mm

$c =$	60	krytí podélné výztuže
$k_1 =$	0,8	pruty s velkou soudržností
$k_2 =$	0,5	pro ohyb
$k_3 =$	3,4	doporučená hodnota
$k_4 =$	0,425	doporučená hodnota
$\phi =$	16	profil prutů

Rozhodnutí podle kterého případu se bude počítat $s_{r,max}$

$5(c + \phi/2) = 340$ mm

vzdálenost výztuže $72,00$ mm

Případ $s < 5(c + \phi/2)$

$s_{r,max} = 433,98$ mm

Kontrola trhlin

$w_k = s_{r,max} (\varepsilon_{sm} - \varepsilon_{cm}) \leq w_{max}$

$w_k = 0,2442$ mm $\leq w_{max} = 0,3$ mm

Šířka trhlin pro dané prostředí vyhovuje

Prvek Obvodový základový práh-krček

Posouzení obdélníku

Rozpětí stropní kce L = 6 m

Vstupní údaje

Stupeň vlivu prostředí XC4
Návrhová životnost 80 let
Požární odolnost REI
Materiály:

Zadání vnitřních sil

$m_{Ed} = 445,9$ kNm
 $m_{Ed,q} = 293,00$ $m_{Ed,ch} = 319,00$ kNm
 $V_{Ed} = 260$ kN

Zadání geometrie

h = 1200 mm
b = 500 mm

Třída betonu :	C30/37	Výztuž :	B500B
$f_{ck} = 30$ Mpa $\alpha_{cc} = 1$ $\gamma_c = 1,50$ $f_{ctm} = 2,9$ Mpa $E_{cm} = 32,8$ Gpa $\epsilon_{cu3} = 3,5$ [‰]	C30/37 v ČR se uvažuje hodnotou 1 součinitel spolehlivosti materiálu 20,00 Mpa 2,9 Mpa 32,8 Gpa 3,5 [‰]	$f_{yk} = 500$ Mpa $\gamma_s = 1,15$ $E_s = 200,00$ Gpa $f_{yd} = \frac{f_{yk}}{\gamma_s} = 434,78$ Mpa $\epsilon_{sd} = \frac{f_{yd}}{E_s} = 2,17$ [‰]	B500B součinitel spolehlivosti materiálu

Rovnoměrné rozdělení napětí betonu v tlaku ηf_{cd}

po výšce λx
 $\eta = 1$
 $\lambda = 0,8$
 $\xi_{bal,1} = \frac{\epsilon_{cu3}}{\epsilon_{cu3} + \epsilon_{cu3}} = 0,617$

- bilineární pracovní diagram s vodorovnou horní větví bez omezeného přetvoření

Zadání plochy výztuže

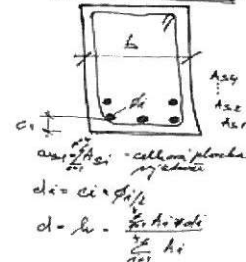
Vrstva
Profil ve vrstvě
Počet prutů
Krytí profilu
Plocha na 1 m b
Celková plocha
Teoretická osa plochy výztuže
Účinná výška průřezu
Vzdálenost mezi pruty
Min světlost mezi pruty

	37 mm	37 mm	37 mm	37 mm	
i =	1	2	3	4	
ϕ_i =	18	18	0	0	mm
ks =	4	2	0	0	mm
ci =	50	100	0	0	mm
ai =	1018	509	0	0	mm ²
$a_{s1} =$	1527				mm ²
$d_1 =$	76				mm
$d =$	1124				mm
s1 =	109 mm	264 mm			
$s \leq s_{s1,max}$	Ok	Ok			

min. vzdálenosti prutů
 $s_{min} = \max(k_1 \cdot \phi, d_g + k_2 \cdot 20mm)$
 $= s_{min} = 37$ mm

$k_1 = 1,2$
 $k_2 = 5$
 $d_g = 32$ mm

TRAM - OBDELNIK



Posouzení

$x = \frac{a_{s1} \cdot f_{yd}}{b \cdot \lambda \cdot \eta \cdot f_{cd}} = 83,0$ mm
 $\xi = \frac{x}{d} = 0,0738 < \xi_{bal,1} = 0,617$
Vyhovuje

$m_{Rd} = a_{s1} \cdot f_{yd} \cdot (d - 0,5 \lambda x) = 724,33$ kNm/m
 $m_{Ed} = 445,9 < m_{Rd} = 724,33$ kNm/m
Vyhovuje

Kontrola vyztužení

$a_{s,min} = \max \left\{ \frac{0,26 \cdot f_{ctm} \cdot b_t \cdot d}{f_{yk}}; 0,0013 \cdot b_t \cdot d \right\}$
 $a_{s1} = 1527 > a_{s,min} = 846,7$ mm²
Vyhovuje
 $a_{s1} \leq 0,04 A_c = 48000$ mm² $> a_{s1} = 1527$ mm²
Vyhovuje

$a_{s,min} \geq \frac{0,26 \cdot f_{ctm} \cdot b_t \cdot d}{f_{yk}} = 846,71$ mm²
 $a_{s,min} \geq 0,0013 \cdot b_t \cdot d = 730,82$ mm²

Smyk

$\min(V_{Rd,max}) = v \cdot f_{cd} \cdot b_w \cdot z \cdot \left(\frac{\cot \Theta}{1 + \cot^2 \Theta} \right) = 1986,63$ kN
 $\cot \Theta = 2,5 - volime$

$v = 0,6 \left[1 - \frac{f_{ck}}{250} \right] = 0,528$
 $z = d - 0,5 \cdot \lambda \cdot x = 1091$ mm

$|V_{ed}| \leq \min(V_{Rd,max}) \rightarrow$ **Lze navrhnout smykovou výztuž za předpokladu $\cot \Theta = 2,5$**

Třmínky

n = 2 počet stříhů na třmínku
 $\phi_i = 10$ mm - profil třmínku
a = 200 mm - osová vzdálenost třmínků
 $A_{sw} = 157$ mm² - plocha třmínků
 $a \leq s_{min}$

Osová vzdálenost třmínků je OK

$V_{rd,s} = \frac{A_{sw} \cdot f_{yd}}{s} \cdot z \cdot \cot \Theta = 931,5$ kN

$|V_{ed}| = 260$ kN $\leq V_{rd,s} = 931,5$ kN

Navrnutý třmínek vyhovuje

Návrh konstrukční smykové výztuže

- vzdálenost třmínků
 $s \leq 0,75 \cdot d = 843,3$ mm
 $s \leq 400$ mm $s_{v,min} = 400$

- omezení stupně vyztužení
 $\rho_w = \frac{A_{sw}}{b_w \cdot s} \geq \rho_{w,min} = 0,08 \cdot \frac{\sqrt{f_{ck}}}{f_{yk}}$
 $\rho_{w,min} = 0,08 \cdot \frac{\sqrt{f_{ck}}}{f_{yk}} = 0,00088$

$s_w = \frac{A_{sw}}{b_w \cdot \rho_{w,min}} = 358,48$ mm
 $s_{min} = \min(s_{v,min}, s_w) = 358,48$ mm

2) Kontrola trhlin

Výpočet hodnoty $\varepsilon_{sm} - \varepsilon_{cm}$

$$\varepsilon_{sm} - \varepsilon_{cm} = \frac{\sigma_s - k_1 \cdot \frac{f_{ct,eff}}{\rho_{p,eff}} (1 + \alpha_c \cdot \rho_{p,eff})}{E_s} \geq 0,6 \frac{\sigma_s}{E_s}$$

Šířku trhlin posuzujeme při kvazistálé kombinaci zatížení napětí ve výztuži

$\sigma_s =$ napětí v tažené výztuži vypočtené na průřezu porušeném trhlinou $\sigma_s = \alpha_c \frac{m_{Ed,eq} \cdot (d - x_r)}{I_r}$
 $\sigma_s = 180,7$ Mpa
 $\alpha_c = E_s / E_{cm} = 6,091$ poměr modulu pružnosti výztuže a betonu
 $\rho_{p,eff} = (a_s + \xi_1^2 \cdot A_p) / A_{c,eff}$ je účinný stupeň vyztužení efektivní tažené oblasti betonu $A_{c,eff}$
 $A_{c,eff} = b \cdot h_{c,eff} = 0,0946$ m²

$h_{c,eff} = \min\{ 2,5(h - d), (h - x) / 3, h / 2; \min\{ 189,17 ; 337,75 ; 600 \} h_{c,eff} = 189,17$ mm

Vliv doby trvání zatížení

- Krátkodobé zatížení, 0.6
 Dlouhodobé zatížení, 0.4

$k_1 = 0,4$

$a_s = 1527$ mm²
 $a_r =$ průměrná výztuž

$\rho_{p,eff} = (a_s) / A_{c,eff} = 0,01614$

$f_{ct,eff} = 2,9$ Mpa - trhliny jsou očekávány po 28 dnech $f_{ct,eff} = f_{cm}$

$\varepsilon_{sm} - \varepsilon_{cm} = 0,000509 \geq 0,6 \frac{\sigma_s}{E_s} = 0,0005421$

$\varepsilon_{sm} - \varepsilon_{cm} = 0,0005421$

Výpočet $s_{r,max}$

Případ $s \leq 5(c + \phi/2)$

$s_{r,max} = k_3 c + k_1 k_2 k_4 \phi / \rho_{p,eff} = 444,561$ mm

Případ $s > 5(c + \phi/2)$

$s_{r,max} = 1,3 \cdot (h - x) = 1452,13$ mm

$c = 75$	krytí podélné výztuže
$k_1 = 0,8$	pruty s velkou soudružností
$k_2 = 0,5$	pro ohyb
$k_3 = 3,4$	doporučená hodnota
$k_4 = 0,425$	doporučená hodnota
$\phi = 18$	profil prutů

Rozhodnutí podle kterého případu se bude počítat $s_{r,max}$

$5(c + \phi/2) = 378,333333$ mm

vzdálenost výztuže 109,33 mm

Případ $s \leq 5(c + \phi/2)$

$s_{r,max} = 444,56$ mm

Kontrola trhlin

$w_k = s_{r,max} (\varepsilon_{sm} - \varepsilon_{cm}) \leq w_{max}$

$w_k = 0,2410$ mm $\leq w_{max} = 0,3$ mm

Šířka trhlin pro dané prostředí vyhovuje

Prvek Základový pas-horní výztuž

Posouzení obdélníku

Rozpětí stropní kce L = 6 m

Vstupní údaje

Stupeň vlivu prostředí XC4
Návrhová životnost 80 let
Požární odolnost REI
Materiály:

Zadání vnitřních sil

$m_{Ed} = 379$ kNm
 $m_{Ed,q} = 253,00$ $m_{Ed,ch} = 274,00$ kNm
 $V_{Ed} = 1052$ kN

Zadání geometrie

h = 1200 mm
b = 500 mm

Třída betonu :	C30/37	C30/37	Výztuž :	10 505 R	10 505 R
$f_{ck} = 30$ Mpa $\alpha_{cc} = 1$ $\gamma_c = 1,50$ $f_{ctm} = 2,9$ Mpa $E_{cm} = 32,8$ Gpa $\epsilon_{cu3} = 3,5$ [‰]	v ČR se uvažuje hodnotou 1 součinitel spolehlivosti materiálu		$f_{yk} = 500$ Mpa $\gamma_s = 1,15$ součinitel spolehlivosti materiálu $E_s = 200,00$ Gpa $f_{sd} = \frac{f_{yk}}{\gamma_s} = 434,78$ Mpa $\epsilon_{sd} = \frac{f_{sd}}{E_s} = 2,17$ [‰]		

Rovnoměrné rozdělení napětí betonu v tlaku ηf_{cd}
po výšce λx
 $\eta = 1$
 $\lambda = 0,8$
 $\xi_{bal,1} = \frac{\epsilon_{cu3}}{\epsilon_{cu3} + \epsilon_{cu3}} = 0,617$

- bilineární pracovní diagram s vodorovnou horní větví bez omezeného přetvoření

Zadání plochy výztuže

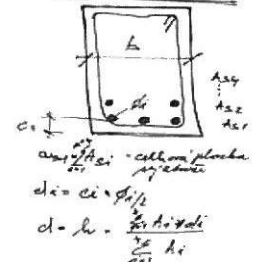
Vrstva
Profil ve vrstvě
Počet prutů
Krytí profilu
Plocha na 1 mb
Celková plocha
Teoretická osa plochy výztuže
Účinná výška průřezu
Vzdálenost mezi pruty
Min světlost mezi pruty

	37 mm	37 mm	37 mm	37 mm	
i =	1	2	3	4	
$\phi_i =$	18	0	0	0	mm
ks =	4	0	0	0	mm
ci =	50	0	0	0	mm
ai =	1018	0	0	0	mm ²
	$a_{s1} = 1018$				mm ²
	$d_1 = 59$				mm
	$d = 1141$				mm

min. vzdálenosti prutů
 $s_{min} = \max(k_1 \cdot \phi, d_g + k_2, 20mm)$

$s_{min} = 37$ mm
 $k_1 = 1,2$
 $k_2 = 5$
 $d_g = 32$ mm

TRAM - osvětlení



Posouzení

$x = \frac{a_{s1} \cdot f_{yd}}{b \cdot \lambda \cdot \eta \cdot f_{cd}} = 55,3$ mm
 $\xi = \frac{x}{d} = 0,0485 < \xi_{bal,1} = 0,617$
Vyhovuje

$m_{Rd} = a_{s1} \cdot f_{yd} \cdot (d - 0,5 \lambda x) = 495,16$ kNm/m
 $m_{Ed} = 379 < m_{Rd} = 495,16$ kNm/m
Vyhovuje

Kontrola vyztužení

$a_{s,min} = \max \left\{ \frac{0,26 \cdot f_{ctm} \cdot b_t \cdot d}{f_{yk}}; 0,0013 \cdot b_t \cdot d \right\}$
 $a_{s1} = 1018 > a_{s,min} = 859,3$ mm²
Vyhovuje

$a_{s,min} \geq \frac{0,26 \cdot f_{ctm} \cdot b_t \cdot d}{f_{yk}} = 859,27$ mm²
 $a_{s,min} \geq 0,0013 \cdot b_t \cdot d = 741,65$ mm²

$a_{s1} \leq 0,04 A_c = 48000$ mm² $> a_{s1} = 1018$ mm²
Vyhovuje

Smyk

$\min(V_{Rd,max}) = v \cdot f_{cd} \cdot b_w \cdot z \cdot \left(\frac{\cot \Theta}{1 + \cot^2 \Theta} \right) = 2037,119$ kN
 $\cot \Theta = 2,5$ - volíme

$v = 0,6 \left[1 - \frac{f_{ck}}{250} \right] = 0,528$
 $z = d - 0,5 \cdot \lambda \cdot x = 1119$ mm

$|V_{Ed}| \leq \min(V_{Rd,max}) \rightarrow$ Lze navrhnout smykovou výztuž za předpokladu $\cot \Theta = 2,5$

Třmínky

n = 4 počet stříhů na třmínku
 $\phi_i = 10$ mm - profil třmínku
a = 250 mm - osová vzdálenost třmínků
 $A_{sw} = 314$ mm² - plocha třmínků
 $a \leq s_{min}$

Osová vzdálenost třmínků je OK

$V_{Rd,s} = \frac{A_{sw} \cdot f_{yd}}{s} \cdot z \cdot \cot \Theta = 1528,28$ kN

$|V_{Ed}| = 1052$ kN $\leq V_{Rd,s} = 1528,28$ kN

Navrnutý třmínek vyhovuje

Návrh konstrukční smykové výztuže

- vzdálenost třmínků
 $s \leq 0,75 \cdot d = 855,8$ mm
 $s \leq 400$ mm $s_{v7,min} = 400$

- omezení stupně vyztužení
 $\rho_w = \frac{A_{sw}}{b_w \cdot s} \geq \rho_{w,min} = 0,08 \cdot \frac{\sqrt{f_{ck}}}{f_{yk}}$
 $\rho_{w,min} = 0,08 \cdot \frac{\sqrt{f_{ck}}}{f_{yk}} = 0,00088$

$s_w = \frac{A_{sw}}{b_w \cdot \rho_{w,min}} = 716,97$ mm

$s_{min} = \min(s_{v7,min}, s_w) = 400,00$ mm

2) Kontrola trhlin

Výpočet hodnoty $\varepsilon_{sm} - \varepsilon_{cm}$

$$\varepsilon_{sm} - \varepsilon_{cm} = \frac{\sigma_s - k_t \cdot \frac{f_{ct,eff}}{\rho_{p,eff}} (1 + \alpha_e \cdot \rho_{p,eff})}{E_s} \geq 0,6 \frac{\sigma_s}{E_s}$$

Šířku trhlin posuzujeme při kvazistálé kombinaci zatížení napětí ve výztuži

$\sigma_s =$ napětí v tažené výztuži vypočtené na průřezu porušeném trhlinou $\sigma_s = \alpha_e \frac{m_{t,d,eq} \cdot (d - x_r)}{I_r}$

$\sigma_s = 228,3$ Mpa

$\alpha_e = E_s / E_{cm} = 6,091$ poměr modulu pružnosti výztuže a betonu

$\rho_{p,eff} = (a_s + \xi_1^2 \cdot A_p) / A_{c,eff}$ je účinný stupeň vyztužení efektivní tažené oblasti betonu $A_{c,eff}$

$A_{c,eff} = b \cdot h_{c,eff} = 0,0738$ m²

$h_{c,eff} = \min\{ 2,5(h - d), (h - x) / 3, h / 2; \min\{ 147,50 ; 347,91 ; 600 \} \}$ $h_{c,eff} = 147,50$ mm

Vliv doby trvání zatížení

- Krátkodobé zatížení, 0.6
- Dlouhodobé zatížení, 0.4

$k_t = 0,4$

$a_s = 1018$ mm² předpínací výztuž

$\rho_{p,eff} = (a_s) / A_{c,eff} = 0,01380$

$f_{ct,eff} = 2,9$ Mpa - trhliny jsou očekávány po 28 dnech $f_{ct,eff} = f_{ctm}$

$\varepsilon_{sm} - \varepsilon_{cm} = 0,000686 \geq 0,6 \frac{\sigma_s}{E_s} = 0,0006848$

$\varepsilon_{sm} - \varepsilon_{cm} = 0,0006863$

Výpočet $s_{r,max}$

Případ $s \leq 5(c + \phi/2)$

$s_{r,max} = k_3 c + k_1 k_2 k_4 \phi / \rho_{p,eff} = 391,712$ mm

Případ $s > 5(c + \phi/2)$

$s_{r,max} = 1,3 \cdot (h - x) = 1488,08$ mm

$c = 50$	krytí podélné výztuže
$k_1 = 0,8$	pruty s velkou soudružností
$k_2 = 0,5$	pro ohyb
$k_3 = 3,4$	doporučená hodnota
$k_4 = 0,425$	doporučená hodnota
$\phi = 18$	profil prutů

Rozhodnutí podle kterého případu se bude počítat $s_{r,max}$

$5(c + \phi/2) = 295$ mm

vzdálenost výztuže $109,33$ mm

Případ $s \leq 5(c + \phi/2)$

$s_{r,max} = 391,71$ mm

Kontrola trhlin

$w_k = s_{r,max} (\varepsilon_{sm} - \varepsilon_{cm}) \leq w_{max}$

$w_k = 0,2688$ mm $\leq w_{max} = 0,3$ mm

Šířka trhlin pro dané prostředí vyhovuje

125

Prvek Průvlak 350/500-spodní výtěž

Posouzení obdélníku

Rozpětí stropní kce L = 6 m

Vstupní údaje

Stupeň vlivu prostředí

XC1

Návrhová životnost

50 let

Požární odolnost

REI

Materiály:

Zadání vnitřních sil

$m_{Ed} = 143$ kNm
 $m_{Ed,q} = 93,36$ $m_{Ed,ch} = 102,25$ kNm
 $V_{Ed} = 368$ kN

Zadání geometrie

h = 500 mm
b = 350 mm

Třída betonu :	C30/37	C30/37	Výztuž :	10 505 R	10 505 R
$f_{ck} =$	30	Mpa	$f_{yk} =$	500	Mpa
$\alpha_{cc} =$	1	v ČR se uvažuje hodnotou 1	$\gamma_s =$	1,15	součinitel spolehlivosti materiálu
$\gamma_c =$	1,50	součinitel spolehlivosti materiálu	$E_s =$	200,00	Gpa
$f_{ctm} =$	2,9	Mpa	$f_{yk} = \frac{f_{yk}}{\gamma_s} =$	434,78	Mpa
$E_{cm} =$	32,8	Gpa	$\epsilon_{yk} = \frac{f_{yk}}{E_s} =$	2,17	[‰]
$\epsilon_{cu3} =$	3,5	[‰]			

Rovnoměrné rozdělení napětí betonu v tlaku ηf_{cd}
po výšce λx
 $\eta = 1$ $\xi_{bal,1} = \frac{\epsilon_{cu3}}{\epsilon_{cu3} + \epsilon_{cu3}} = 0,617$
 $\lambda = 0,8$

- bilineární pracovní diagram s vodorovnou horní větví bez omezeného přetvoření

Zadání plochy výztuže

Vrstva

Profil ve vrstvě

Počet prutů

Krytí profilu

Plocha na 1 mb

Celková plocha

Teoretická osa plochy výztuže

Účinná výška průřezu

Vzdálenost mezi pruty

Min světlost mezi pruty

	37 mm	37 mm	37 mm	37 mm
i =	1	2	3	4
$\phi_i =$	16	0	0	0
ks =	4	0	0	0
ci =	30	0	0	0
ai =	804	0	0	0
$a_{s1} =$	804			
$d_1 =$	38			
$d =$	462			

$s_1 = 75$ mm

$s \leq s_{s1,max}$

Ok

min. vzdálenosti prutů

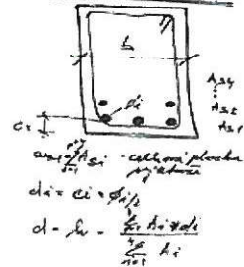
$s_{min} = \max(k_1 \cdot \phi, d_g + k_2 \cdot 20mm)$
 $= s_{min} = 37$ mm

$k_1 = 1,2$

$k_2 = 5$

$d_g = 32$ mm

TRAM - OBRÁZEK



Posouzení

$x = \frac{a_{s1} \cdot f_{yd}}{b \cdot \lambda \cdot \eta \cdot f_{cd}} = 62,4$ mm
 $\xi = \frac{x}{d} = 0,1352 < \xi_{bal,1} = 0,617$
Vyhovuje

$m_{Rd} = a_{s1} \cdot f_{yd} \cdot (d - 0,5 \lambda x) = 152,82$ kNm/m
 $m_{Ed} = 143 < m_{Rd} = 152,82$ kNm/m
 $m_{Ed} < m_{Rd}$ **Vyhovuje**

Kontrola vyztužení

$a_{s,min} = \max \left\{ \frac{0,26 \cdot f_{ctm} \cdot b_t \cdot d}{f_{yk}}, 0,0013 \cdot b_t \cdot d \right\}$
 $a_{s1} = 804 > a_{s,min} = 243,5$ mm²
 $a_{s1} > a_{s,min}$ **Vyhovuje**

$a_{s,min} \geq \frac{0,26 \cdot f_{ctm} \cdot b_t \cdot d}{f_{yk}} = 243,55$ mm²
 $a_{s,min} \geq 0,0013 \cdot b_t \cdot d = 210,21$ mm²

$a_{s1} \leq 0,04 A_c = 20000$ mm² $> a_{s1} = 804$ mm²
Vyhovuje

Smyk

$\min(V_{Rd,max}) = v \cdot f_{cd} \cdot b_w \cdot z \cdot \left(\frac{\cot \Theta}{1 + \cot^2 \Theta} \right) = 556,979$ kN
 $\cot \Theta = 2,5 - volime$

$v = 0,6 \left[1 - \frac{f_{ck}}{250} \right] = 0,528$
 $z = d - 0,5 \cdot \lambda \cdot x = 437$ mm

$|V_{Ed}| \leq \min(V_{Rd,max}) \rightarrow$ **Lze navrhnout smykovou výztuž za předpokladu $\cot \Theta = 2,5$**

Třmínky

n = 4 počet sřtíhů na třmínku
 $\phi_i = 8$ mm - profil třmínku
a = 150 mm - osová vzdálenost třmínků
 $A_{sw} = 201$ mm² - plocha třmínků
 $a \leq s_{min}$

Osová vzdálenost třmínků je OK

$V_{Ed,s} = \frac{A_{sw} \cdot f_{yd}}{s} \cdot z \cdot \cot \Theta = 636,73$ kN

$V_{Ed,s} = 368$ kN $\leq V_{Rd,s} = 636,73$ kN

Navrhnutý třmínek vyhovuje

Návrh konstrukční smykové výztuže

- vzdálenost třmínků

$s \leq 0,75 \cdot d = 346,5$ mm

$s \leq 400$ mm

$s_{v,min} = 346,5$

- omezení stupně vyztužení

$\rho_w = \frac{A_{sw}}{b_w \cdot s} \geq \rho_{w,min} = 0,08 \cdot \frac{\sqrt{f_{ck}}}{f_{yk}}$

$\rho_{w,min} = 0,08 \cdot \frac{\sqrt{f_{ck}}}{f_{yk}} = 0,00088$

$s_w = \frac{A_{sw}}{b_w \cdot \rho_{w,min}} = 655,51$ mm

$s_{min} = \min(s_{v,min}, s_w) = 346,50$ mm

Kontrola mezního stavu použitelnosti

1) Omezené napětí

- napětí v betonu při quasi-stálé kombinaci zatížení musí být

$$\|\sigma_c\| \leq k_2 \cdot f_{ck}, k_2 = 0,45$$

- tahové napětí ve výztuži při charakteristickém zatížení nesmí překročit

$$\|\sigma_s\| \leq k_3 \cdot f_{yk}, k_3 = 0,80$$

pokud je napětí ve výztuži vyvozeno vynuceným přetvořením, je možné použít podmínku

$$\|\sigma_s\| \leq k_4 \cdot f_{yk}, k_4 = 1,0$$

Průřez bez trhlin :

$$\alpha'_e = E_s / E_{cm} = 6,091$$

$$A_i = b \cdot h + (\alpha_e - 1) a_s = 0,17909 \text{ m}^2$$

$$a_{gr} = \frac{0,5 \cdot b \cdot h^2 + (\alpha_e - 1) \cdot a_s \cdot d}{A_i} = 0,255 \text{ m}$$

$$I_i = \frac{b \cdot h^3}{12} + b \cdot h (a_{gr} - 0,5h)^2 + (\alpha_e - 1) a_s \cdot (d - a_{gr})^2 = 0,003826 \text{ m}^4$$

$$m_{cr} = \frac{I_i \cdot f_{cm}}{(h - a_{gr})} = 45,200 \text{ kNm/m}$$

$m_{Ed,q} \leq m_{cr}$ - Pokud je podmínka splněna trhliny nevzniknou

$$\underline{m_{Ed,q} = 93,36 \text{ kN/m} \leq m_{cr} = 45,200 \text{ kN/m}}$$

Trhliny vzniknou

Průřez s trhlínami:

$$x_r = \frac{\alpha_e \cdot a_s}{b} \left(-1 + \sqrt{1 + \frac{2 \cdot b \cdot d}{\alpha_e \cdot a_s}} \right) = 0,1006 \text{ m}$$

$$I_r = \frac{b \cdot x_r^3}{3} + \alpha_e \cdot a_s \cdot (d - x_r)^2 = 0,0007586 \text{ m}^4$$

Posouzení napětí ve výztuži a v betone

- Napětí v betonu kvazistálou kombinaci zatížení

$$\sigma_c = \frac{m_{Ed,q} \cdot x_r}{I_r} = 12,379 \text{ Mpa} \leq 0,45 \cdot f_{ck} = 13,50 \text{ Mpa} \quad \text{OK}$$

- Napětí ve výztuži pro charakteristickou kombinaci zatížení

$$\sigma_s = \alpha_e \frac{m_{Ed,ch} \cdot (d - x_r)}{I_r} = 296,722 \text{ Mpa} \leq 0,8 \cdot f_{yk} = 400,00 \text{ Mpa} \quad \text{OK}$$

Napětí splňuje omezující podmínky

2) Kontrola trhlin

Výpočet hodnoty $\varepsilon_{sm} - \varepsilon_{cm} = \frac{\sigma_s - k_t \cdot \frac{f_{ct,eff}}{\rho_{p,eff}} (1 + \alpha_e \cdot \rho_{p,eff})}{E_s} \geq 0,6 \frac{\sigma_s}{E_s}$

Šířku trhlin posuzujeme při kvazistálé kombinaci zatížení napětí ve výztuži

$\sigma_s =$ napětí v tažené výztuži vypočtené na průřezu porušeném trhlinou $\sigma_s = \alpha_e \frac{m E_s \cdot \sigma \cdot (d - x_r)}{I_r}$
 $\sigma_s = 270,9 \text{ Mpa}$

$\alpha_e = E_s / E_{cm} = 6,091$ poměr modulu pružnosti výztuže a betonu
 $\rho_{p,eff} = (a_s + \xi_1^2 \cdot A_p) / A_{c,eff}$ je účinný stupeň vyztužení efektivní tažené oblasti betonu $A_{c,eff}$

$A_{c,eff} = b \cdot h_{c,ef} = 0,0333 \text{ m}^2$

$h_{c,ef} = \min\{ 2,5(h - d), (h - x) / 3, h / 2 \}; \min\{ 95,00 ; 133,14 ; 250 \} h_{c,ef} = 95,00 \text{ mm}$

Vliv doby trvání zatížení

- Krátkodobé zatížení, 0.6
 Dlouhodobé zatížení, 0.4

$k_t = 0,4$

$a_s = 804 \text{ mm}^2$
 $a_p =$ přepočtená výztuž

$\rho_{p,eff} = (a_s) / A_{c,eff} = 0,02419$

$f_{ct,eff} = 2,9 \text{ Mpa}$ - trhliny jsou očekávány po 28 dnech $f_{ct,eff} = f_{ctm}$

$\varepsilon_{sm} - \varepsilon_{cm} = 0,001080 \geq 0,6 \frac{\sigma_s}{E_s} = 0,0008128$

$\varepsilon_{sm} - \varepsilon_{cm} = 0,0010798$

Výpočet $s_{r,max}$

Případ $s < 5(c + \phi/2)$

$s_{r,max} = k_3 c + k_1 k_2 k_4 \phi / \rho_{p,eff} = 214,453 \text{ mm}$

Případ $s > 5(c + \phi/2)$

$s_{r,max} = 1,3 \cdot (h - x) = 568,83 \text{ mm}$

$c = 30$	krytí podélné výztuže
$k_1 = 0,8$	pruty s velkou soudržností
$k_2 = 0,5$	pro ohyb
$k_3 = 3,4$	doporučená hodnota
$k_4 = 0,425$	doporučená hodnota
$\phi = 16$	profil prutů

Rozhodnutí podle kterého případu se bude počítat $s_{r,max}$

$5(c + \phi/2) = 190 \text{ mm}$
 vzdálenost výztuže $75,33 \text{ mm}$
Případ $s \leq 5(c + \phi/2)$
 $s_{r,max} = 214,45 \text{ mm}$

Kontrola trhlin

$W_k = s_{r,max} (\varepsilon_{sm} - \varepsilon_{cm}) \leq W_{max}$

$W_k = 0,2316 \text{ mm} \leq W_{max} = 0,4 \text{ mm}$

Šířka trhlin pro dané prostředí vyhovuje

3) Kontrola průhybu

$$\frac{l}{d} \leq \lambda_d$$

$$\lambda_d = \kappa_{c1} \cdot \kappa_{c2} \cdot \kappa_{c3} \cdot \lambda_{d,tab} = 33,04$$

$$\frac{l}{d} = 12,99$$

$$12,99 \leq \lambda_d = 33,04$$

Není nutné počítat průhyb

Součinitel závislí na tvaru průřezu

$$\kappa_{c1} = 1$$

- $\kappa_{c1} = 0,8$
 $\kappa_{c1} = 1,0$

pro T průřez s poměrem šířkyprůřezu kšířce žebra větší než 3

v ostatních případech

Součinitel závislý na rozpětí

- rozpětí $l = 6,00$ m

$$\kappa_{c2} = 1,00$$

Součinitel pro zohlednění různých nosných systémů

- prostě podepřený nosník, prostě podepřená deska
 krajní pole spojitého nosníku nebo desky
 vnitřní pole nosníku nebo desky
 deska lokálně podepřená
 konzola

$$\kappa = 1,5$$

Součinitel napětí tahové výztuže v extrémně namáhaném průřezu při časté kombinaci provozního zatížení

$$\kappa_{c3} = \frac{310}{\sigma_s} = \frac{500}{f_{yk}} \frac{A_{s,prov}}{A_{s,req}} = 1,07$$

$A_{s,req} = 102,09 \text{ mm}^2$
 $A_{s,prov} = 804 \text{ mm}^2$

Referenční stupeň vyztužení

$$\rho_0 = \sqrt{f_{ck}} \cdot 10^{-3} = 0,00548 \geq \rho = 0,00497$$

Geometrický stupeň vyztužení tahovou výztuží

$$\rho = \frac{A_{s,prov}}{b \cdot d} = 0,00497$$

Požadovaný stupeň vyztužení tlakovou výztuží

$$\rho' = 0$$

Výpočet podle prvního vzorce

$$\lambda_{d,tab} = \left\langle \begin{array}{l} \kappa \left[11 + 1,5 \sqrt{f_{ck}} \frac{\rho_0}{\rho} + 3,2 \sqrt{f_{ck}} \left(\frac{\rho_0}{\rho} - 1 \right)^{\frac{3}{2}} \right] \text{ pro } \rho \leq \rho_0 \\ \kappa \left[11 + 1,5 \sqrt{f_{ck}} \frac{\rho_0}{\rho - \rho'} + \frac{1}{12} \sqrt{f_{ck}} \frac{\rho'}{\rho_0} \right] \text{ pro } \rho > \rho_0 \end{array} \right\rangle = 30,92$$

Prvek Průvlak 400/500-spodní výztuž

Posouzení obdélníku

Rozpětí stropní kce L = 6 m

Vstupní údaje

Stupeň vlivu prostředí

Návrhová životnost

Požární odolnost

Materiály:

XC1

50 let

REI

Zadání vnitřních sil

$m_{Ed} = 197$ kNm

$m_{Ed,q} = 128,00$ $m_{Ed,chl} = 141,00$ kNm

$V_{Ed} = 414$ kN

Zadání geometrie

h = 500 mm

b = 400 mm

Třída betonu :	C30/37	C30/37	Výztuž :	10 505 R	10 505 R
$f_{ck} = 30$ Mpa			$f_{yk} = 500$ Mpa		
$\alpha_{cc} = 1$			$\gamma_s = 1,15$		
$\gamma_c = 1,50$			$E_s = 200,00$ Gpa		
$f_{ctm} = 2,9$ Mpa			$f_w = \frac{f_{ctm}}{\gamma_s} = 434,78$ Mpa		
$E_{cm} = 32,8$ Gpa			$\epsilon_{yd} = \frac{f_{yk}}{E_s} = 2,17$ [%]		
$\epsilon_{cu3} = 3,5$ [%]					

Rovnoměrné rozdělení napětí betonu v tlaku ηf_{cd}

po výšce λx

$$\eta = 1 \quad \xi_{bal,1} = \frac{\epsilon_{cu3}}{\epsilon_{cu3} + \epsilon_{cu3}} = 0,617$$

$$\lambda = 0,8$$

- bilineární pracovní diagram s vodorovnou horní větví bez omezeného přetvoření

Zadání plochy výztuže

Vrstva

Profil ve vrstvě

Počet prutů

Krytí profilu

Plocha na 1 mb

Celková plocha

Teoretická osa plochy výztuže

Účinná výška průřezu

Vzdálenost mezi pruty

Min světlost mezi pruty

	37 mm	37 mm	37 mm	37 mm	
i =	1	2	3	4	
ϕ i =	20	0	0	0	mm
ks =	4	0	0	0	mm
ci =	30	0	0	0	mm
ai =	1257	0	0	0	mm ²
	$a_{s1} = 1257$				mm ²
	$d_1 = 40$				mm
	$d = 460$				mm

s1 = 87 mm

$s \leq s_{s1,max}$ **Ok**

min. vzdálenosti prutů

$$s_{min} = \max(k_1 \cdot \phi, d_g + k_2 \cdot 20mm)$$

$$= s_{min}$$

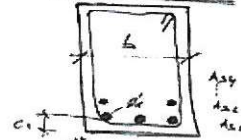
$$37 \text{ mm}$$

$$k_1 = 1,2$$

$$k_2 = 5$$

$$d_g = 32 \text{ mm}$$

TRAM - ANEJLIK



$$d = d_g + \frac{k_2 \cdot 20}{100} \cdot \phi$$

Posouzení

$$x = \frac{a_{s1} \cdot f_{yd}}{b \cdot \lambda \cdot \eta \cdot f_{cd}} = 85,4 \text{ mm}$$

$$\xi = \frac{x}{d} = 0,1856 < \xi_{bal,1} = 0,617$$

Vyhovuje

$$m_{Rd} = a_{s1} \cdot f_{yd} \cdot (d - 0,5 \cdot \lambda \cdot x) = 232,67 \text{ kNm/m}$$

$$m_{Ed} = 197 < m_{Rd} = 232,67 \text{ kNm/m}$$

$m_{Ed} < m_{Rd}$ **Vyhovuje**

Kontrola vyztužení

$$a_{s,min} = \max \left\{ \frac{0,26 \cdot f_{ctm} \cdot b_i \cdot d}{f_{yk}}; 0,0013 \cdot b_i \cdot d \right\}$$

$$a_{s1} = 1257 > a_{s,min} = 277,1 \text{ mm}^2$$

$a_{s1} > a_{s,min}$ **Vyhovuje**

$$a_{s1} \leq 0,04 A_c = 20000 \text{ mm}^2 > a_{s1} = 1257 \text{ mm}^2$$

Vyhovuje

$$a_{s,min} \geq \frac{0,26 \cdot f_{ctm} \cdot b_i \cdot d}{f_{yk}} = 277,13 \text{ mm}^2$$

$$a_{s,min} \geq 0,0013 \cdot b_i \cdot d = 239,20 \text{ mm}^2$$

Smyk

$$\min(V_{Rd,max}) = v \cdot f_{cd} \cdot b_w \cdot z \cdot \left(\frac{\cot \Theta}{1 + \cot^2 \Theta} \right) = 620,276 \text{ kN}$$

$\cot \Theta = 2,5$ - volíme

$$v = 0,6 \left[1 - \frac{f_{ck}}{250} \right] = 0,528$$

$$z = d - 0,5 \cdot \lambda \cdot x = 426 \text{ mm}$$

$|V_{Ed}| \leq \min(V_{Rd,max}) \rightarrow$ **Lze navrhnout smykovou výztuž za předpokladu $\cot \Theta = 2,5$**

Třmínky

n = 4 počet stříhů na třmínku

ϕ i = 8 mm - profil třmínku

a = 200 mm - osová vzdálenost třmínků

$A_{sw} = 201$ mm² - plocha třmínků

$a \leq s_{min}$

Osová vzdálenost třmínků je OK

$$V_{Rd,s} = \frac{A_{sw} \cdot f_{yd}}{s} \cdot z \cdot \cot \Theta = 465,34 \text{ kN}$$

$$|V_{Ed}| = 414 \text{ kN} \leq V_{Rd,s} = 465,34 \text{ kN}$$

Navrhnutý třmínek vyhovuje

Návrh konstrukční smykové výztuže

- vzdálenost třmínků

$$s \leq 0,75 \cdot d = 345,0 \text{ mm}$$

$$s \leq 400 \text{ mm} \quad s_{vr,min} = 345$$

- omezení stupně vyztužení

$$\rho_w = \frac{A_{sw}}{b_w \cdot s} \geq \rho_{w,min} = 0,08 \cdot \frac{\sqrt{f_{ck}}}{f_{yk}}$$

$$\rho_{w,min} = 0,08 \cdot \frac{\sqrt{f_{ck}}}{f_{yk}} = 0,00088$$

$$s_w = \frac{A_{sw}}{b_w \cdot \rho_{w,min}} = 573,57 \text{ mm}$$

$$s_{min} = \min(s_{vr,min}, s_w) = 345,00 \text{ mm}$$

Kontrola mezního stavu použitelnosti

1) Omezené napětí

- napětí v betonu při quasi-stálé kombinaci zatížení musí být $\|\sigma_c\| \leq k_2 \cdot f_{ct}, k_2 = 0.45$
- tahové napětí ve výztuži při charakteristickém zatížení nesmí překročit $\|\sigma_s\| \leq k_3 \cdot f_{yk}, k_3 = 0.80$
- pokud je napětí ve výztuži vyvozeno vynuceným přetvořením, je možné použít podmínku $\|\sigma_s\| \leq k_4 \cdot f_{yk}, k_4 = 1.0$

Průřez bez trhlin:

$$\alpha'_e = E_s / E_{cm} = 6,091$$

$$A_s = b \cdot h + (\alpha_e - 1) a_s = 0,20640 \text{ m}^2$$

$$a_{gi} = \frac{0,5 \cdot b \cdot h^2 + (\alpha_e - 1) \cdot a_s \cdot d}{A_s} = 0,257 \text{ m}$$

$$I_i = \frac{b \cdot h^3}{12} + b \cdot h (a_{gi} - 0,5h)^2 + (\alpha_e - 1) a_s \cdot (d - a_{gi})^2 = 0,004440 \text{ m}^4$$

$$m_{cr} = \frac{I_i \cdot f_{cm}}{(h - a_{gi})} = 52,817 \text{ kNm/m}$$

$m_{Ed,q} \leq m_{cr}$ - Pokud je podmínka splněna trhliny nevzniknou

$$m_{Edq} = 128 \text{ kN/m} \leq m_{cr} = 52,817 \text{ kN/m}$$

Trhliny vzniknou

Průřez s trhlínami:

$$x_r = \frac{\alpha_e \cdot a_s}{b} \left(-1 + \sqrt{1 + \frac{2 \cdot b \cdot d}{\alpha_e \cdot a_s}} \right) = 0,1149 \text{ m}$$

$$I_r = \frac{b \cdot x_r^3}{3} + \alpha_e \cdot a_s \cdot (d - x_r)^2 = 0,0011138 \text{ m}^4$$

Posouzení napětí ve výztuži a v betonu

- Napětí v betonu kvazistálou kombinací zatížení

$$\sigma_c = \frac{m_{Ed,q} \cdot x_r}{I_r} = 13,207 \text{ Mpa} \leq 0,45 \cdot f_{ct} = 13,50 \text{ Mpa} \quad \text{OK}$$

- Napětí ve výztuži pro charakteristickou kombinaci zatížení

$$\sigma_s = \alpha_e \frac{m_{Ed,ch} \cdot (d - x_r)}{I_r} = 266,080 \text{ Mpa} \leq 0,8 \cdot f_{yk} = 400,00 \text{ Mpa} \quad \text{OK}$$

Napětí splňuje omezující podmínky

2) Kontrola trhlin

Výpočet hodnoty $\varepsilon_{sm} - \varepsilon_{cm} = \frac{\sigma_s - k_t \cdot \frac{f_{ct,eff}}{\rho_{p,eff}} (1 + \alpha_e \cdot \rho_{p,eff})}{E_s} \geq 0,6 \frac{\sigma_s}{E_s}$

Šířku trhlin posuzujeme při kvazistálé kombinaci zatížení napětí ve výztuži

$\sigma_s =$ napětí v tažené výztuži vypočtené na průřezu porušeném trhlinou $\sigma_s = \alpha_e \frac{m_{Ed} \cdot s \cdot (d - x_r)}{l_r}$
 $\sigma_s = 241,5 \text{ Mpa}$

$\alpha_e = E_s / E_{cm} = 6,091$ poměr modulu pružnosti výztuže a betonu
 $\rho_{p,eff} = (a_s + \xi_1^2 \cdot A_p) / A_{c,eff}$ je účinný stupeň vyztužení efektivní tažené oblasti betonu $A_{c,eff}$

$A_{c,eff} = b \cdot h_{c,ef} = 0,0400 \text{ m}^2$

$h_{c,ef} = \min\{ 2,5(h-d), (h-x)/3, h/2; \min\{ 100,00; 128,36; 250 \} \} h_{c,ef} = 100,00 \text{ mm}$

Vliv doby trvání zatížení

- Krátkodobé zatížení, 0.6
 Dlouhodobé zatížení, 0.4

$k_t = 0,4$

$a_s = 1257 \text{ mm}^2$
 $a_p =$ předpřítlačení výztuže

$\rho_{p,eff} = (a_s) / A_{c,eff} = 0,03142$

$f_{ct,eff} = 2,9 \text{ Mpa}$ - trhlíny jsou očekávány po 28 dnech $f_{ct,eff} = f_{ctm}$

$\varepsilon_{sm} - \varepsilon_{cm} = 0,000988 \geq 0,6 \frac{\sigma_s}{E_s} = 0,0007246$

$\varepsilon_{sm} - \varepsilon_{cm} = 0,0009881$

Výpočet $s_{r,max}$

Případ $s < 5(c+\phi/2)$

$s_{r,max} = k_3 c + k_1 k_2 k_4 \phi / \rho_{p,eff} = 210,225 \text{ mm}$

Případ $s > 5(c+\phi/2)$

$s_{r,max} = 1,3 \cdot (h-x) = 539,02 \text{ mm}$

$c = 30$	krytí podélné výztuže
$k_1 = 0,8$	pruty s velkou soudružností
$k_2 = 0,5$	pro ohyb
$k_3 = 3,4$	doporučená hodnota
$k_4 = 0,425$	doporučená hodnota
$\phi = 20$	profil prutů

Rozhodnutí podle kterého případu se bude počítat $s_{r,max}$

$5(c+\phi/2) = 200 \text{ mm}$
 vzdálenost výztuže $86,67 \text{ mm}$
Případ $s < 5(c+\phi/2)$
 $s_{r,max} = 210,23 \text{ mm}$

Kontrola trhlin

$w_k = s_{r,max} (\varepsilon_{sm} - \varepsilon_{cm}) \leq w_{lim}$

$w_k = 0,2077 \text{ mm} \leq w_{max} = 0,4 \text{ mm}$

Šířka trhlin pro dané prostředí vyhovuje

3) Kontrola průhybu

$$\frac{l}{d} \leq \lambda_d$$

$$\lambda_d = \kappa_{c1} \cdot \kappa_{c2} \cdot \kappa_{c3} \cdot \lambda_{d,tah} = 31,16$$

$$\frac{l}{d} = 13,04$$

$$13,04 \leq \lambda_d = 31,16$$

Není nutné počítat průhyb

Součinitel závislý na tvaru průřezu

$$\kappa_{c1} = 1$$

- $\kappa_{c1} = 0,8$
 $\kappa_{c1} = 1,0$

pro T průřez s poměrem šířkyprůřezu kšířce žebra větší než 3

v ostatních případech

Součinitel závislý na rozpětí

- rozpětí $l = 6,00$ m

$$\kappa_{c2} = 1,00$$

Součinitel pro zohlednění různých nosných systémů

- prostě podepřený nosník, prostě podepřená desk
 krajní pole spojitého nosníku nebo desky
 vnitřní pole nosníku nebo desky
 deska lokálně podepřená
 konzola

$$\kappa = 1,5$$

Součinitel napětí tahové výztuže v extrémně namáhaném průřezu při časté kombinaci provozního zatížení

$$\kappa_{c3} = \frac{310}{\sigma_s} = \frac{500}{f_{yk}} \frac{A_{s,prov}}{A_{s,req}} = 1,18$$

$A_{s,req} = 1003,90 \text{ mm}^2$
 $A_{s,prov} = 1257 \text{ mm}^2$

Referenční stupeň vyztužení

$$\rho_0 = \sqrt{f_{ck}} \cdot 10^{-3} = 0,00548 \geq \rho = 0,00683$$

Geometrický stupeň vyztužení tahovou výztuží

$$\rho = \frac{A_{s,prov}}{b \cdot d} = 0,00683$$

Požadovaný stupeň vyztužení tlakovou výztuží

$$\rho' = 0$$

Výpočet podle druhého vzorce

$$\lambda_{d,tah} = \left\langle \begin{array}{l} \kappa \left[11 + 1,5 \sqrt{f_{ck}} \frac{\rho_0}{\rho} + 3,2 \sqrt{f_{ck}} \left(\frac{\rho_0}{\rho} - 1 \right)^{\frac{3}{2}} \right] \text{ pro } \rho \leq \rho_0 \\ \kappa \left[11 + 1,5 \sqrt{f_{ck}} \frac{\rho_0}{\rho - \rho'} + \frac{1}{12} \sqrt{f_{ck}} \frac{\rho'}{\rho_0} \right] \text{ pro } \rho > \rho_0 \end{array} \right\rangle = 26,38$$

Prvek Průvlak 350/500-horní výztuž

Posouzení obdélníku

Rozpětí stropní kce L = 6 m

Vstupní údaje

Stupeň vlivu prostředí: XC1
Návrhová životnost: 80 let
Požární odolnost: REI
Materiály:

Zadání vnitřních sil

$m_{Ed} = 202$ kNm
 $m_{Ed,q} = 136,00$ kNm
 $m_{Ed,sh} = 145,00$ kNm
 $V_{Ed} = 299$ kN

Zadání geometrie

h = 500 mm
b = 350 mm

Třída betonu :	C30/37	Výztuž :	B500B
$f_{ck} = 30$ Mpa		$f_{yk} = 500$ Mpa	
$\alpha_{cc} = 1$	v ČR se uvažuje hodnotou 1	$\gamma_s = 1,15$	součinitel spolehlivosti materiálu
$\gamma_c = 1,50$	součinitel spolehlivosti materiálu	$E_s = 200,00$ Gpa	
$f_{ctm} = 2,9$ Mpa		$f_{wd} = \frac{f_{ctm}}{\gamma_s} = 434,78$ Mpa	
$E_{cm} = 32,8$ Gpa		$\epsilon_{yd} = \frac{f_{yd}}{E_s} = 2,17$ [%]	
$\epsilon_{cu3} = 3,5$ [%]			

Rovnoměrné rozdělení napětí betonu v tlaku po výšce λx

$$\eta = 1 \quad \xi_{bal,1} = \frac{\epsilon_{cu3}}{\epsilon_{cu3} + \epsilon_{cu3}} = 0,617$$

$$\lambda = 0,8$$

- bilineární pracovní diagram s vodorovnou horní větví bez omezeného přetvoření

Zadání plochy výztuže

Vrstva
Profil ve vrstvě
Počet prutů
Krytí profilu
Plocha na 1 mb
Celková plocha
Teoretická osa plochy výztuže
Účinná výška průřezu
Vzdálenost mezi pruty
Min světlost mezi pruty

	37 mm	37 mm	37 mm	37 mm
i =	1	2	3	4
$\phi_i =$	25	0	0	0
ks =	3	0	0	0
ci =	60	0	0	0
ai =	1473	0	0	0
$a_{s1} =$	1473			
$d_1 =$	73			
$d =$	428			
$s_1 =$	78 mm			

min. vzdálenosti prutů

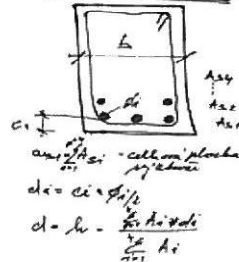
$$s_{min} = \max(k_1 \cdot \phi + k_2 \cdot 20mm) = s_{min} = 37 mm$$

$$k_1 = 1,2$$

$$k_2 = 5$$

$$d_g = 32 mm$$

TRAM - OSY



Posouzení

$$x = \frac{a_{s1} \cdot f_{yd}}{b \cdot \lambda \cdot \eta \cdot f_{cd}} = 114,3 \text{ mm}$$

$$\xi = \frac{x}{d} = 0,2674 < \xi_{bal,1} = 0,617$$

Vyhovuje

$$m_{Rd} = a_{s1} \cdot f_{yd} \cdot (d - 0,5 \cdot \lambda \cdot x) = 244,43 \text{ kNm/m}$$

$$m_{Ed} = 202 < m_{Rd} = 244,43 \text{ kNm/m}$$

$m_{Ed} < m_{Rd}$ Vyhovuje

Kontrola vyztužení

$$a_{s,min} = \max \left\{ \frac{0,26 \cdot f_{ctm} \cdot b_t \cdot d}{f_{yk}}, 0,0013 \cdot b_t \cdot d \right\}$$

$$a_{s1} = 1473 > a_{s,min} = 225,4 \text{ mm}^2$$

$a_{s1} > a_{s,min}$ Vyhovuje

$$a_{s,min} \geq \frac{0,26 \cdot f_{ctm} \cdot b_t \cdot d}{f_{yk}} = 225,36 \text{ mm}^2$$

$$a_{s,min} \geq 0,0013 \cdot b_t \cdot d = 194,51 \text{ mm}^2$$

$$a_{s1} \leq 0,04 A_c = 20000 \text{ mm}^2 > a_{s1} = 1473 \text{ mm}^2$$

Vyhovuje

Smyk

$$\min(V_{Rd,max}) = v \cdot f_{cd} \cdot b_w \cdot z \cdot \left(\frac{\cot \Theta}{1 + \cot^2 \Theta} \right) = 486,555 \text{ kN}$$

$\cot \Theta = 2,5$ - volime

$$v = 0,6 \left[1 - \frac{f_{ck}}{250} \right] = 0,528$$

$$z = d - 0,5 \cdot \lambda \cdot x = 382 \text{ mm}$$

$|V_{Ed}| \leq \min(V_{Rd,max}) \rightarrow$ Lze navrhnout smykovou výztuž za předpokladu $\cot \Theta = 2,5$

Třmínky

n = 2 počet stříhů na třmínku
 $\phi_i = 10$ mm - profil třmínku
a = 140 mm - osová vzdálenost třmínků
 $A_{sw} = 157$ mm² - plocha třmínků
 $a \leq s_{min}$

Osová vzdálenost třmínků je OK

$$V_{rd,s} = \frac{A_{sw} \cdot f_{yd}}{s} \cdot z \cdot \cot \Theta = 465,59 \text{ kN}$$

$$|V_{Ed}| = 299 \text{ kN} \leq V_{rd,s} = 465,59 \text{ kN}$$

Navrhnutý třmínek vyhovuje

Návrh konstrukční smykové výztuže

- vzdálenost třmínků
 $s \leq 0,75 \cdot d = 320,6 \text{ mm}$
 $s \leq 400 \text{ mm}$
 $s_{vr,min} = 320,625$

- omezení stupně vyztužení
 $\rho_w = \frac{A_{sw}}{b_w \cdot s} \geq \rho_{w,min} = 0,08 \cdot \frac{\sqrt{f_{ck}}}{f_{yk}}$
 $\rho_{w,min} = 0,08 \cdot \frac{\sqrt{f_{ck}}}{f_{yk}} = 0,00088$

$$s_w = \frac{A_{sw}}{b_w \cdot \rho_{w,min}} = 512,12 \text{ mm}$$

$$s_{min} = \min(s_{vr,min}, s_w) = 320,63 \text{ mm}$$

Kontrola mezního stavu použitelnosti

1) Omezené napětí

- napětí v betonu při quasi-stálé kombinaci zatížení musí být $|\sigma_c| \leq k_2 \cdot f_{ck}, k_2 = 0.45$
- tahové napětí ve výztuži při charakteristickém zatížení nesmí překročit $|\sigma_s| \leq k_3 \cdot f_{yk}, k_3 = 0.80$
- pokud je napětí ve výztuži vyvozeno vynuceným přetvořením, je možné použít podmínku $|\sigma_s| \leq k_4 \cdot f_{yk}, k_4 = 1.0$

Průřez bez trhlin :

$$\alpha'_e = E_s / E_{cm} = 6,091$$

$$A_t = b \cdot h + (\alpha_e - 1) a_s = 0,18250 \text{ m}^2$$

$$a_{gr} = \frac{0,5 \cdot b \cdot h^2 + (\alpha_e - 1) \cdot a_s \cdot d}{A_t} = 0,257 \text{ m}$$

$$I_i = \frac{b \cdot h^3}{12} + b \cdot h (a_{gr} - 0,5h)^2 + (\alpha_e - 1) a_s \cdot (d - a_{gr})^2 = 0,003872 \text{ m}^4$$

$$m_{cr} = \frac{I_i \cdot f_{cm}}{(h - a_{gr})} = 46,212 \text{ kNm/m}$$

$m_{Ed, q} \leq m_{cr}$ - Pokud je podmínka splněna trhliny nevzniknou

$$m_{Edq} = 136 \text{ kN / m} \leq m_{cr} = 46,212 \text{ kN/m}$$

Trhliny vzniknou

Průřez s trhlinami:

$$x_r = \frac{\alpha_e \cdot a_s}{b} \left(-1 + \sqrt{1 + \frac{2 \cdot b \cdot d}{\alpha_e \cdot a_s}} \right) = 0,1246 \text{ m}$$

$$I_r = \frac{b \cdot x_r^3}{3} + \alpha_e \cdot a_s \cdot (d - x_r)^2 = 0,0010486 \text{ m}^4$$

Posouzení napětí ve výztuži a v betone

- Napětí v betonu kvazistálou kombinaci zatížení

$$\sigma_c = \frac{m_{Ed, q} \cdot x_r}{I_r} = 16,160 \text{ Mpa} \leq 0,45 \cdot f_{ck} = 13,50 \text{ Mpa} \quad \text{Nevyhovuje}$$

- Napětí ve výztuži pro charakteristickou kombinaci zatížení

$$\sigma_s = \alpha_e \frac{m_{Ed, ch} \cdot (d - x_r)}{I_r} = 255,109 \text{ Mpa} \leq 0,8 \cdot f_{yk} = 400,00 \text{ Mpa} \quad \text{OK}$$

Napětí NESplňuje omezující podmínky

2) Kontrola trhlin

Výpočet hodnoty

$$\varepsilon_{sm} - \varepsilon_{cm} = \frac{\sigma_s - k_t \cdot \frac{E_{sm} - E_{cm}}{\rho_{p,eff}} (1 + \alpha_e \cdot \rho_{p,eff})}{E_s} \geq 0,6 \frac{\sigma_s}{E_s}$$

Šířku trhlin posuzujeme při kvazistálé kombinaci zatížení napětí ve výztuži

$\sigma_s =$ napětí v tažené výztuži vypočtené na průřezu porušeném trhlinou $\sigma_s = \alpha_e \frac{m_{Ed,q} \cdot (d - x_r)}{I_r}$
 $\sigma_s = 239,3 \text{ Mpa}$

$\alpha_e = E_s / E_{cm} = 6,091$ poměr modulu pružnosti výztuže a betonu

$\rho_{p,eff} = (a_s + \xi_1^2 \cdot A_p) / A_{c,eff}$ je účinný stupeň vyztužení efektivní tažené oblasti betonu $A_{c,eff}$

$A_{c,eff} = b \cdot h_{c,ef} = 0,0438 \text{ m}^2$

$h_{c,ef} = \min\{ 2,5(h - d), (h - x) / 3, h / 2; \min\{ 181,25 ; 125,13 ; 250 \} h_{c,ef} = 125,13 \text{ mm}$

Vliv doby trvání zatížení

- Krátkodobé zatížení, 0.6
 Dlouhodobé zatížení, 0.4

$k_t = 0,4$

$a_s = 1473 \text{ mm}^2$
 $a_s =$ předpřítlačení výztuž

$\rho_{p,eff} = (a_s) / A_{c,eff} = 0,03362$

$f_{ct,eff} = 2,9 \text{ Mpa}$ - trhliny jsou očekávány po 28 dnech $f_{ct,eff} = f_{ctm}$

$\varepsilon_{sm} - \varepsilon_{cm} = 0,000989 \geq 0,6 \frac{\sigma_s}{E_s} = 0,0007178$

$\varepsilon_{sm} - \varepsilon_{cm} = 0,0009888$

Výpočet $s_{r,max}$

Případ $s < 5(c + \phi/2)$

$s_{r,max} = k_3 c + k_1 k_2 k_4 \phi / \rho_{p,eff} = 330,398 \text{ mm}$

Případ $s > 5(c + \phi/2)$

$s_{r,max} = 1,3 \cdot (h - x) = 501,37 \text{ mm}$

$c =$	60	krytí podélné výztuže
$k_1 =$	0,8	pruty s velkou soudružností
$k_2 =$	0,5	pro ohyb
$k_3 =$	3,4	doporučená hodnota
$k_4 =$	0,425	doporučená hodnota
$\phi =$	25	profil prutů

Rozhodnutí podle kterého případu se bude počítat $s_{r,max}$

$5(c + \phi/2) = 362,5 \text{ mm}$

vzdálenost výztuže $77,50 \text{ mm}$

Případ $s \leq 5(c + \phi/2)$

$s_{r,max} = 330,40 \text{ mm}$

Kontrola trhlin

$w_k = s_{r,max} (\varepsilon_{sm} - \varepsilon_{cm}) \leq w_{max}$

$w_k = 0,3267 \text{ mm} \leq w_{max} = 0,4 \text{ mm}$

Šířka trhlin pro dané prostředí vyhovuje

3) Kontrola průhybu

$$\frac{l}{d} \leq \lambda_d \quad \lambda_d = \kappa_{c1} \cdot \kappa_{c2} \cdot \kappa_{c3} \cdot \lambda_{d,tah} = 24,50$$

$$\frac{l}{d} = 14,04 \leq \lambda_d = 24,50$$

Není nutné počítat průhyb

Součinitel závisí na tvaru průřezu

$$\kappa_{c1} = 1$$

- $\kappa_{c1} = 0,8$
 $\kappa_{c1} = 1,0$

pro T průřez s poměrem šířkyprůřezu kšířce žebra větší než 3
v ostatních případech

Součinitel závislý na rozpětí

- rozpětí $l = 6,00$ m
 $\kappa_{c2} = 1,00$

Součinitel napětí tahové výztuže v extrémně namáhaném průřezu při časté kombinaci provozního zatížení

$$\kappa_{c3} = \frac{310}{\sigma_s} = \frac{500}{f_{yk}} \frac{A_{s,prov}}{A_{s,req}} = 1,21$$

$$A_{s,req} = \frac{1210,91}{1473} \text{ mm}^2$$

$$A_{s,prov} = \text{mm}^2$$

Součinitel pro zohlednění různých nosných systémů

- prostě podepřený nosník, prostě podepřená deska
 krajní pole spojitěho nosníku nebo desky
 vnitřní pole nosníku nebo desky
 deska lokálně podepřená
 konzola

$$\kappa = 1,3$$

Referenční stupeň vyztužení

$$\rho_0 = \sqrt{f_{ck}} \cdot 10^{-3} = 0,00548 \geq \rho = 0,00984$$

Geometrický stupeň vyztužení tahovou výztuží

$$\rho = \frac{A_{s,prov}}{b \cdot d} = 0,00984$$

Požadovaný stupeň vyztužení tlakovou výztuží

$$\rho' = 0$$

Výpočet podle druhého vzorce

$$\lambda_{d,tah} = \left\langle \begin{array}{l} \kappa \left[11 + 1,5\sqrt{f_{ck}} \frac{\rho_0}{\rho} + 3,2\sqrt{f_{ck}} \left(\frac{\rho_0}{\rho} - 1 \right)^{\frac{3}{2}} \right] \text{ pro } \rho \leq \rho_0 \\ \kappa \left[11 + 1,5\sqrt{f_{ck}} \frac{\rho_0}{\rho - \rho'} + \frac{1}{12} \sqrt{f_{ck}} \frac{\rho'}{\rho_0} \right] \text{ pro } \rho > \rho_0 \end{array} \right\rangle = 20,24$$

4) Výpočet přetvoření

kvazistálá kombinace zatížení bude působit v časovém intervalu

$$\langle t_0 = 28 \text{ dní}, \infty \rangle$$

$$h_0 = \frac{2A_c}{u} = 205,88 \text{ mm} \quad \text{náhradní rozměr průřezu}$$

- součinitel dotvarování pro cement třídy N

$$\varphi \langle \infty, t_0 = 28 \text{ dní} \rangle = 2,5 \quad \text{- doplnit z obr 3.15}$$

- smršťování proběhne v intervalu $\langle t_0 = 7 \text{ dní}, \infty \rangle$

$$\varphi_{cs} \langle \infty, t_0 = 7 \text{ dní} \rangle = 3,2 \quad \text{- doplnit z obr 3.15}$$

beton C30/37
relativní vlhkost 40 %

jmennovitá hodnota poměrného smrštění viz. tabulka 3.2

$$\varepsilon_{cd,0} = 0,00058$$

Tab. 3.2 Jmenovité hodnoty neomezeného poměrného smrštění $\varepsilon_{cd,0}$ (v ‰) vysycháním (střední hodnota, variací součinitel cca 30 %) pro beton s cementem CEM třídy N

$f_{ck}/f_{ck,cube}$ [MPa]	Relativní vlhkost v %					
	20	40	60	80	90	100
20/25	0,62	0,58	0,49	0,30	0,17	0
40/50	0,48	0,46	0,38	0,24	0,13	0
60/75	0,38	0,36	0,30	0,19	0,10	0
80/95	0,30	0,28	0,24	0,15	0,08	0
90/105	0,27	0,25	0,21	0,13	0,07	0

Konečná hodnota poměrného smrštění vyvozená vysycháním betonu

$$\varepsilon_{cd,\infty} = k_h \cdot \varepsilon_{cd,0} = 0,000435 \quad k_h = 0,75$$

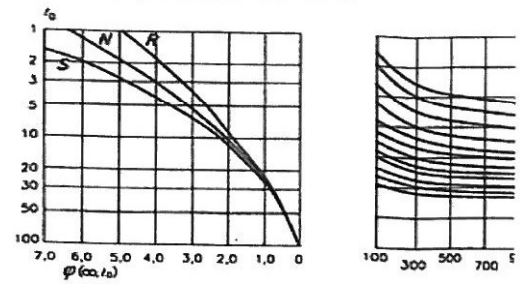
Hodnota autogeního smršťování

$$\varepsilon_{ca}(\infty) = 2,5 \cdot (f_{ck} - 10) \cdot 10^{-6} = 0,000050$$

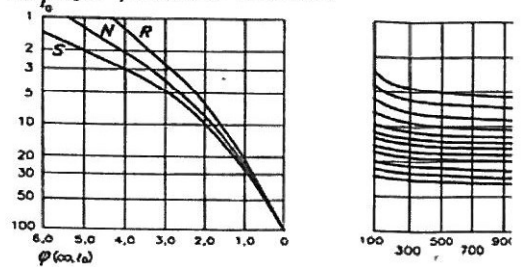
Celkové poměrné smršťování v $\langle t_0 = 7 \text{ dní}, \infty \rangle$

$$\varepsilon_{cs} = \varepsilon_{cd} + \varepsilon_{ca}(\infty) = 0,00049$$

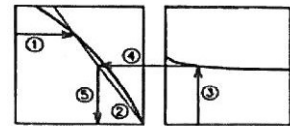
a) vnitřní prostředí—RH=50%



b) vnější prostředí—RH=80%



c)



Obr. 3.15 Stanovení součinitele dotvarování $\varphi(\infty, t_0)$ pro

Materiál

Beton :	C30/37	Výztuž :	B500B
f_{ck} =	30 Mpa	f_{yk} =	500 Mpa
f_{ctm} =	2,9 Mpa	E_s =	200,00 Gpa
E_{cm} =	22,0 Gpa		

Průhyb od kvazistálého zatížení

a) Průřez bez trhlin :

$$\alpha'_e = E_s / E_{c,eff} = 21,318$$

$$A_i = b \cdot h + \alpha'_e a_s = 0,2063929 \text{ m}^2$$

$$a_{gr} = \frac{0,5 \cdot b \cdot h^2 + \alpha'_e \cdot a_s \cdot d}{A_i} = 0,277 \text{ m}$$

$$I_i = \frac{b \cdot h^3}{12} + b \cdot h (a_{gr} - 0,5h)^2 + \alpha'_e a_s \cdot (d - a_{gr})^2 = 0,004484 \text{ m}^4$$

$$m_{cr} = \frac{I_i \cdot f_{cm}}{(h - a_{gr})} = 58,247 \text{ kNm/m}$$

$m_{Ed,q} \leq m_{cr}$ - Pokud je podmínka splněna trhliny nevzniknou

$$m_{Ed,q} = 136 \text{ kN/m} \leq m_{cr} = 58,247 \text{ kN/m} \quad \text{- ohybový moment při vzniku trhlin}$$

Trhliny vzniknou

Ohybová tuhost

$$E_{c,eff} \cdot I_i = 42,073 \text{ MNm}^2$$

Ohybová poddajnost

$$C_{1,lt} = \frac{1}{E_{c,eff} \cdot I_i} = 0,024 \text{ (MN)}^{-1} \text{ m}^{-2}$$

b) Průřez s trhlinou :

$$x = \frac{\alpha'_e \cdot a_s}{b} \left(-1 + \sqrt{1 + \frac{2 \cdot b \cdot d}{\alpha'_e \cdot a_s}} \right) = 0,201396 \text{ m}$$

$$I_{tr} = \frac{b \cdot x^3}{3} + \alpha'_e \cdot a_s \cdot (d - x)^2 = 0,002558 \text{ m}^4$$

Ohybová tuhost
 $E_{c,eff} \cdot I_{rr} = 23,998 \text{ MNm}^2$

Ohybová poddajnost
 $C_{II,lt} = \frac{1}{E_{c,eff} \cdot I_{rr}} = 0,042 \text{ (MN)}^{-1} \text{ m}^{-2}$

Součinitel vystihující tahové zpevnění

$$\xi_{g,lt} = 1 - \beta \left(\frac{M_{cr,lt}}{M_{gk}} \right)^2 = 0,908$$

Součinitele vyjadřující vliv doby nebo opakování zat.

Jednorázové krátkodobé zatížení

Dlouhodobě působící nebo opakované

$$\beta = 0,5$$

Křivost

$$\left(\frac{1}{r} \right)_{g,lt} = M_{gk} \left[(1 - \xi_{g,lt}) C_{I,lt} + \xi_{g,lt} \cdot C_{II,lt} \right] = 0,00544 \text{ m}^{-1}$$

Průhyb od kvazistálého zatížení

rozpětí $l = 6,00 \text{ m}$

$$f_{g,lt} = \frac{5}{48} \left(\frac{1}{r} \right)_{g,lt} \cdot l^2 = 20,414 \text{ mm}$$

Průhyb od smršťování

a) Průřez bez trhlin :

$$\alpha'_e = E_s / E_{c,eff} = 25,581$$

$$A_i = b \cdot h + \alpha'_e a_s = 0,2126715 \text{ m}^2$$

$$a_{gi} = \frac{0,5 \cdot b \cdot h^2 + \alpha'_e \cdot a_s \cdot d}{A_i} = 0,281 \text{ m}$$

$$I_i = \frac{b \cdot h^3}{12} + b \cdot h (a_{gi} - 0,5h)^2 + \alpha'_e a_s \cdot (d - a_{gi})^2 = 0,004622 \text{ m}^4$$

Pro dlouhodobě působící zatížení

$$E_{c,eff} = \frac{E_{cm}}{(1 + \varphi_{cs})} = 7,82 \text{ Gpa}$$

Statický moment průřezové plochy k těžišti výztuže

$$S_i = A_s \cdot (d - a_{gi}) = 0,0002151 \text{ m}^3$$

$$m_{cr} = \frac{I_i \cdot f_{cm}}{(h - a_{gi})} = 61,260 \text{ kNm/m}$$

b) Průřez s trhlinou :

$$x = \frac{\alpha'_e \cdot a_s}{b} \left(-1 + \sqrt{1 + \frac{2 \cdot b \cdot d}{\alpha'_e \cdot a_s}} \right) = 0,214254 \text{ m}$$

$$I_{rr} = \frac{b \cdot x^3}{3} + \alpha'_e \cdot a_s \cdot (d - x)^2 = 0,002666 \text{ m}^4$$

Statický moment průřezové plochy k těžišti výztuže

$$S_{rr} = A_s \cdot (d - x) = 0,0003140 \text{ m}^3$$

Součinitel vystihující tahové zpevnění

$$\xi_{g,cs} = 1 - \beta \left(\frac{M_{cr,cs}}{M_{gk}} \right)^2 = 0,899$$

Křivost

$$\left(\frac{1}{r} \right)_{cs} = -\varepsilon_{cs} \cdot \alpha'_e \left[(1 - \xi_{g,cs}) \frac{S_i}{I_i} + \xi_{g,cs} \cdot \frac{S_{rr}}{I_{rr}} \right] = 0,001372 \text{ m}^{-1}$$

Průhyb od smršťování

rozpětí $l = 6,00 \text{ m}$

$$f_{g,lt} = \frac{5}{48} \left(\frac{1}{r} \right)_{cs} \cdot l^2 = 5,144 \text{ mm}$$

Posouzení průhybu

- dlouhodobý průhyb od kvazistělé kombinace zatížení včetně smršťování

$$f_{lt} = f_{g,lt} + f_{cs} = 25,558 \text{ mm} \leq f_{lim,lt} = \frac{L}{250} = 24 \text{ mm} \quad \text{Nevyhovuje}$$

Prvek Průvlak 350/500-horní výztuž

Posouzení obdélníku

Rozpětí stropní kce L = 6 m

Vstupní údaje

Stupeň vlivu prostředí: XC1
Návrhová životnost: 80 let
Požární odolnost: REI
Materiály:

Zadání vnitřních sil

$m_{Ed} = 275$ kNm
 $m_{Ed,q} = 184,00$ kNm
 $m_{Ed,ch} = 197,00$ kNm
 $V_{Ed} = 295$ kN

Zadání geometrie

h = 500 mm
b = 350 mm

Třída betonu :	C30/37	Výztuž :	B500B
$f_{ck} = 30$ Mpa		$f_{yk} = 500$ Mpa	
$\alpha_{cc} = 1$	v ČR se uvažuje hodnotou 1	$\gamma_s = 1,15$	součinitel spolehlivosti materiálu
$\gamma_c = 1,50$	součinitel spolehlivosti materiálu	$E_s = 200,00$ Gpa	
$f_{ctm} = 2,9$ Mpa		$f_{yk} = \frac{f_{yk}}{\gamma_s} = 434,78$ Mpa	
$E_{cm} = 32,8$ Gpa		$\epsilon_{yd} = \frac{f_{yk}}{E_s} = 2,17$ [‰]	
$\epsilon_{cu3} = 3,5$ [‰]			

Rovnoměrné rozdělení napětí betonu v tlaku po výšce λx

$$\eta = \frac{1}{\lambda} \quad \xi_{bal,1} = \frac{\epsilon_{cu3}}{\epsilon_{cu3} + \epsilon_{cu3}} = 0,617$$

- bilineární pracovní diagram s vodorovnou horní větví bez omezeného přetvoření

Zadání plochy výztuže

Vrstva
Profil ve vrstvě
Počet prutů
Krytí profilu
Plocha na 1 mb
Celková plocha
Teoretická osa plochy výztuže
Účinná výška průřezu
Vzdálenost mezi pruty
Min světlost mezi pruty

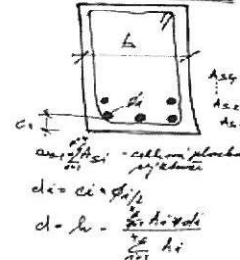
	37 mm	37 mm	37 mm	37 mm
i =	1	2	3	4
ϕ i =	25	0	0	0
ks =	3	0	0	0
ci =	60	0	0	0
ai =	1473	0	0	0
$a_{s1} =$	1473			
$d_1 =$	73			
$d =$	428			

min. vzdálenosti prutů
 $s_{min} = \max(k_1 \cdot \phi, d_g + k_2 \cdot 20mm)$

$$s_{min} = 37 \text{ mm}$$

$k_1 = 1,2$
 $k_2 = 5$
 $d_g = 32 \text{ mm}$

TRAM - OSY PRUTŮ



Posouzení

$$x = \frac{a_{s1} \cdot f_{yd}}{b \cdot \lambda \cdot \eta \cdot f_{cd}} = 114,3 \text{ mm}$$

$$\xi = \frac{x}{d} = 0,2674 < \xi_{bal,1} = 0,617$$

Vyhovuje

$$m_{Rd} = a_{s1} \cdot f_{yk} \cdot (d - 0,5 \cdot \lambda \cdot x) = 244,43 \text{ kNm/m}$$

$$m_{Ed} = 275 < m_{Rd} = 244,43 \text{ kNm/m}$$

Nevyhovuje !!!

Kontrola vyztužení

$$a_{s,min} = \max \left\{ \frac{0,26 \cdot f_{ctm} \cdot b_t \cdot d}{f_{yk}}; 0,0013 \cdot b_t \cdot d \right\}$$

$$a_{s1} = 1473 > a_{s,min} = 225,4 \text{ mm}^2$$

Vyhovuje

$$a_{s,min} \geq \frac{0,26 \cdot f_{ctm} \cdot b_t \cdot d}{f_{yk}} = 225,36 \text{ mm}^2$$

$$a_{s,min} \geq 0,0013 \cdot b_t \cdot d = 194,51 \text{ mm}^2$$

$$a_{s1} \leq 0,04 A_c = 20000 \text{ mm}^2 > a_{s1} = 1473 \text{ mm}^2$$

Vyhovuje

Smyk

$$\min(V_{Rd,max}) = v \cdot f_{cd} \cdot b_w \cdot z \cdot \left(\frac{\cot \Theta}{1 + \cot^2 \Theta} \right) = 486,555 \text{ kN}$$

$\cot \Theta = 2,5$ - volíme

$$v = 0,6 \left[1 - \frac{f_{ck}}{250} \right] = 0,528$$

$$z = d - 0,5 \cdot \lambda \cdot x = 382 \text{ mm}$$

$|V_{Ed}| \leq \min(V_{Rd,max}) \rightarrow$ Lze navrhnout smykovou výztuž za předpokladu $\cot \Theta = 2,5$

Třmínky

n = 2 počet stříhů na třmínku
 ϕ i = 8 mm - profil třmínku
a = 140 mm - osová vzdálenost třmínků
 $A_{sw} = 101 \text{ mm}^2$ - plocha třmínků
 $a \leq s_{min}$

Osová vzdálenost třmínků je OK

$$V_{Rd,s} = \frac{A_{sw} \cdot f_{yw} \cdot z \cdot \cot \Theta}{s} = 297,98 \text{ kN}$$

$$|V_{Ed}| = 295 \text{ kN} \leq V_{Rd,s} = 297,98 \text{ kN}$$

Navrhnutý třmínek vyhovuje

Návrh konstrukční smykové výztuže

- vzdálenost třmínků
 $s \leq 0,75 \cdot d = 320,6 \text{ mm}$
 $s \leq 400 \text{ mm}$
 $s_{vr,min} = 320,625$

- omezení stupně vyztužení

$$\rho_w = \frac{A_{sw}}{b_w \cdot s} \geq \rho_{w,min} = 0,08 \cdot \frac{\sqrt{f_{ck}}}{f_{yk}}$$

$$\rho_{w,min} = 0,08 \cdot \frac{\sqrt{f_{ck}}}{f_{yk}} = 0,00088$$

$$s_w = \frac{A_{sw}}{b_w \cdot \rho_{w,min}} = 327,76 \text{ mm}$$

$$s_{min} = \min(s_{vr,min}, s_w) = 320,63 \text{ mm}$$

Prvek Průvlak 350/500-horní výztuž

Posouzení obdélníku

Rozpětí stropní kce L = 6 m

Vstupní údaje

Stupeň vlivu prostředí XC1
Návrhová životnost 80 let
Požární odolnost REI
Materiály:

Zadání vnitřních sil

$m_{Ed} = 275$ kNm
 $m_{Ed,q} = 184,00$ kNm
 $m_{Ed,chl} = 197,00$ kNm
 $V_{Ed} = 295$ kN

Zadání geometrie

h = 500 mm
b = 350 mm

Třída betonu :	C30/37	Výztuž :	B500B
$f_{ck} = 30$ Mpa $\alpha_{cc} = 1$ $\gamma_c = 1,50$ $f_{ctm} = 2,9$ Mpa $E_{cm} = 32,8$ Gpa $\epsilon_{cu3} = 3,5$ [%]	C30/37	$f_{yk} = 500$ Mpa $\gamma_s = 1,15$ $E_s = 200,00$ Gpa $f_{sd} = \frac{f_{yk}}{\gamma_s} = 434,78$ Mpa $\epsilon_{yd} = \frac{f_{sd}}{E_s} = 2,17$ [%]	B500B

Rovnoměrné rozdělení napětí betonu v tlaku po výšce λx
 $\eta = 1$
 $\lambda = 0,8$
 $\xi_{bal,1} = \frac{\epsilon_{cu3}}{\epsilon_{cu3} + \epsilon_{st3}} = 0,617$

- bilineární pracovní diagram s vodorovnou horní větví bez omezeného přetvoření

Zadání plochy výztuže

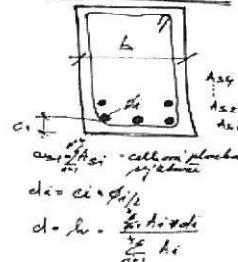
Vrstva
Profil ve vrstvě
Počet prutů
Krytí profilu
Plocha na 1 mb
Celková plocha
Teoretická osa plochy výztuže
Účinná výška průřezu
Vzdálenost mezi pruty
Min světlost mezi pruty

	37 mm	37 mm	37 mm	37 mm
i =	1	2	3	4
$\phi_i =$	25	0	0	0
ks =	3	0	0	0
ci =	60	0	0	0
ai =	1473	0	0	0
$a_{s1} =$	1473			
$d_1 =$	73			
$d =$	428			
$s_1 =$	78 mm			

min. vzdálenosti prutů
 $s_{min} = \max(k_1 \cdot \phi, d_g + k_2, 20mm)$

$s_{min} = 37$ mm
 $k_1 = 1,2$
 $k_2 = 5$
 $d_g = 32$ mm

TRAM - OSY VÝSTUŽE



Posouzení

$x = \frac{a_{s1} \cdot f_{yd}}{b \cdot \lambda \cdot \eta \cdot f_{cd}} = 114,3$ mm
 $\xi = \frac{x}{d} = 0,2674 < \xi_{bal,1} = 0,617$
Vyhovuje

$m_{Rd} = a_{s1} \cdot f_{yd} \cdot (d - 0,5 \lambda x) = 244,43$ kNm/m
 $m_{Ed} = 275 < m_{Rd} = 244,43$ kNm/m
Nevyhovuje !!!

Kontrola vyztužení

$a_{s,min} = \max \left\{ \frac{0,26 \cdot f_{ctm} \cdot b_l \cdot d}{f_{yk}}; 0,0013 \cdot b_l \cdot d \right\}$
 $a_{s1} = 1473 > a_{s,min} = 225,4$ mm²
Vyhovuje

$a_{s,min} \geq \frac{0,26 \cdot f_{ctm} \cdot b_l \cdot d}{f_{yk}} = 225,36$ mm²
 $a_{s,min} \geq 0,0013 \cdot b_l \cdot d = 194,51$ mm²

$a_{s1} \leq 0,04 A_c = 20000$ mm² > $a_{s1} = 1473$ mm²
Vyhovuje

Smyk

$\min(V_{Rd,max}) = v \cdot f_{cd} \cdot b_w \cdot z \cdot \left(\frac{\cot \Theta}{1 + \cot^2 \Theta} \right) = 486,555$ kN
 $\cot \Theta = 2,5 - volime$

$v = 0,6 \left[1 - \frac{f_{ck}}{250} \right] = 0,528$
 $z = d - 0,5 \cdot \lambda \cdot x = 382$ mm

$|V_{Ed}| \leq \min(V_{Rd,max}) \rightarrow$ Lze navrhnout smykovou výztuž za předpokladu $\cot \Theta = 2,5$

Třmínky

n = 2 počet stříhů na třmínku
 $\phi_i = 8$ mm - profil třmínku
a = 140 mm - osová vzdálenost třmínků
 $A_{sw} = 101$ mm² - plocha třmínků
 $a \leq s_{min}$

Osová vzdálenost třmínků je OK

$V_{rd,s} = \frac{A_{sw} \cdot f_{yd}}{s} \cdot z \cdot \cot \Theta = 297,98$ kN

$|V_{Ed}| = 295$ kN $\leq V_{rd,s} = 297,98$ kN

Navrhnutý třmínek vyhovuje

Návrh konstrukční smykové výztuže

- vzdálenost třmínků
 $s \leq 0,75 \cdot d = 320,6$ mm
 $s \leq 400$ mm
 $s_{v,min} = 320,625$

- omezení stupně vyztužení
 $\rho_w = \frac{A_{sw}}{b_w \cdot s} \geq \rho_{w,min} = 0,08 \cdot \frac{\sqrt{f_{ck}}}{f_{yk}}$
 $\rho_{w,min} = 0,08 \cdot \frac{\sqrt{f_{ck}}}{f_{yk}} = 0,00088$

$s_w = \frac{A_{sw}}{b_w \cdot \rho_{w,min}} = 327,76$ mm

$s_{min} = \min(s_{v,min}, s_w) = 320,63$ mm

Prvek Průvlak 350/500-horní výztuž

Posouzení obdélníku

Rozpětí stropní kce L = 6 m

Vstupní údaje

Stupeň vlivu prostředí: XC1
Návrhová životnost: 80 let
Požární odolnost: REI
Materiály:

Zadání vnitřních sil

$m_{Ed} = 200$ kNm
 $m_{Ed,q} = 132,00$ kNm
 $m_{Ed,ch} = 143,00$ kNm
 $V_{Ed} = 295$ kN

Zadání geometrie

h = 500 mm
b = 350 mm

Třída betonu :	C30/37	Výztuž :	B500B
$f_{ck} = 30$ Mpa		$f_{yk} = 500$ Mpa	
$\alpha_{cc} = 1$	v ČR se uvažuje hodnotou 1	$\gamma_s = 1,15$	součinitel spolehlivosti materiálu
$\gamma_c = 1,50$	součinitel spolehlivosti materiálu	$E_s = 200,00$ Gpa	
$f_{ctm} = 2,9$ Mpa		$f_{yk} = \frac{f_{yk}}{\gamma_s} = 434,78$ Mpa	
$E_{cm} = 32,8$ Gpa		$\epsilon_{yd} = \frac{f_{yk}}{E_s} = 2,17$ [‰]	
$\epsilon_{cu3} = 3,5$ [‰]			

Rovnoměrné rozdělení napětí betonu v tlaku po výšce λx
 $\eta = 1$
 $\lambda = 0,8$
 $\xi_{bal,1} = \frac{\epsilon_{cu3}}{\epsilon_{cu3} + \epsilon_{cu3}} = 0,617$

- bilineární pracovní diagram s vodorovnou horní větví bez omezeného přetvoření

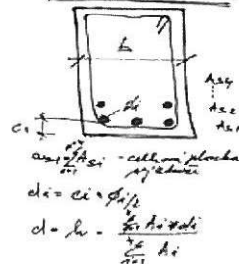
Zadání plochy výztuže

Vrstva	1	2	3	4
Profil ve vrstvě	25	0	0	0
Počet prutů	3	0	0	0
Krytí profilu	60	0	0	0
Plocha na 1 mb	1473	0	0	0
Celková plocha	$a_{s1} = 1473$ mm ²			
Teoretická osa plochy výztuže	$d_1 = 73$ mm			
Účinná výška průřezu	$d = 428$ mm			
Vzdálenost mezi pruty	$s_1 = 78$ mm			
Min světlost mezi pruty	$s \leq s_{s1,max}$ Ok			

min. vzdálenosti prutů

$s_{min} = \max(k_1 \cdot \phi + d_g + k_2, 20mm)$
 $= s_{min} = 37$ mm
 $k_1 = 1,2$
 $k_2 = 5$
 $d_g = 32$ mm

TRAM - ODŽELVĚK



Posouzení

$x = \frac{a_{s1} \cdot f_{yd}}{b \cdot \lambda \cdot \eta \cdot f_{cd}} = 114,3$ mm
 $\xi = \frac{x}{d} = 0,2674 < \xi_{bal,1} = 0,617$
Vyhovuje

$m_{Rd} = a_{s1} \cdot f_{yk} \cdot (d - 0,5 \lambda x) = 244,43$ kNm/m
 $m_{Ed} = 200 < m_{Rd} = 244,43$ kNm/m
 $m_{Ed} < m_{Rd}$ **Vyhovuje**

Kontrola vyztužení

$a_{s,min} = \max \left\{ \frac{0,26 \cdot f_{ctm} \cdot b_t \cdot d}{f_{yk}}, 0,0013 \cdot b_t \cdot d \right\}$
 $a_{s1} = 1473 > a_{s,min} = 225,4$ mm²
 $a_{s1} > a_{s,min}$ **Vyhovuje**
 $a_{s1} \leq 0,04 A_c = 20000$ mm² $> a_{s1} = 1473$ mm²
Vyhovuje

$a_{s,min} \geq \frac{0,26 \cdot f_{ctm} \cdot b_t \cdot d}{f_{yk}} = 225,36$ mm²
 $a_{s,min} \geq 0,0013 \cdot b_t \cdot d = 194,51$ mm²

Smyk

$\min(V_{Rd,max}) = v \cdot f_{cd} \cdot b_w \cdot z \cdot \left(\frac{\cot \Theta}{1 + \cot^2 \Theta} \right) = 486,555$ kN
 $\cot \Theta = 2,5 - volíme$
 $v = 0,6 \left[1 - \frac{f_{ck}}{250} \right] = 0,528$
 $z = d - 0,5 \cdot \lambda \cdot x = 382$ mm
 $|V_{Ed}| \leq \min(V_{Rd,max}) \rightarrow$ **Lze navrhnout smykovou výztuž za předpokladu $\cot \Theta = 2,5$**

Třmínky

n = 2 počet stříhů na třmínku
 ϕ i = 8 mm - profil třmínku
a = 140 mm - osová vzdálenost třmínků
 $A_{sw} = 101$ mm² - plocha třmínků
 $a \leq s_{min}$

Osová vzdálenost třmínků je OK

$V_{Rd,s} = \frac{A_{sw} \cdot f_{yd}}{s} \cdot z \cdot \cot \Theta = 297,98$ kN

$|V_{Ed}| = 295$ kN $\leq V_{Rd,s} = 297,98$ kN

Navrhnutý třmínek vyhovuje

Návrh konstrukční smykové výztuže

- vzdálenost třmínků
 $s \leq 0,75 \cdot d = 320,6$ mm
 $s \leq 400$ mm
 $s_{vr,min} = 320,625$

- omezení stupně vyztužení
 $\rho_w = \frac{A_{sw}}{b_w \cdot s} \geq \rho_{w,min} = 0,08 \cdot \frac{\sqrt{f_{ck}}}{f_{yk}}$
 $\rho_{w,min} = 0,08 \cdot \frac{\sqrt{f_{ck}}}{f_{yk}} = 0,00088$

$s_w = \frac{A_{sw}}{b_w \cdot \rho_{w,min}} = 327,76$ mm

$s_{min} = \min(s_{vr,min}, s_w) = 320,63$ mm

Handwritten signature

Prvek Průvlak 400/500-horní výztuž

Posouzení obdélníku

Rozpětí stropní kce L = 6 m

Vstupní údaje

Stupeň vlivu prostředí: XC1
Návrhová životnost: 80 let
Požární odolnost: REI
Materiály:

Zadání vnitřních sil

$m_{Ed} = 242$ kNm
 $m_{Ed,q} = 155,00$ kNm
 $m_{Ed,ch} = 171,00$ kNm
 $V_{Ed} = 441$ kN

Zadání geometrie

h = 500 mm
b = 400 mm

Třída betonu :	C30/37	Výztuž :	B500B
$f_{ck} = 30$ Mpa $\alpha_{cc} = 1$ $\gamma_c = 1,50$ $f_{ctm} = 2,9$ Mpa $E_{cm} = 32,8$ Gpa $\epsilon_{cu3} = 3,5$ [%]	C30/37 v ČR se uvažuje hodnotou 1 součinitel spolehlivosti materiálu 20,00 Mpa 2,9 Mpa 32,8 Gpa 3,5 [%]	$f_{yk} = 500$ Mpa $\gamma_s = 1,15$ $E_s = 200,00$ Gpa $f_{sd} = \frac{f_{yk}}{\gamma_s} = 434,78$ Mpa $\epsilon_{yd} = \frac{f_{sd}}{E_s} = 2,17$ [%]	B500B součinitel spolehlivosti materiálu

Rovnoměrné rozdělení napětí betonu v tlaku po výšce λx
 $\eta = 1$
 $\lambda = 0,8$
 $\xi_{bal,1} = \frac{\epsilon_{cu3}}{\epsilon_{cu3} + \epsilon_{cu3}} = 0,617$

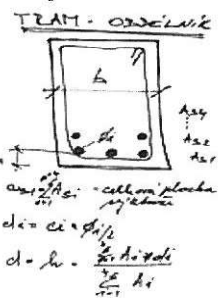
- bilineární pracovní diagram s vodorovnou horní větví bez omezeného přetvoření

Zadání plochy výztuže

Vrstva	1	2	3	4
Profil ve vrstvě	25	0	0	0
Počet prutů	3	0	0	0
Krytí profilu	60	0	0	0
Plocha na 1 mb	1473	0	0	0
Celková plocha	$a_{s1} = 1473$ mm ²			
Teoretická osa plochy výztuže	$d_1 = 73$ mm			
Účinná výška průřezu	$d = 428$ mm			
Vzdálenost mezi pruty	$s_1 = 103$ mm			
Min světlost mezi pruty	$s \leq s_{s1,max}$ Ok			

mín. vzdálenosti prutů
 $s_{min} = \max(k_1 \cdot \phi, d_g + k_2, 20mm)$

$k_1 = 1,2$
 $k_2 = 5$
 $d_g = 32$ mm



Posouzení

$$x = \frac{a_{s1} \cdot f_{yd}}{b \cdot \lambda \cdot \eta \cdot f_{cd}} = 100,0 \text{ mm}$$

$$\xi = \frac{x}{d} = 0,2340 < \xi_{bal,1} = 0,617$$

Vyhovuje

$$m_{Rd} = a_{s1} \cdot f_{yd} \cdot (d - 0,5 \lambda x) = 248,09 \text{ kNm/m}$$

$$m_{Ed} = 242 < m_{Rd} = 248,09 \text{ kNm/m}$$

Vyhovuje

Kontrola vyztužení

$$a_{s,min} = \max \left\{ \frac{0,26 \cdot f_{ctm} \cdot b_t \cdot d}{f_{yk}}; 0,0013 \cdot b_t \cdot d \right\}$$

$$a_{s1} = 1473 > a_{s,min} = 257,6 \text{ mm}^2$$

Vyhovuje

$$a_{s1} \leq 0,04 A_c = 20000 \text{ mm}^2 > a_{s1} = 1473 \text{ mm}^2$$

Vyhovuje

Smyk

$$\min(V_{Rd,max}) = v \cdot f_{cd} \cdot b_w \cdot z \cdot \left(\frac{\cot \Theta}{1 + \cot^2 \Theta} \right) = 564,389 \text{ kN}$$

$$v = 0,6 \left[1 - \frac{f_{ck}}{250} \right] = 0,528$$

$$z = d - 0,5 \cdot \lambda \cdot x = 387 \text{ mm}$$

$|V_{Ed}| \leq \min(V_{Rd,max}) \rightarrow$ **Lze navrhnout smykovou výztuž za předpokladu $\cot \Theta = 2,5$**

Třmínky

n = 2 počet stříhů na třmínku
 $\phi = 10$ mm - profil třmínku
a = 150 mm - osová vzdálenost třmínků
 $A_{sw} = 157$ mm² - plocha třmínků
 $a \leq s_{min}$

Osová vzdálenost třmínků je OK

$$V_{rd,s} = \frac{A_{sw} \cdot f_{yd}}{s} \cdot z \cdot \cot \Theta = 441,06 \text{ kN}$$

$$|V_{Ed}| = 441 \text{ kN} \leq V_{rd,s} = 441,06 \text{ kN}$$

Navrhnutý třmínek vyhovuje

Návrh konstrukční smykové výztuže

- vzdálenost třmínků
 $s \leq 0,75 \cdot d = 320,6$ mm
 $s \leq 400$ mm
 $s_{v,min} = 320,625$

- omezení stupně vyztužení

$$\rho_w = \frac{A_{sw}}{b_w \cdot s} \geq \rho_{w,min} = 0,08 \cdot \frac{\sqrt{f_{ck}}}{f_{yk}}$$

$$\rho_{w,min} = 0,08 \cdot \frac{\sqrt{f_{ck}}}{f_{yk}} = 0,00088$$

$$s_w = \frac{A_{sw}}{b_w \cdot \rho_{w,min}} = 448,10 \text{ mm}$$

$$s_{min} = \min(s_{v,min}, s_w) = 320,63 \text{ mm}$$

Prvek: Průvlak 400/500-horní výztuž

Posouzení obdélníku

Rozpětí stropní kce L = 6 m

Vstupní údaje

Stupeň vlivu prostředí: XC1
Návrhová životnost: 80 let
Požární odolnost: REI
Materiály:

Zadání vnitřních sil

$m_{Ed} = 242$ kNm
 $m_{Ed,q} = 155,00$ kNm
 $m_{Ed,ch} = 171,00$ kNm
 $V_{Ed} = 441$ kN

Zadání geometrie

h = 500 mm
b = 400 mm

Třída betonu :	C30/37	Výztuž :	B500B
$f_{ck} = 30$ Mpa		$f_{yk} = 500$ Mpa	
$\alpha_{cc} = 1$	v ČR se uvažuje hodnotou 1	$\gamma_s = 1,15$	součinitel spolehlivosti materiálu
$\gamma_c = 1,50$	součinitel spolehlivosti materiálu	$E_s = 200,00$ Gpa	
$f_{ctm} = 2,9$ Mpa		$f_{yk} = \frac{f_{yk}}{\gamma_s} = 434,78$ Mpa	
$E_{cm} = 32,8$ Gpa		$\epsilon_{yd} = \frac{f_{yk}}{E_s} = 2,17$ [‰]	
$\epsilon_{cu3} = 3,5$ [‰]			

Rovnoměrné rozdělení napětí betonu v tlaku po výšce λx
 $\eta = 1$
 $\lambda = 0,8$
 $\xi_{bal,1} = \frac{\epsilon_{cu3}}{\epsilon_{cu3} + \epsilon_{cu3}} = 0,617$

- bilineární pracovní diagram s vodorovnou horní větví bez omezeného přetvoření

Zadání plochy výztuže

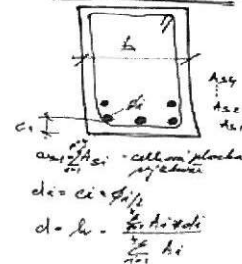
Vrstva
Profil ve vrstvě
Počet prutů
Krytí profilu
Plocha na 1 mb
Celková plocha
Teoretická osa plochy výztuže
Účinná výška průřezu
Vzdálenost mezi pruty
Min světlost mezi pruty

	37 mm	37 mm	37 mm	37 mm
i =	1	2	3	4
$\phi_i =$	25	0	0	0
ks =	3	0	0	0
ci =	60	0	0	0
ai =	1473	0	0	0
$a_{s1} =$	1473			
$d_1 =$	73			
$d =$	428			

min. vzdálenosti prutů
 $s_{min} = \max(k_1 \cdot \phi, d_g + k_2 \cdot 20mm)$

$s_{min} = 37$ mm
 $k_1 = 1,2$
 $k_2 = 5$
 $d_g = 32$ mm

TRAM - OSY PRUTŮ



Posouzení

$x = \frac{a_{s1} \cdot f_{yd}}{b \cdot \lambda \cdot \eta \cdot f_{cd}} = 100,0$ mm
 $\xi = \frac{x}{d} = 0,2340 < \xi_{bal,1} = 0,617$
Vyhovuje

$m_{Rd} = a_{s1} \cdot f_{yk} \cdot (d - 0,5 \cdot \lambda \cdot x) = 248,09$ kNm/m
 $m_{Ed} = 242 < m_{Rd} = 248,09$ kNm/m
Vyhovuje

Kontrola vyztužení

$a_{s,min} = \max \left\{ \frac{0,26 \cdot f_{ctm} \cdot b_t \cdot d}{f_{yk}}, 0,0013 \cdot b_t \cdot d \right\}$
 $a_{s1} = 1473 > a_{s,min} = 257,6$ mm²
Vyhovuje

$a_{s,min} \geq \frac{0,26 \cdot f_{ctm} \cdot b_t \cdot d}{f_{yk}} = 257,55$ mm²
 $a_{s,min} \geq 0,0013 \cdot b_t \cdot d = 222,30$ mm²

$a_{s1} \leq 0,04 A_c = 20000$ mm² > $a_{s1} = 1473$ mm²
Vyhovuje

Smyk

$\min(V_{Rd,max}) = v \cdot f_{cd} \cdot b_w \cdot z \cdot \left(\frac{\cot \Theta}{1 + \cot^2 \Theta} \right) = 564,389$ kN
 $v = 0,6 \left[1 - \frac{f_{ck}}{250} \right] = 0,528$
 $z = d - 0,5 \cdot \lambda \cdot x = 387$ mm
 $|V_{Ed}| \leq \min(V_{Rd,max}) \rightarrow$ **Lze navrhnout smykovou výztuž za předpokladu $\cot \Theta = 2,5$**

Třminky

n = 2 počet stříhů na třmínku
 $\phi_i = 10$ mm - profil třmínku
a = 150 mm - osová vzdálenost třmínků
 $A_{sw} = 157$ mm² - plocha třmínků
 $a \leq s_{min}$

Osová vzdálenost třmínků je OK

$V_{rd,s} = \frac{A_{sw} \cdot f_{yd}}{s} \cdot z \cdot \cot \Theta = 441,06$ kN

$|V_{Ed}| = 441$ kN $\leq V_{rd,s} = 441,06$ kN

Navrhnutý třmínek vyhovuje

Návrh konstrukční smykové výztuže

- vzdálenost třmínků
 $s \leq 0,75 \cdot d = 320,6$ mm
 $s \leq 400$ mm
 $s_{v,min} = 320,625$

- omezení stupně vyztužení

$\rho_w = \frac{A_{sw}}{b_w \cdot s} \geq \rho_{w,min} = 0,08 \cdot \frac{\sqrt{f_{ck}}}{f_{yk}}$
 $\rho_{w,min} = 0,08 \cdot \frac{\sqrt{f_{ck}}}{f_{yk}} = 0,00088$

$s_w = \frac{A_{sw}}{b_w \cdot \rho_{w,min}} = 448,10$ mm

$s_{min} = \min(s_{v,min}, s_w) = 320,63$ mm

Akce: K.Vary, Vědeckotechnický park
 Zpracoval: Ing. Martin Šafařík
 Datum: 8.10.2012
 Prvek: Strop nad 1.NP

POSOUZENÍ ÚNOSNOSTI
 OHÝBANÉHO ŽELEZOBETONOVÉHO PRŮŘEZU
 podle ČSN EN 1992-1-1

Posouzení desky

Rozpětí stropní kce L = 6,5 m

Vstupní údaje

Stupeň vlivu prostředí XC1
 Návrhová životnost 80 let
 Požární odolnost 30 REI

Materiály:

Zadání vnitřních sil

$m_{Ed} = 80$ kNm
 $m_{Ed,q} = 50,00$ kNm
 $m_{Ed,chl} = 60,00$ kNm
 $V_{Ed} = 110$ kN

Zadání geometrie

h = 250 mm

Třída betonu :	C30/37	Výztuž :	B 505 B
$f_{ck} = 30$ Mpa		$f_{yk} = 500$ Mpa	
$\alpha_{cc} = 1$	v ČR se uvažuje hodnotou 1	$\gamma_s = 1,15$	součinitel spolehlivosti materiálu
$\gamma_c = 1,50$	součinitel spolehlivosti materiálu	$E_s = 200,00$ Gpa	
$f_{cd} = \alpha_{cc} \frac{f_{ck}}{\gamma_c} = 20,00$ Mpa		$f_{yd} = \frac{f_{yk}}{\gamma_s} = 434,78$ Mpa	
$f_{ctm} = 2,9$ Mpa		$\epsilon_{yd} = \frac{f_{yd}}{E_s} = 2,17$ [%]	
$E_{cm} = 32,8$ Gpa			
$\epsilon_{cu3} = 3,5$ [%]			

Rovnoměrné rozdělení napětí betonu v tlaku po výšce λx
 $\eta = 1$
 $\lambda = 0,8$
 $\xi_{bal,1} = \frac{\epsilon_{cu3}}{\epsilon_{cu3} + \epsilon_{cu3}} = 0,617$

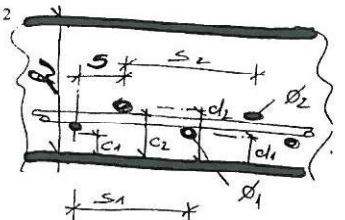
- bilineární pracovní diagram s vodorovnou horní větví bez omezeného přetvoření

Zadání plochy výztuže

Vrstva
 Profil ve vrstvě
 Osová vzdálenost
 Krytí profilu
 Plocha na 1 mb
 Celková plocha
 Teoretická osa plochy výztuže
 Účinná výška průřezu

	37 mm	37 mm	37 mm	37 mm
i =	1	2	3	4
$\phi_i =$	12	0		
$s_i =$	120	0		
$c_i =$	30	0		
$a_i =$	942	0	0	0
$a_{s1} =$	942			
$d_1 =$	36			
$d =$	214			

min. vzdálenosti prutů
 $s_{min} = \max(k_1 \cdot \phi, d_g + k_2, 20mm)$
 $= s_{min} = 37$ mm
 $k_1 = 1,2$
 $k_2 = 5$
 $d_g = 32$ mm



Posouzení

$x = \frac{a_{s1} * f_{yd}}{b * \lambda * \eta * f_{cd}} = 25,6$ mm
 $\xi = \frac{x}{d} = 0,1196767 < \xi_{bal,1} = 0,617$
Vyhovuje

$m_{Rd} = a_{s1} f_{yd} (d - 0.5 \lambda x) = 83,49$ kNm/m
 $m_{Ed} = 80 < m_{Rd} = 83,49$ kNm/m
 $m_{Ed} < m_{Rd}$ **Vyhovuje**

Kontrola vyztužení

$a_{s,min} = \max \left\{ \frac{0,26 * f_{ctm} * b_t * d}{f_{yk}}; 0,0013 * b_t * d \right\}$
 $a_{s1} = 942 > a_{s,min} = 322,3$ mm²
 $a_{s1} > a_{s,min}$ **Vyhovuje**
 $a_{s1} \leq 0,04 A_c = 10000$ mm² $> a_{s1} = 942$ mm²
Vyhovuje

$a_{s,min} \geq \frac{0,26 * f_{ctm} * b_t * d}{f_{yk}} = 322,32$ mm²
 $a_{s,min} \geq 0,0013 * b_t * d = 278,20$ mm²

Konstrukční podmínky

Maximální vzdálenost prutů $s_{s1,max} = 2h \leq 300$ mm = 300 mm
 Výpočet vzdálenosti ze skupiny vložek si s = 120 mm
 $s \leq s_{s1,max}$ $s \geq s_{min}$
Osová vzdálenost prutů - OK
Min. vzdálenost prutů OK

Rozdělovací výztuž

Profil rozdělovací výztuže $\phi_{st} = 8$ mm
 Vzdálenost rozdel. výztuže $s_{st} = 200$ mm
 $A_{st} = 251$ mm²
 Min. rozděl $a_{s,req} = 0,2 * a_{s1} = 188$ mm²
 $A_{st} > a_{s,req}$
Plocha rozdělovací výztuže vyhovuje

Maximální osová vzdálenost
 $s_{max,slab} = \min(3h; 400 \text{ mm}) = 400$ mm
 $s_{st} = 200$ $s_{max,slab} = 400$ mm
 $s_{st} > s_{max,slab}$
Vzdálenost rozdel. výztuže vyhovuje

Smyk

*) u desek nebývá obvykle nutné provádět kontrolu smykové únosnosti

Únosnost ve smyku desky bez smykové výztuže

$$v_{Rd,c} = C_{Rd,c} \cdot k \cdot (100 \cdot \rho \cdot f_{ck})^{1/3} \cdot b_w \cdot d = 119,40 \text{ kN/m}$$

s minimální hodnotou

$$v_{Rd,c} = v_{min} \cdot b_w \cdot d$$

$$C_{Rd,c} = 0,18 / \gamma_c = 0,12$$

$$k = 1 + (200 / d)^{1/2} \leq 2,0 \quad k = 1,96673649$$

$$\rho_1 = a_{s1} / (b_w \cdot d) \leq 0,02 \quad \rho_1 = 0,00440$$

$$v_{min} = 0,035 \cdot k^{3/2} \cdot f_{ck}^{1/2} = 0,529$$

$$v_{Rd,c} \geq v_{min} \cdot b_w \cdot d = 113,15 \text{ kN/m}$$

$$v_{Rd,c} = 119,40 \text{ kN/m} \geq v_{Ed,red} = 110,00 \text{ kN/m}$$

Smyková výztuž není třeba

Kontrola mezního stavu použitelnosti

1) Omezené napětí

- napětí v betonu při quasi-stálé kombinaci zatížení musí být $|\sigma_c| \leq k_2 \cdot f_{ck}, k_2 = 0.45$

- tahové napětí ve výztuži při charakteristickém zatížení nesmí překročit $|\sigma_s| \leq k_3 \cdot f_{yk}, k_3 = 0.80$

pokud je napětí ve výztuži vyvozeno vynuceným přetvořením, je možné použít podmínku $|\sigma_s| \leq k_4 \cdot f_{yk}, k_4 = 1.0$

Průřez bez trhlin :

$$\alpha'_e = E_s / E_{cm} = 6,091$$

$$A_i = b \cdot h + (\alpha_e - 1) a_s = 0,25480 \text{ m}^2$$

$$a_{gt} = \frac{0,5 \cdot b \cdot h^2 + (\alpha_e - 1) \cdot a_s \cdot d}{A_i} = 0,127 \text{ m}$$

$$I_i = \frac{b \cdot h^3}{12} + b \cdot h (a_{gt} - 0,5h)^2 + (\alpha_e - 1) a_s \cdot (d - a_{gt})^2 = 0,001339 \text{ m}^4$$

$$m_{cr} = \frac{I_i \cdot f_{cm}}{(h - a_{gt})} = 31,457 \text{ kNm/m}$$

$m_{Ed,q} \leq m_{cr}$ - Pokud je podmínka splněna trhliny nevzniknou

$$m_{Ed,q} = 50 \text{ kN/m} \leq m_{cr} = 31,457 \text{ kN/m}$$

Trhliny vzniknou

Průřez s trhlinami:

$$x_r = \frac{\alpha_e \cdot a_s}{b} \left(-1 + \sqrt{1 + \frac{2 \cdot b \cdot d}{\alpha_e \cdot a_s}} \right) = 0,0442 \text{ m}$$

$$I_r = \frac{b \cdot x_r^3}{3} + \alpha_e \cdot a_s \cdot (d - x_r)^2 = 0,0001943 \text{ m}^4$$

$$\sigma_c = \frac{m_{Ed,q} \cdot x_r}{I_r} = 11,364 \text{ Mpa} \leq 0,45 \cdot f_{ck} = 13,50 \text{ Mpa} \quad \text{OK}$$

$$\sigma_s = \alpha_e \frac{m_{Ed,ch} \cdot (d - x_r)}{I_r} = 319,459 \text{ Mpa} \leq 0,8 \cdot f_{yk} = 400,00 \text{ Mpa} \quad \text{OK}$$

2) Kontrola trhlin

Výpočet hodnoty $\varepsilon_{sm} - \varepsilon_{cm}$

$$\varepsilon_{sm} - \varepsilon_{cm} = \frac{\sigma_s - k_t \cdot \frac{f_{ct,eff}}{\rho_{p,eff}} (1 + \alpha'_e \cdot \rho_{p,eff})}{E_s} \geq 0,6 \frac{\sigma_s}{E_s}$$

$\sigma_s =$ napětí v tažené výztuži vypočtené na průřezu porušeném trhlinou

$$\sigma_s = 319,459 \text{ Mpa}$$

$$\sigma_s = \alpha_e \frac{m_{Ed, ch} \cdot (d - x_r)}{I_r} =$$

$$\alpha'_e = E_s / E_{cm} = 6,091$$

poměr modulu pružnosti výztuže a betonu

$$\rho_{p,eff} = (a_s + \xi_1^2 \cdot A_p) / A_{c,eff}$$

je účinný stupeň vyztužení efektivní tažené oblasti betonu

$A_{c,eff}$

$$A_{c,eff} = b \cdot h_{c,ef} = 0,0686 \text{ m}^2$$

$$h_{c,ef} = \min\{2,5(h-d), (h-x)/3, h/2\}; \min\{90,00; 68,61; 125\} \Rightarrow h_{c,ef} = 68,61 \text{ mm}$$

Vliv doby trvání zatížení

Krátkodobé zatížení, 0.6

Dlouhodobé zatížení, 0.4

$$k_t = 0,4$$

$$a_s = 942 \text{ mm}^2$$

$$a_p = 0 \text{ předpínací výztuž}$$

$$\rho_{p,eff} = (a_s) / A_{c,eff} = 0,01374$$

$$f_{ct,eff} = 2,9 \text{ Mpa} - \text{trhliny jsou očekávány po 28 dnech} \quad f_{ct,eff} = f_{ctm}$$

$$\varepsilon_{sm} - \varepsilon_{cm} = 0,001140 \geq 0,6 \frac{\sigma_s}{E_s} = 0,0009584$$

$$\varepsilon_{sm} - \varepsilon_{cm} = 0,0011403$$

Výpočet $s_{r,max}$

Případ $s < 5(c+\phi/2)$

$$s_{r,max} = k_3 c + k_1 k_2 k_4 \phi / \rho_{p,eff} = 250,516 \text{ mm}$$

Případ $s > 5(c+\phi/2)$

$$s_{r,max} = 1,3 \cdot (h-x) = 291,71 \text{ mm}$$

c =	30	krytí podélné výztuže
k ₁ =	0,8	pruty s velkou soudružností
k ₂ =	0,5	pro ohyb
k ₃ =	3,4	doporučená hodnota
k ₄ =	0,425	doporučená hodnota
φ =	12	profil prutů

Rozhodnutí podle kterého případu se bude počítat $s_{r,max}$

$$5(c+\phi/2) = 180 \text{ mm}$$

$$\text{vzdálenost výztuže} = 120 \text{ mm}$$

Případ $s \leq 5(c+\phi/2)$

$$s_{r,max} = 250,52 \text{ mm}$$

Kontrola trhlin

$$w_k = s_{r,max} (\varepsilon_{sm} - \varepsilon_{cm}) \leq w_{max}$$

$$w_k = 0,2857 \text{ mm} \leq w_{max} = 0,4 \text{ mm}$$

Šířka trhlin pro dané prostředí vyhovuje

3) Kontrola průhybu

$$\frac{l}{d} \leq \lambda_d$$

$$\lambda_d = \kappa_{c1} \cdot \kappa_{c2} \cdot \kappa_{c3} \cdot \lambda_{d,tab} = 31,65$$

$$\frac{l}{d} = 30,37 \leq \lambda_d = 31,65$$

Není nutné počítat průhyb

Součinitel závisí na tvaru průřezu

$$\kappa_{c1} = 1$$

- $\kappa_{c1} = 0,8$
 $\kappa_{c1} = 1,0$

pro T průřez s poměrem šířkypříruby kšířce žebra větší než 3

v ostatních případech

Součinitel závislý na rozpětí

- rozpětí $l = 6,50$ m

$$\kappa_{c2} = 1,00$$

Součinitel napětí tahové výztuže v extrémně namáhaném průřezu při časté kombinaci provozního zatížení

$$\kappa_{c3} = \frac{310}{\sigma_s} = \frac{500}{f_{yk}} \frac{A_{s,prov}}{A_{s,req}} = 1,04$$

$$A_{s,req} = 903,04 \text{ mm}^2$$

$$A_{s,prov} = 942 \text{ mm}^2$$

Součinitel pro zohlednění různých nosných systémů

- prostě podepřený nosník, prostě podepřená desk
 krajní pole spojitěho nosníku nebo desky
 vnitřní pole nosníku nebo desky
 deska lokálně podepřená
 konzola

$$\kappa = 1,3$$

Referenční stupeň vyztužení

$$\rho_0 = \sqrt{f_{ck}} \cdot 10^{-3} = 0,00548 \geq \rho = 0,00440$$

Geometrický stupeň vyztužení tahovou výztuží

$$\rho = \frac{A_{s,prov}}{b \cdot d} = 0,00440$$

Požadovaný stupeň vyztužení tlakovou výztuží

$$\rho' = 0,00E+00$$

Výpočet podle prvního vzorce

$$\lambda_{d,tab} = \left\langle \begin{array}{l} \left[\kappa \left[11 + 1,5 \sqrt{f_{ck}} \frac{\rho_0}{\rho} + 3,2 \sqrt{f_{ck}} \left(\frac{\rho_0}{\rho} - 1 \right)^{\frac{3}{2}} \right] \right] \text{ pro } \rho \leq \rho_0 \\ \left[\kappa \left[11 + 1,5 \sqrt{f_{ck}} \frac{\rho_0}{\rho - \rho'} + \frac{1}{12} \sqrt{f_{ck}} \frac{\rho'}{\rho_0} \right] \right] \text{ pro } \rho > \rho_0 \end{array} \right\rangle = 30,32$$

Posouzení desky na požární odolnost zjednodušenou zonovou metodou

Vstupní údaje

Stupeň vlivu prostředí **XC1**
 Návrhová životnost **80 let**
 Požární odolnost **30 REI**

Zadání geometrie

$d = 214$ mm
 Třída betonu: **C30/37** $f_{cd} = 20,00$ Mpa
 Výztuž: **B 505 B** $f_{yd} = 434,78$ Mpa

$m_{Ed} = 80$ kNm
 $a = 30$ mm - krytí výztuže $\phi_i = 12$ mm - průměr profilů
 $A_{s,req} = 903$ mm² - plocha výztuže nutné $a_d = 36$ mm - osová vzdálenost od povrchu
 $A_{s,prov} = 942$ mm² - plocha výztuže navrhnuté
 $\gamma_{m,\Phi} = 1,15$ - součinitel spolehlivosti materiálu (doporučeno 1)
 $\eta_{fi} = 0,7$ - redukční součinitel

Kontrola z hlediska navrhované požární odolnosti

Výška desky
 - tl.: desky na **60** \leq **250** mm

Výška desky na požár vyhovuje

Krytí výztuže
 - a desky **10** \leq **36** mm

Krytí výztuže na požár vyhovuje

Typ pnutí desky

- Deska působící v jednom směru
- Deska působící ve dvou směrech $l_y/l_x < 1,5$
- Deska působící ve dvou směrech $1,5 < l_y/l_x < 2$
- Deska lokálně podepřená

Stanovení upravené osové vzdálenosti pokud nevychází krytí výztuže z kontrolního hlediska

Stanovení návrhového napětí výztuže za požáru

$$\sigma_{s,fi} = \eta_{fi} \frac{E_{d,fi}}{E_d} \frac{f_{yk,20^\circ C}}{\gamma_s} \cdot \frac{A_{s,req}}{A_{s,prov}} = 259,03 \text{ Mpa}$$

Hodnota redukčního součinitele

$$k_{s,\Theta_{cr}} = \frac{\sigma_{s,fi}}{f_{yk}} = 0,518$$

Upravená požadovaná osová vzdálenost

$$a' = a + \Delta a = a + 0,1 \cdot (500 - \Theta_{cr}) = 6 \text{ mm}$$

$30 \text{ mm } a' \geq a_d \text{ } 6 \text{ mm}$

Upravená osová vzdálenost OK

Výpočet kritické teploty pro rozmezí teplot 350-700°C

$$\Theta_{cr} = 536,78 \text{ } ^\circ\text{C} \quad \text{Teplota je v rozmezí - OK}$$

Posouzení zjednodušenou metodou

Redukční součinitel pevnosti betonu na povrchu tláčeného betonu

Teplota na straně tláčeného betonu **30**

$$k_{c,\Phi} = 1$$

$$k_{c,\Phi} = 1,0$$

pro $20^\circ\text{C} < \Phi < 100^\circ\text{C}$

$$k_{c,\Phi} = 1,0 - 1,0 \cdot (\Phi - 100) / 500$$

pro $100^\circ\text{C} < \Phi < 600^\circ\text{C}$

$$f_{cd,\Phi} = \frac{k_{c,\Phi} \cdot f_{ck}}{\gamma_{m,\Phi}} = 26,09 \text{ Mpa}$$

Stanovení redukčního součinitele na základě

osové vzdálenosti výztuže od povrchu betonu $a_d = 36$ mm

$$k_{s,\Phi} = 1,000 \quad \text{Požární odolnost} = 30 \text{ REI}$$

Redukovaná pevnost výztuže

$$f_{yd,\Phi} = \frac{k_{s,\Phi} \cdot f_{yk}}{\gamma_{m,\Phi}} = 434,78 \text{ Mpa}$$

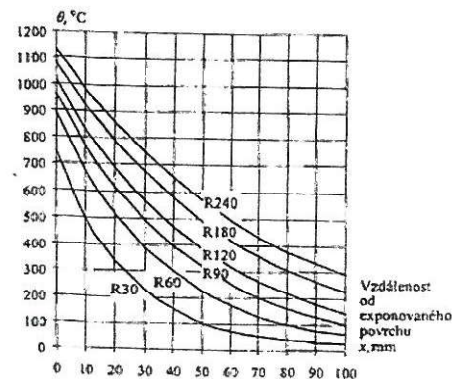
$$x = \frac{A_{s,prov} \cdot f_{yd,\Phi}}{b \cdot \eta \cdot \lambda \cdot f_{cd,\Phi}} = 19,63 \text{ mm} \quad \text{Teplota z grafu } 250 \text{ } ^\circ\text{C}$$

$$m_{Rd,\Phi} = a_{s,prov} \cdot f_{yd,\Phi} \cdot (d - 0,5 \lambda x) = 84,47 \text{ kNm/m}$$

Účinek zatížení při požáru

$$m_{Ed,\Phi} = \eta_{\Phi} \cdot m_{Ed} = 84,47 \text{ kNm/m}$$

$m_{Rd,\Phi} \geq m_{Ed,\Phi} \quad 56,00 \text{ kNm/m}$



Obr. 2.15 Rozložení teplot pro desku tl. 200 mm pro odolnost do 240 min a vzdálenosti x od exponovaného povrchu

Deska požadavkum na **30 REI** vyhovuje

Moment únosnosti za požáru vychází větší než namáhání při požáru

Akce: K.Vary, Vědeckotechnický park
 Zpracoval: Ing. Martin Šafařík
 Datum: 8.10.2012
 Prvek: Strop nad 1.NP

POSOUZENÍ ÚNOSNOSTI
 OHÝBANÉHO ŽELEZOBETONOVÉHO PRŮŘEZU
 podle ČSN EN 1992-1-1

Posouzení desky

Rozpětí stropní kce L = 6,5 m

Vstupní údaje

Stupeň vlivu prostředí XC1
 Návrhová životnost 80 let
 Požární odolnost 30 REI

Materiály:

Zadání vnitřních sil

$m_{Ed} = 90$ kNm
 $m_{Ed,g} = 60,00$ kNm
 $m_{Ed,ch} = 70,00$ kNm
 $V_{Ed} = 110$ kN

Zadání geometrie

h = 250 mm

Třída betonu :	C30/37	Výztuž :	B 505 B
$f_{ck} = 30$ Mpa		$f_{yk} = 500$ Mpa	
$\alpha_{cc} = 1$	v ČR se uvažuje hodnotou 1	$\gamma_s = 1,15$	součinitel spolehlivosti materiálu
$\gamma_c = 1,50$	součinitel spolehlivosti materiálu	$E_s = 200,00$ Gpa	
$f_{cd} = \alpha_{cc} \frac{f_{ck}}{\gamma_c} = 20,00$ Mpa		$f_{yd} = \frac{f_{yk}}{\gamma_s} = 434,78$ Mpa	
$f_{ctm} = 2,9$ Mpa		$\epsilon_{yd} = \frac{f_{yd}}{E_s} = 2,17$ [%]	
$E_{cm} = 32,8$ Gpa			
$\epsilon_{cu3} = 3,5$ [%]			

Rovnoměrné rozdělení napětí betonu v tlaku po výšce λx
 $\eta = 1$
 $\lambda = 0,8$
 $\xi_{bal,1} = \frac{\epsilon_{cu3}}{\epsilon_{cu3} + \epsilon_{cu3}} = 0,617$

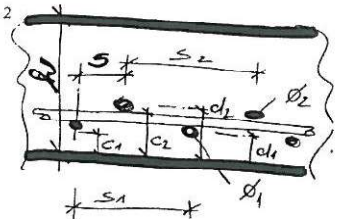
- bilineární pracovní diagram s vodorovnou horní větví bez omezeného přetvoření

Zadání plochy výztuže

Vrstva
 Profil ve vrstvě
 Osová vzdálenost
 Krytí profilu
 Plocha na 1 mb
 Celková plocha
 Teoretická osa plochy výztuže
 Účinná výška průřezu

	37 mm	37 mm	37 mm	37 mm
i =	1	2	3	4
$\phi_i =$	12	0		
$s_i =$	100	0		
$c_i =$	30	0		
$a_i =$	1131	0	0	0
$a_{s1} =$	1131			
$d_1 =$	36			
$d =$	214			

min. vzdálenosti prutů
 $s_{min} = \max(k_1 \cdot \phi, d_g + k_2, 20mm)$
 $= s_{min} = 37$ mm
 $k_1 = 1,2$
 $k_2 = 5$
 $d_g = 32$ mm



Posouzení

$x = \frac{a_{s1} * f_{yd}}{b * \lambda * \eta * f_{cd}} = 30,7$ mm
 $\xi = \frac{x}{d} = 0,143612 < \xi_{bal,1} = 0,617$
Vyhovuje

$m_{Rd} = a_{s1} f_{yd} (d - 0,5 \lambda x) = 99,18$ kNm/m
 $m_{Ed} = 90 < m_{Rd} = 99,18$ kNm/m
 $m_{Ed} < m_{Rd}$ **Vyhovuje**

Kontrola vyztužení

$a_{s,min} = \max \left\{ \frac{0,26 * f_{ctm} * b_t * d}{f_{yk}}; 0,0013 * b_t * d \right\}$
 $a_{s1} = 1131 > a_{s,min} = 322,3$ mm²
 $a_{s1} > a_{s,min}$ **Vyhovuje**
 $a_{s1} \leq 0,04 A_c = 10000$ mm² $> a_{s1} = 1131$ mm²
Vyhovuje

$a_{s,min} \geq \frac{0,26 * f_{ctm} * b_t * d}{f_{yk}} = 322,32$ mm²
 $a_{s,min} \geq 0,0013 * b_t * d = 278,20$ mm²

Konstrukční podmínky

Maximální vzdálenost prutů $s_{s1,max} = 2h \leq 300$ mm = 300 mm
 Výpočet vzdálenosti ze skupiny vložek si s = 100 mm
 $s \leq s_{s1,max}$ $s \geq s_{min}$
Osová vzdálenost prutů - OK
Min. vzdálenost prutů OK

Rozdělovací výztuž

Profil rozdělovací výztuže $\phi_{st} = 8$ mm
 Vzdálenost rozdělovací výztuže $s_{st} = 200$ mm
 $A_{st} = 251$ mm²
 Min. rozděl $a_{s,req} = 0,2 * a_{s1} = 226$ mm²
 $A_{st} > a_{s,req}$
Plocha rozdělovací výztuže vyhovuje

Maximální osová vzdálenost
 $s_{max,slab} = \min(3h; 400$ mm) = 400 mm
 $s_{st} = 200$ $s_{max,slab} = 400$ mm
 $s_{st} > s_{max,slab}$
Vzdálenost rozdělovací výztuže vyhovuje

Smyk

*) u desek nebývá obvykle nutné provádět kontrolu smykové únosnosti

Únosnost ve smyku desky bez smykové výztuže

$$v_{Rd,c} = C_{Rd,c} \cdot k \cdot (100 \cdot \rho \cdot f_{ck})^{1/3} \cdot b_w \cdot d = 126,88 \text{ kN/m}$$

s minimální hodnotou

$$v_{Rd,c} = v_{min} \cdot b_w \cdot d$$

$$C_{Rd,c} = 0,18 / \gamma_c = 0,12$$

$$k = 1 + (200 / d)^{1/2} \leq 2,0 \quad k = 1,96673649$$

$$\rho_1 = a_{s1} / (b_w \cdot d) \leq 0,02 \quad \rho_1 = 0,00528$$

$$v_{min} = 0,035 \cdot k^{3/2} \cdot f_{ck}^{1/2} = 0,529$$

$$v_{Rd,c} \geq v_{min} \cdot b_w \cdot d = 113,15 \text{ kN/m}$$

$$v_{Rd,c} = 126,88 \text{ kN/m} \geq v_{Ed,red} = 110,00 \text{ kN/m}$$

Smyková výztuž není třeba

Kontrola mezního stavu použitelnosti

1) Omezené napětí

- napětí v betonu při quasi-stálé kombinaci zatížení musí být $|\sigma_c| \leq k_2 \cdot f_{ck}, k_2 = 0.45$

- tahové napětí ve výztuži při charakteristickém zatížení nesmí překročit $|\sigma_s| \leq k_3 \cdot f_{yk}, k_3 = 0.80$

pokud je napětí ve výztuži vyvozeno vynuceným přetvořením, je možné použít podmínku $|\sigma_s| \leq k_4 \cdot f_{yk}, k_4 = 1.0$

Průřez bez trhlin :

$$\alpha'_e = E_s / E_{cm} = 6,091$$

$$A_i = b \cdot h + (\alpha_e - 1) a_s = 0,25576 \text{ m}^2$$

$$a_{gt} = \frac{0,5 \cdot b \cdot h^2 + (\alpha_e - 1) \cdot a_s \cdot d}{A_i} = 0,127 \text{ m}$$

$$I_i = \frac{b \cdot h^3}{12} + b \cdot h (a_{gt} - 0,5h)^2 + (\alpha_e - 1) a_s \cdot (d - a_{gt})^2 = 0,001347 \text{ m}^4$$

$$m_{cr} = \frac{I_i \cdot f_{cm}}{(h - a_{gt})} = 31,713 \text{ kNm/m}$$

$m_{Ed,q} \leq m_{cr}$ - Pokud je podmínka splněna trhliny nevzniknou

$$m_{Ed,q} = 60 \text{ kN/m} \leq m_{cr} = 31,713 \text{ kNm/m}$$

Trhliny vzniknou

Průřez s trhlínami:

$$x_r = \frac{\alpha_e \cdot a_s}{b} \left(-1 + \sqrt{1 + \frac{2 \cdot b \cdot d}{\alpha_e \cdot a_s}} \right) = 0,0478 \text{ m}$$

$$I_r = \frac{b \cdot x_r^3}{3} + \alpha_e \cdot a_s \cdot (d - x_r)^2 = 0,0002267 \text{ m}^4$$

$$\sigma_c = \frac{m_{Ed,q} \cdot x_r}{I_r} = 12,664 \text{ Mpa} \leq 0,45 \cdot f_{ck} = 13,50 \text{ Mpa} \quad \text{OK}$$

$$\sigma_s = \alpha_e \cdot \frac{m_{Ed,ch} \cdot (d - x_r)}{I_r} = 312,512 \text{ Mpa} \leq 0,8 \cdot f_{yk} = 400,00 \text{ Mpa} \quad \text{OK}$$

2) Kontrola trhlin

Výpočet hodnoty $\varepsilon_{sm} - \varepsilon_{cm}$

$$\varepsilon_{sm} - \varepsilon_{cm} = \frac{\sigma_s - k_t \cdot \frac{f_{ct,eff}}{\rho_{p,eff}} (1 + \alpha'_e \cdot \rho_{p,eff})}{E_s} \geq 0,6 \frac{\sigma_s}{E_s}$$

$\sigma_s =$ napětí v tažené výztuži vypočtené na průřezu porušeném trhlinou

$$\sigma_s = 312,512 \text{ Mpa}$$

$$\sigma_s = \alpha_e \frac{m_{Ed, ch} \cdot (d - x_r)}{I_r} =$$

$$\alpha'_e = E_s / E_{cm} = 6,091 \quad \text{poměr modulu pružnosti výztuže a betonu}$$

$$\rho_{p,eff} = (a_s + \xi_1^2 \cdot A_p) / A_{c,eff} \quad \text{je účinný stupeň vyztužení efektivní tažené oblasti betonu}$$

$$A_{c,eff} = b \cdot h_{c,ef} = 0,0674 \text{ m}^2$$

$$h_{c,ef} = \min\{2,5(h-d), (h-x)/3, h/2\}; \min\{90,00; 67,39; 125\} \quad \} h_{c,ef} = 67,39 \text{ mm}$$

Vliv doby trvání zatížení

Krátkodobé zatížení, 0.6

Dlouhodobé zatížení, 0.4

$$k_t = 0,4$$

$$a_s = 1131 \text{ mm}^2$$

$$a_p = 0 \text{ předpínací výztuž}$$

$$\rho_{p,eff} = (a_s) / A_{c,eff} = 0,01678$$

$$f_{ct,eff} = 2,9 \text{ Mpa} - \text{trhliny jsou očekávány po 28 dnech} \quad f_{ct,eff} = f_{ctm}$$

$$\varepsilon_{sm} - \varepsilon_{cm} = 0,001182 \geq 0,6 \frac{\sigma_s}{E_s} = 0,0009375$$

$$\varepsilon_{sm} - \varepsilon_{cm} = 0,0011821$$

Výpočet $s_{r,max}$

Případ $s < 5(c + \phi/2)$

$$s_{r,max} = k_3 c + k_1 k_2 k_4 \phi / \rho_{p,eff} = 223,546 \text{ mm}$$

Případ $s > 5(c + \phi/2)$

$$s_{r,max} = 1,3 \cdot (h - x) = 285,05 \text{ mm}$$

c =	30	krytí podélné výztuže
k ₁ =	0,8	pruty s velkou soudružností
k ₂ =	0,5	pro ohyb
k ₃ =	3,4	doporučená hodnota
k ₄ =	0,425	doporučená hodnota
φ =	12	profil prutů

Rozhodnutí podle kterého případu se bude počítat $s_{r,max}$

$$5(c + \phi/2) = 180 \text{ mm}$$

$$\text{vzdálenost výztuže} = 100 \text{ mm}$$

Případ $s \leq 5(c + \phi/2)$

$$s_{r,max} = 223,55 \text{ mm}$$

Kontrola trhlin

$$w_k = s_{r,max} (\varepsilon_{sm} - \varepsilon_{cm}) \leq w_{max}$$

$$w_k = 0,2643 \text{ mm} \leq w_{max} = 0,4 \text{ mm}$$

Šířka trhlin pro dané prostředí vyhovuje

3) Kontrola průhybu

$$\frac{l}{d} \leq \lambda_d$$

$$\lambda_d = \kappa_{c1} \cdot \kappa_{c2} \cdot \kappa_{c3} \cdot \lambda_{d,tab} = 28,13$$

$$\frac{l}{d} = 30,37 \leq \lambda_d = 28,13$$

Nutné posoudit pruhyb s vlivem smršťování a dotvarování

Součinitel závislí na tvaru průřezu

$$\kappa_{c1} = 1$$

- $\kappa_{c1} = 0,8$
 $\kappa_{c1} = 1,0$

pro T průřez s poměrem šířkypříruby kšířce žebra větší než 3

v ostatních případech

Součinitel závislí na rozpětí

- rozpětí $l = 6,50$ m

$$\kappa_{c2} = 1,00$$

Součinitel napětí tahové výztuže v extrémně namáhaném průřezu při časté kombinaci provozního zatížení

$$\kappa_{c3} = \frac{310}{\sigma_s} = \frac{500}{f_{yk}} \frac{A_{s,prov}}{A_{s,req}} = 1,10$$

$$A_{s,req} = 1026,24 \text{ mm}^2$$

$$A_{s,prov} = 1131 \text{ mm}^2$$

Součinitel pro zohlednění různých nosných systémů

- prostě podepřený nosník, prostě podepřená desk
 krajní pole spojitého nosníku nebo desky
 vnitřní pole nosníku nebo desky
 deska lokálně podepřená
 konzola

$$\kappa = 1,3$$

Referenční stupeň vyztužení

$$\rho_0 = \sqrt{f_{ck}} \cdot 10^{-3} = 0,00548 \geq \rho = 0,00528$$

Geometrický stupeň vyztužení tahovou výztuží

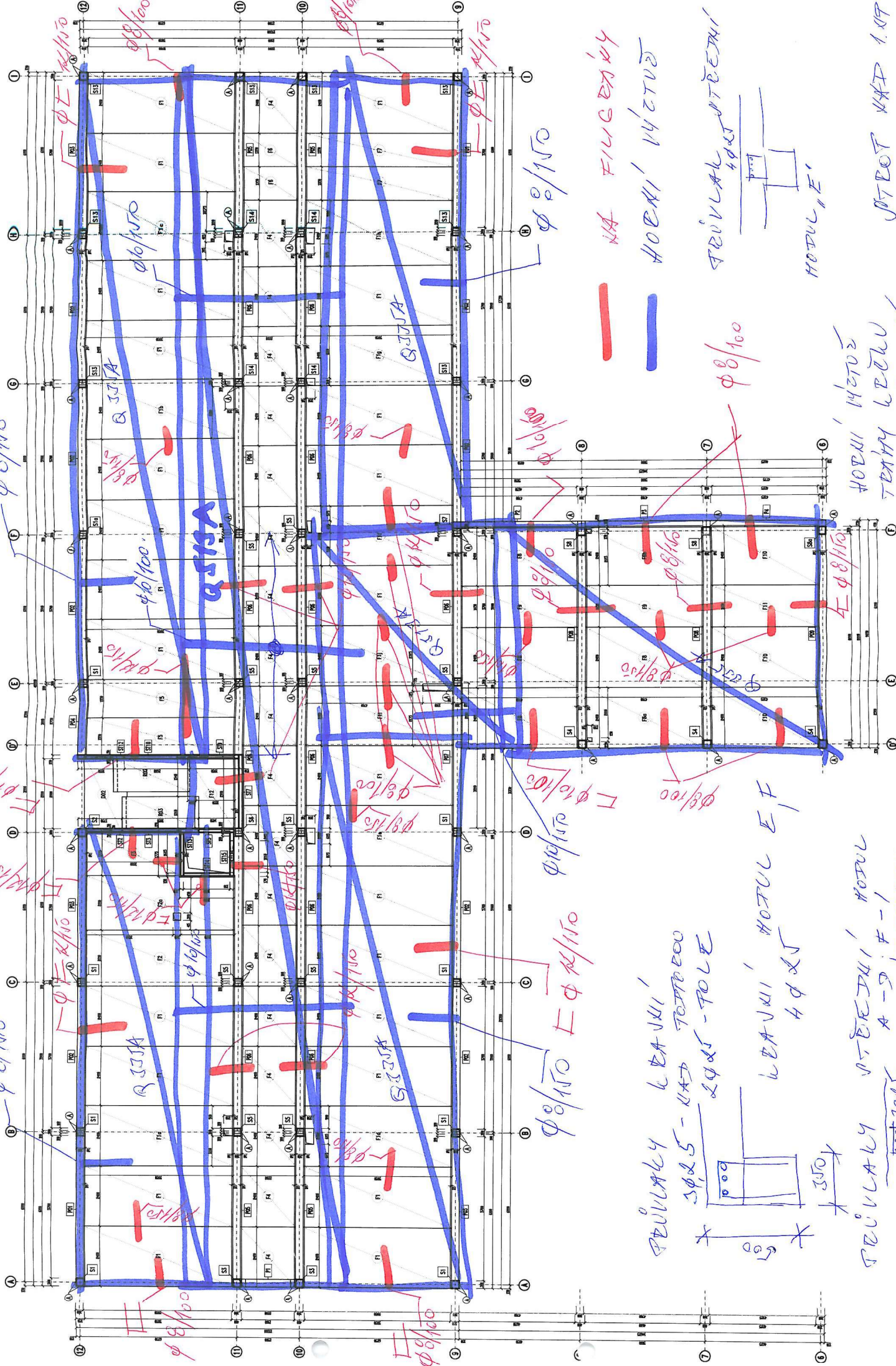
$$\rho = \frac{A_{s,prov}}{b \cdot d} = 0,00528$$

Požadovaný stupeň vyztužení tlakovou výztuží

$$\rho' = 0,00E+00$$

Výpočet podle prvního vzorce

$$\lambda_{d,tab} = \left\langle \begin{array}{l} \kappa \left[11 + 1,5 \sqrt{f_{ck}} \frac{\rho_0}{\rho} + 3,2 \sqrt{f_{ck}} \left(\frac{\rho_0}{\rho} - 1 \right)^{\frac{3}{2}} \right] \text{ pro } \rho \leq \rho_0 \\ \kappa \left[11 + 1,5 \sqrt{f_{ck}} \frac{\rho_0}{\rho - \rho'} + \frac{1}{12} \sqrt{f_{ck}} \frac{\rho'}{\rho_0} \right] \text{ pro } \rho > \rho_0 \end{array} \right\rangle = 25,53$$



КА ФУНДАМЕНТ

ГОРНИЙ ВІЗУС

ПРИВАЛКА 40x45



МОДУЛЬ

ГОРНИЙ ВІЗУС

ІІІ

ГОРНИЙ ВІЗУС
ТЕПЛИЙ ЛІСТУВ



40x45

$\phi 8/100$

$\phi 8/150$

ПРИВАЛКА

40x45 - КАД ПИТОРОС

40x45

ЛІСТУВ

ГОРНИЙ ВІЗУС

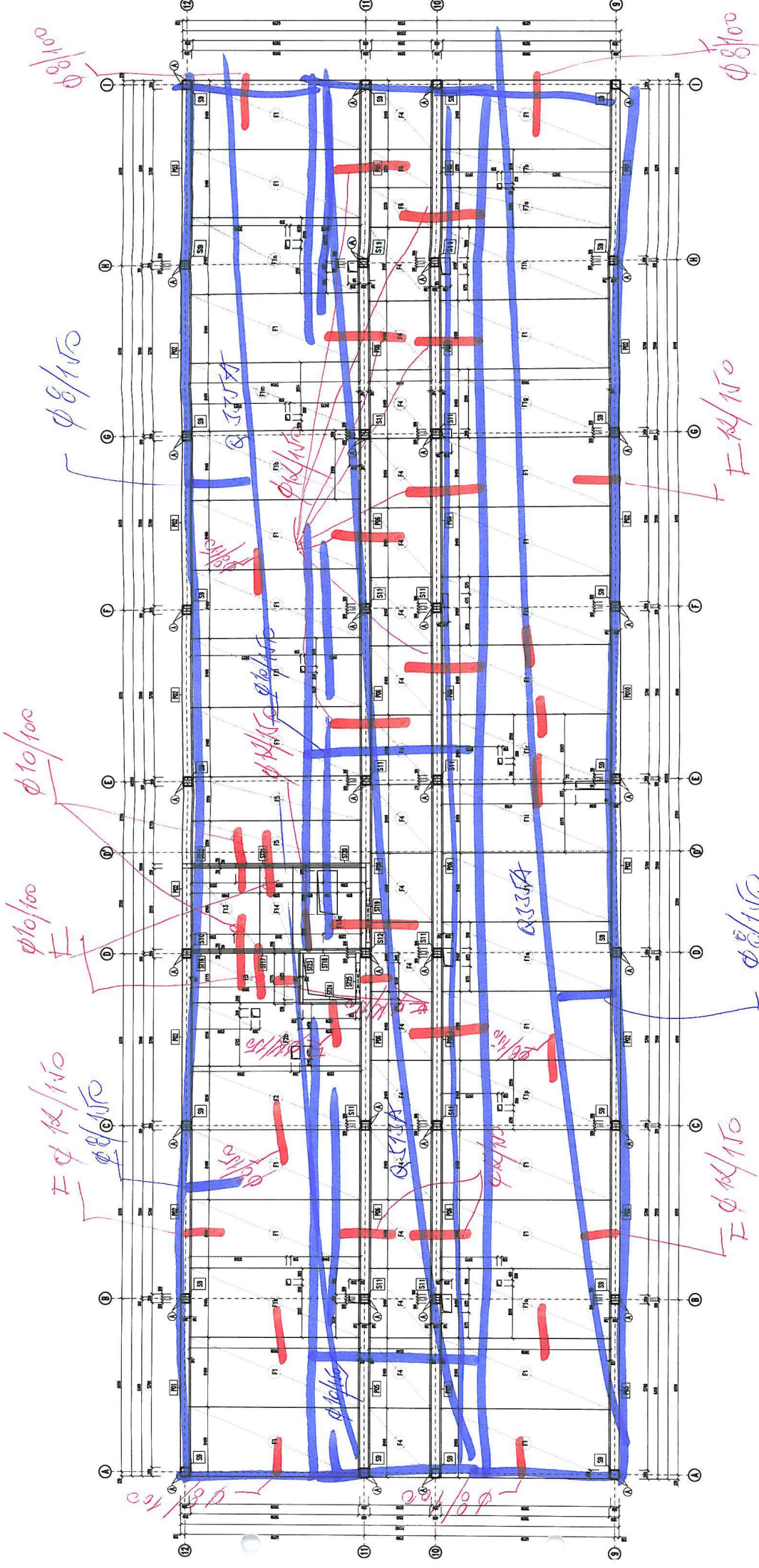
А-Д ПИТОРОС

КАД ПИТОРОС



40x45 - ПІ

ОБЪЕКТ II А III.



ФУНДАКЪ ЛЕЖАЧИ
 ЗФЛС
 ЛФЛС-ТОЛЕ

ФУНДАКЪ УСТЕЖИ
 ЛФЛС-МАД
 ЛФЛС-ТОЛЕ

СТЕОФ МАД МАД
 115

Akce: K.Vary, Vědeckotechnický park
 Zpracoval: Ing. Martin Šafařík
 Datum: 8.10.2012
 Prvek: Strop nad 1.NP -horní výztuž

POSOUZENÍ ÚNOSNOSTI
 OHÝBANÉHO ŽELEZOBETONOVÉHO PRŮŘEZU
 podle ČSN EN 1992-1-1

Posouzení desky

Rozpětí stropní kce L = 6,5 m

Vstupní údaje

Stupeň vlivu prostředí XC1
 Návrhová životnost 80 let
 Požární odolnost 30 REI

Materiály:

Zadání vnitřních sil

$m_{Ed} = 82$ kNm
 $m_{Ed,q} = 53,00$ kNm
 $V_{Ed} = 110$ kN
 $m_{Ed,ch} = 58,00$ kNm

Zadání geometrie

h = 250 mm

Třída betonu :	C30/37	Výztuž :	B 505 B
$f_{ck} = 30$ Mpa		$f_{yk} = 500$ Mpa	
$\alpha_{cc} = 1$ v ČR se uvažuje hodnotou 1		$\gamma_s = 1,15$ součinitel spolehlivosti materiálu	
$\gamma_c = 1,50$ součinitel spolehlivosti materiálu		$E_s = 200,00$ Gpa	
$f_{cd} = \alpha_{cc} \frac{f_{ck}}{\gamma_c} = 20,00$ Mpa		$f_{yd} = \frac{f_{yk}}{\gamma_s} = 434,78$ Mpa	
$f_{ctm} = 2,9$ Mpa		$\epsilon_{yd} = \frac{f_{yd}}{E_s} = 2,17$ [‰]	
$E_{cm} = 32,8$ Gpa			
$\epsilon_{cu3} = 3,5$ [‰]			

Rovnoměrné rozdělení napětí betonu v tlaku po výšce λx

$\eta = 1$
 $\lambda = 0,8$
 $\xi_{bal,1} = \frac{\epsilon_{cu3}}{\epsilon_{cu3} + \epsilon_{cu3}} = 0,617$

- bilineární pracovní diagram s vodorovnou horní větví bez omezeného přetvoření

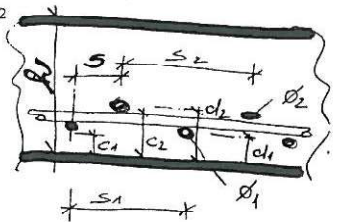
Zadání plochy výztuže

Vrstva
 Profil ve vrstvě
 Osová vzdálenost
 Krytí profilu
 Plocha na 1 mb
 Celková plocha
 Teoretická osa plochy výztuže
 Účinná výška průřezu

	37 mm	37 mm	37 mm	37 mm
i =	1	2	3	4
$\phi_i =$	12	0		
$s_i =$	120	0		
$c_i =$	30	0		
$a_i =$	942	0	0	0
$a_{s1} =$	942			
$d_1 =$	36			
$d =$	214			

min. vzdálenosti prutů

$s_{min} = \max(k_1 \cdot \phi_s \cdot d_g + k_2, 20mm)$
 $= s_{min} = 37$ mm
 $k_1 = 1,2$
 $k_2 = 5$
 $d_g = 32$ mm



Posouzení

$x = \frac{a_{s1} * f_{yd}}{b * \lambda * \eta * f_{cd}} = 25,6$ mm
 $\xi = \frac{x}{d} = 0,1196767 < \xi_{bal,1} = 0,617$
Vyhovuje

$m_{Rd} = a_{s1} f_{yd} (d - 0,5 \lambda x) = 83,49$ kNm/m
 $m_{Ed} = 82 < m_{Rd} = 83,49$ kNm/m
 $m_{Ed} < m_{Rd}$ **Vyhovuje**

Kontrola vyztužení

$a_{s,min} = \max \left\{ \frac{0,26 * f_{ctm} * b_i * d}{f_{yk}}; 0,0013 * b_i * d \right\}$
 $a_{s1} = 942 > a_{s,min} = 322,3$ mm²
 $a_{s1} > a_{s,min}$ **Vyhovuje**
 $a_{s1} \leq 0,04 A_c = 10000$ mm² $> a_{s1} = 942$ mm²
Vyhovuje

$a_{s,min} \geq \frac{0,26 * f_{ctm} * b_i * d}{f_{yk}} = 322,32$ mm²
 $a_{s,min} \geq 0,0013 * b_i * d = 278,20$ mm²

Konstrukční podmínky

Maximální vzdálenost prutů $s_{s1,max} = 2h \leq 300$ mm = 300 mm
 Výpočet vzdálenosti ze skupiny vložek si s = 120 mm
 $s \leq s_{s1,max}$ $s \geq s_{min}$
Osová vzdálenost prutů - OK
Min. vzdálenost prutů OK

Rozdělovací výztuž

Profil rozdělovací výztuže $\phi_{st} = 8$ mm
 Vzdálenost rozdělovací výztuže $s_{st} = 200$ mm
 $A_{st} = 251$ mm²
 Min.rozděl $a_{s,req} = 0,2 * a_{s1} = 188$ mm²
 $A_{st} > a_{s,req}$

Maximální osová vzdálenost

$s_{max,slab} = \min(3h; 400$ mm) = 400 mm
 $s_{st} = 200 < s_{max,slab} = 400$ mm
 $s_{st} > s_{max,slab}$

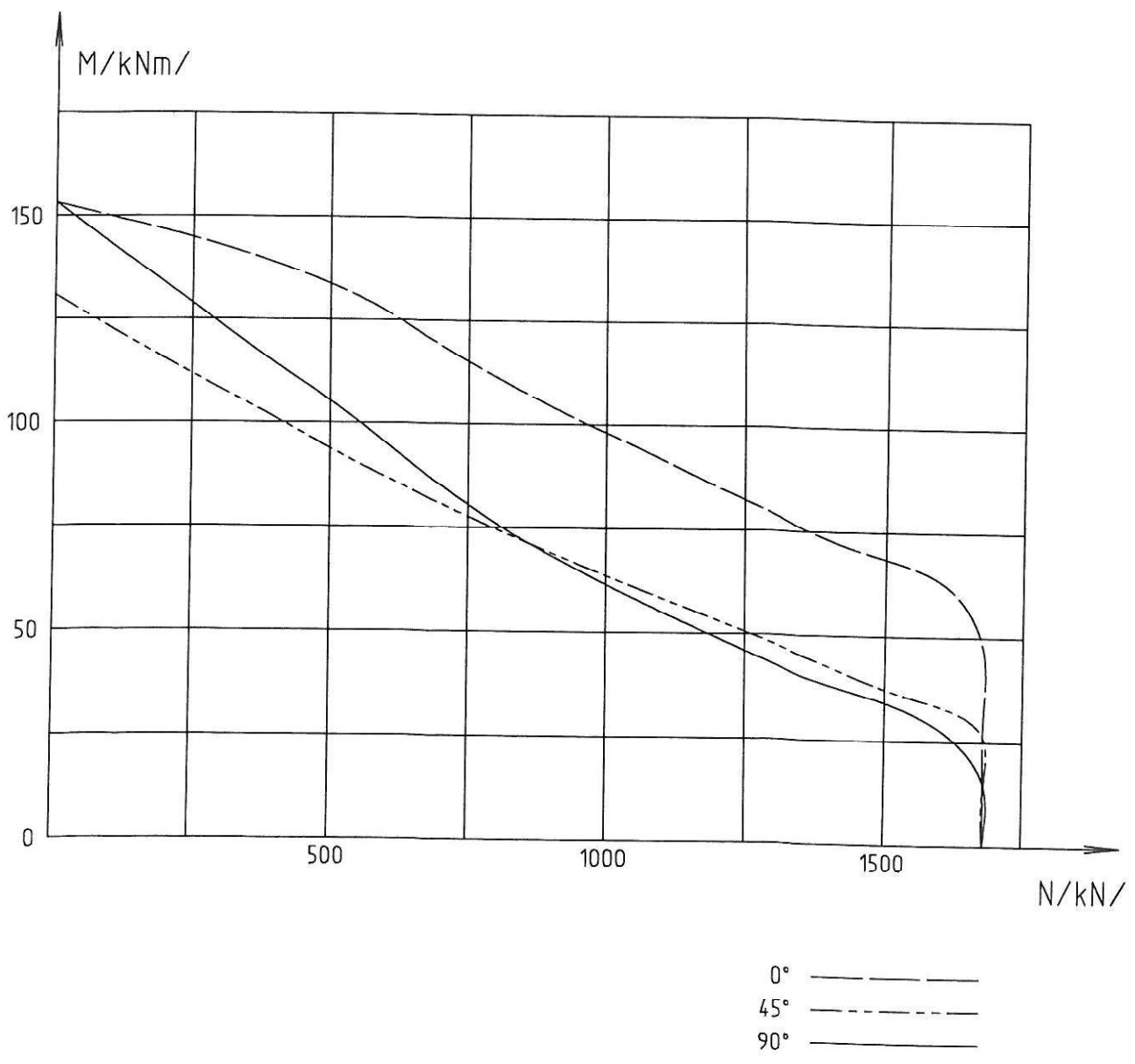
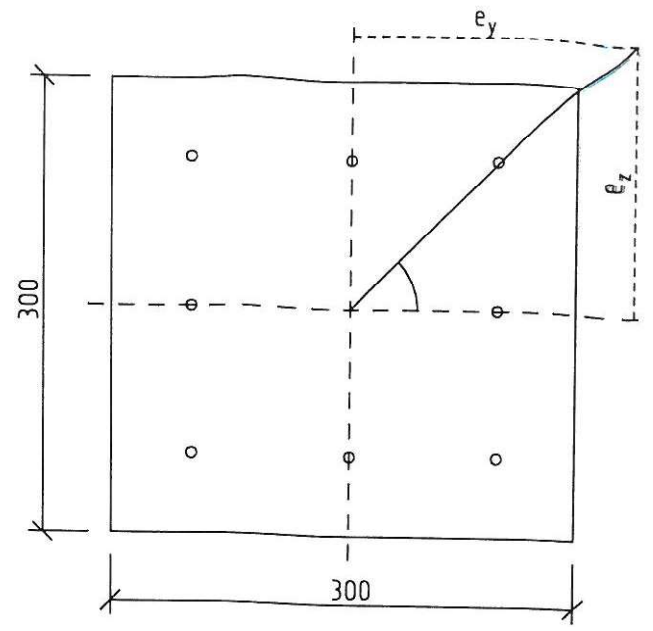
Plocha rozdělovací výztuže vyhovuje

Vzdálenost rozdělovací výztuže vyhovuje

Sloup 300/300
 1 LIF - KRAVNI

BETON B 45
 $l = 4,200\text{m}$
 $L_y = 4,410\text{m}$
 $L_z = 6,300\text{m}$
 8 \emptyset R 25

OCEL 10505/R /
 (R500R)



Sloup 300/300
 2. NP - LEAVKA /

BETON B 45

$l = 4,000\text{m}$

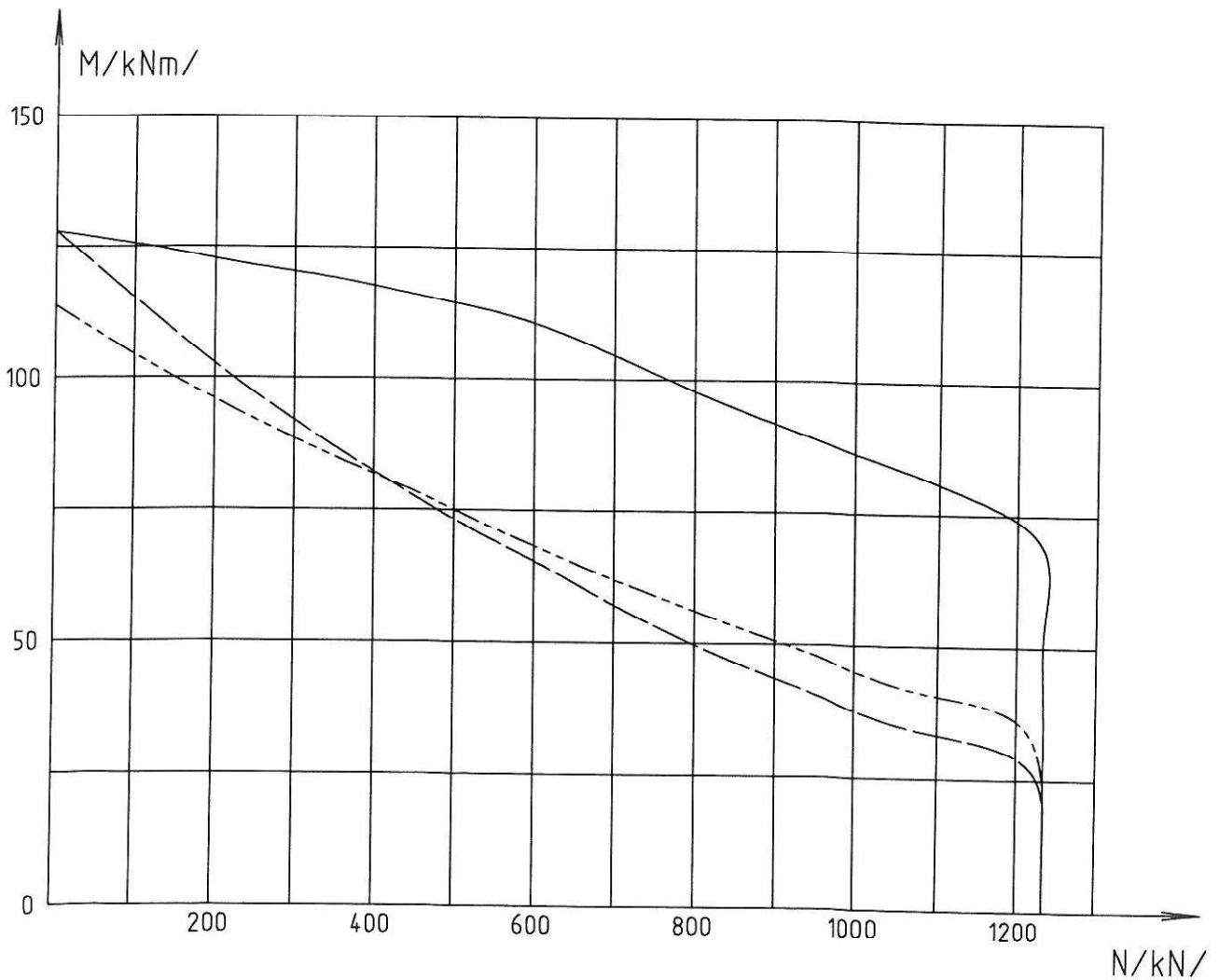
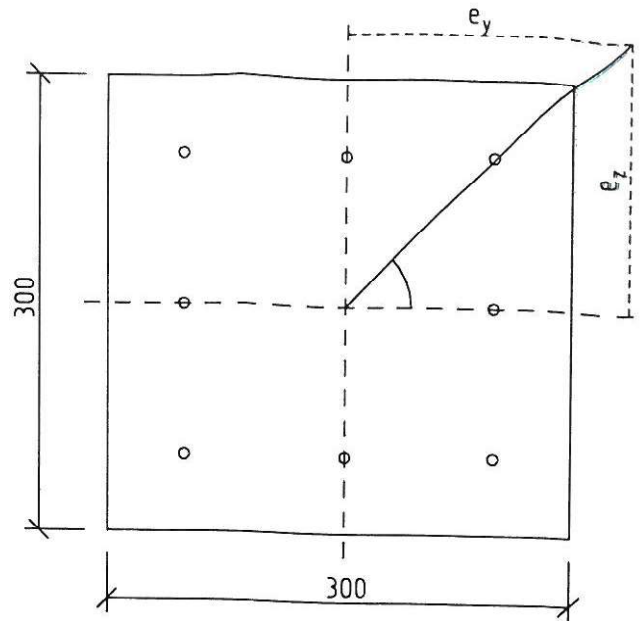
$L_y = 7,080\text{m}$

$L_z = 4,200\text{m}$

8 \emptyset R 22

OCEL 10505/R /

(B 500B)

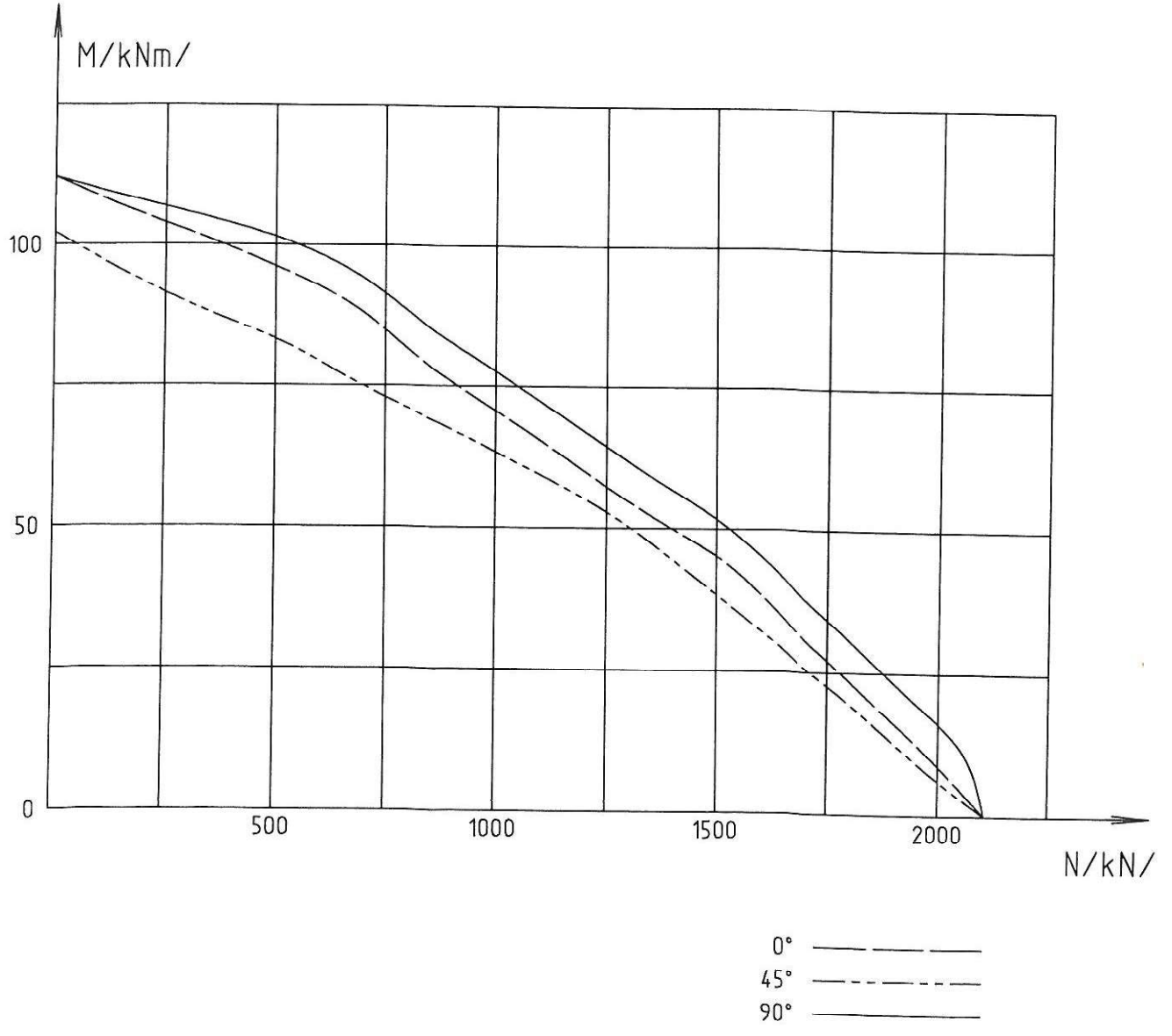
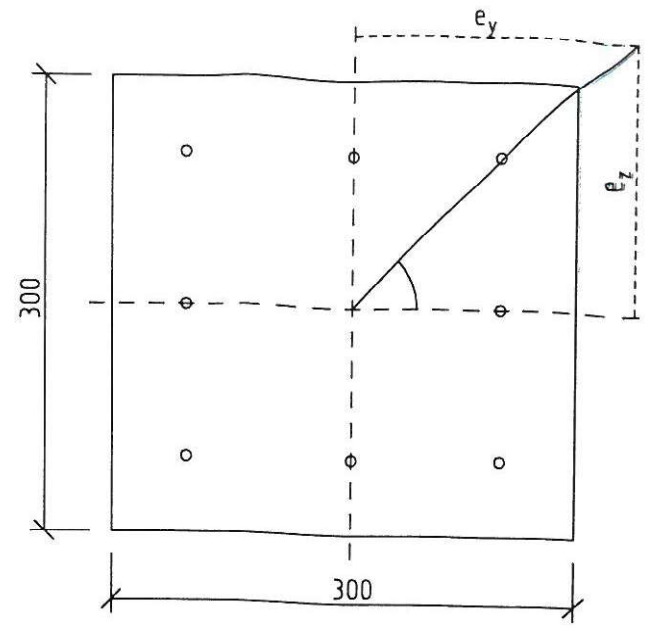


0° ———
 45° - - - -
 90° ———

Sloup 300/300
 2. NP - ST. PĚDNI

BETON B 45
 l = 4,000m
 L_y = 4,600m
 L_z = 4,160m
 8 ∅ R 20

OCEL 10505/R /
 (R500B)



sloup 300/300

1 NP - VKLITĚK!

BETON B 45

$l = 4,200\text{m}$

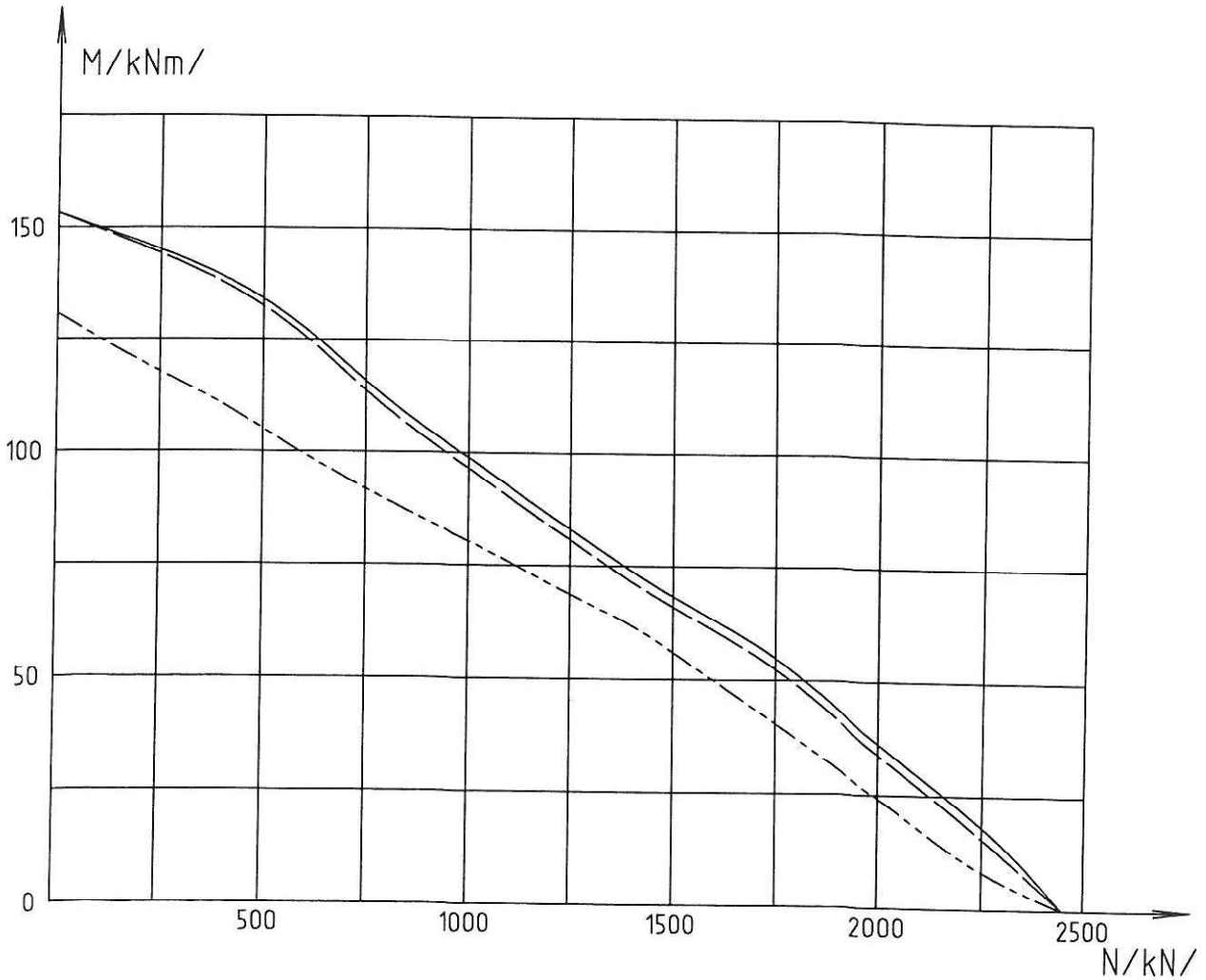
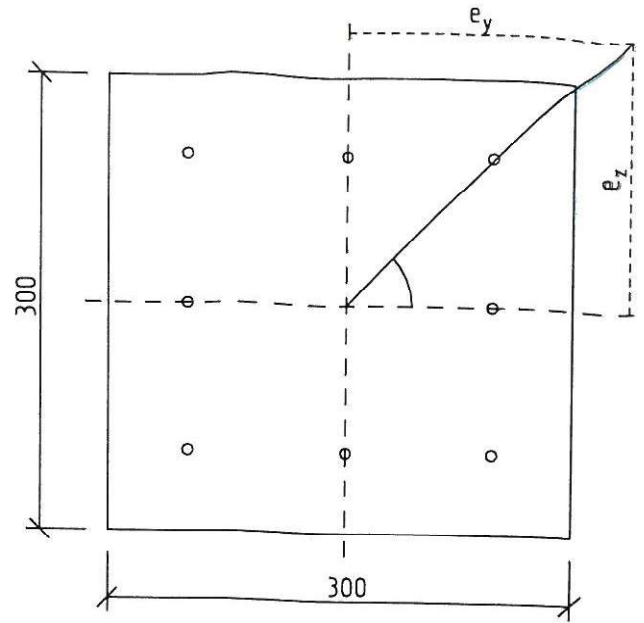
$L_y = 4,494\text{m}$

$L_z = 4,368\text{m}$

8 \emptyset R 25

OCEL 10505/R /

($\approx 500\text{B}$)



0° ———
45° - - -
90° ———